

T.C.  
DİCLE ÜNİVERSİTESİ  
Fen Bilimleri Enstitüsü Müdürlüğü

# **BEYİN SİNYALLERİNİN MODERN SPEKTRAL ANALİZ YÖNTEMLERİ İLE KESTİRİMİ**

**T.C. YÜKSEKÖĞRETİM KURULU  
DOKÜMANTASYON MERKEZİ**

**Muhammet Ali ARSERİM**

**106516**

**YÜKSEK LİSANS TEZİ**

**(ELEKTRİK ELEKTRONİK ANABİLİM DALI)**

*1065<sup>16</sup>*

**DİYARBAKIR  
HAZİRAN - 2001**

T.C.  
DİCLE ÜNİVERSİTESİ  
Fen Bilimleri Enstitüsü Müdürlüğü'ne  
DİYARBAKIR

Bu çalışma jürimiz tarafından ....Elektrik-Elektronik Mühendisliği.....  
Ana Bilim Dalı'nda YÜKSEK LİSANS tezi olarak kabul edilmiştir.

Jüri Üyesinin Ünvanı , Adı Soyadı

Başkan : Prof. Dr. İnan GÜLER inceiler

Üye : Doç. Dr. Sabir RÜSTEMOV 

Üye : Yrd. Doç. Dr. Mehmet AKIN 

Yukarıdaki bilgilerin doğruluğunu onaylarım

08 / 06 / 2001

  
Prof. Dr. H. İlhan TIRTAŞ İD  
Enstitü Müdürü

## TEŞEKKÜR

Bu çalışmam sırasında yakın destegini gördüğüm danışman hocam Yrd. Doç. Dr. Mehmet AKIN'a teşekkürlerimi sunarım.

Buna ilaveten Her türlü maddi ve manevi desteklerine benden esirgemeyen aileme, özellikle babam Suphi Tayyar ARSERİM'e, annem Ayşe ARSERİM'e ve ablam Neval Berrin ARSERİM'e sonsuz şükranlarımı sunarım.

Ayrıca bilimsel desteklerini esirgemeyen meslektaşlarım sayın Bilal GÜMÜŞ ve İbrahim TÜRKÖĞLU'na ve bana bu çalışmamı bitirmemde destek olan mesai arkadaşlarım özellikle Yrd. Doç. Dr. F. Demet ÇETİN, M. Selçuk KESKİN ve Sedat BİNGÖL'e sonsuz şükranlarımı sunarım.



## AMAÇ

Günümüzde, epilepsi önemli beyin rahatsızlıklarından biri olarak ciddiyetini korumaktadır. Özellikle epileptik deşarjların meydana gelmesi esnasında kaydedilen elektroensefalogramın içерdiği dalga şekilleri diğer bazı beyin rahatsızlıklarındaki dalga şekilleriyle benzerlik göstermesinden dolayı epilepsi hastalığı kolay tespit edilememektedir. Bu yüzden de teşhisini yapacak doktorun deneyiminin fazla olması gerekmektedir.

Son zamanlarda işaret işleme tekniklerinin gelişimi ve bu alanda kullanılan yazılım programlarının desteklediği cihazların yüksek performanslarından dolayı, hastalıkların teşhisinde işaret işleme etkin olarak kullanılmaktadır.

Yapılan bu çalışmada beyin işaretleri önce önemli alt frekans bileşenlerine( $\delta$ ,  $\theta$ ,  $\alpha$  ve  $\beta$ ) ayrılmıştır. Bu ayırmayı sağlamak için dalgacık dönüşümü yöntemi kullanılmıştır. Dalgacık dönüşümünün bir diğer avantajı da işaretlerin alt bileşenlerinin zaman boyutunda görüntülenmesidir. Daha sonra teşhisini koyacak kişilerin doktorlar olduğu düşünülürse, yorumlamada yardımcı olabilmesi için yapay sinir ağı modellemeleri kullanılmıştır. Yapay sinir ağının en önemli özelliği öğrendikten sonra karar verme yetisine sahip olmasıdır.

Bu çalışmanın amacı da epilepsi teşhisinde, modern işaret işleme teknikleri kullanarak doktorlara teşhis koymaları bakımından yardımcı olmak ve deneyimle birlikte gözleme bağlı olacak hataları minimuma indirmektir.

## ÖZET

Beyinde üretilen elektriksel aktivitelerin kaydedilen grafiğine elektroansefalografi(EEG) denmektedir. EEG, özellikle beynin fonksiyonel ve mental aktivitesi incelenirken faydalı olmaktadır. EEG işaretleri, beynin fiziksel ve zihinsel aktivitesine göre dört ana frekans bandına sahip spektral bileşenler( $\delta$ ,  $\theta$ ,  $\alpha$  ve  $\beta$  dalgaları) içermektedir.

EEG işaretlerinin bilgisayar ortamında incelenmesi için öncelikle işaretlerin sayısal hale getirilmesi, daha sonra da kaydedilmesi gerekmektedir. Bunun için bilgisayarla EEG cihazı arasında bir ara birim ünitesi kullanılmıştır.

Sayısallaştırılıp kaydedilen EEG işaretleri modern işaret işleme tekniklerinden biri olan dalgacık dönüşümü yöntemi ile spektral bileşenlerine ayrılmıştır. Dalgacık dönüşümü yöntemi, işaretin zaman ve frekans boyutunda incelemektedir. Böylece işaretlerin spektral bileşenlerinin zaman boyutunda aldığı değerleri de görmekteyiz.

Bu çalışmada elde edilen EEG spektral bileşenleri bir yapay sinir ağı modelinin girişlerine uygulanmış ve yapay sinir ağı bu girişlere bağlı olarak eğitilmiştir. Buna göre yapay sinir ağıının çıkışları giriş işaretine göre çıkışta insan beynine ait bazı parametreleri ortaya koymaktadır.

Sonuç olarak gelişen teknolojinin yanı sıra işaret işleme tekniklerinin etkin kullanımı hastalık teşhislerinde faydalı olabilecek yenilikleri ve yapılabilecek hataları minimuma indirme olanağını beraberinde getirecektir.

## SUMMARY

The recorded representation of the electrical activities that are produced in the brain is called electroencephalography (EEG). EEG, may be useful, especially when investigation of the functional, and the mental activities of the brain are considered. EEG signals include spectral components( $\delta$ ,  $\theta$ ,  $\alpha$ ,  $\beta$  waves) that have four major frequency bandwidths with respect to the functional, and the mental activities of the brain.

To analyze the EEG signals using computers, they must be suited digitization, and than recorded. To do this, an interface unit is used between the computer, and the Electroencephalograph

The digitized, and recorded EEG signals have been distinguished into their spectral components by using Wavelet transform method which is the one of the modern signal processing technique. Wavelet transform method investigated the signal both in time and the frequency domains. So we can easily see the values of the spectral components of the signal in the time domain.

In this study, the obtained spectral components of the EEG signals are applied to the inputs of artificial neural network model, and this model is trained according to these inputs. So, the outputs of the artificial neural network will show the health conditions of the patients.

As a result, besides the developing technology, using signal processing techniques effectively brings the improvements that are useful in the illness' diagnosing and the opportunity of the reducing the errors that are made in the diagnosing of the illness with it.

## İÇİNDEKİLER

TEŞEKKÜR .....	i
AMAÇ .....	ii
ÖZET .....	iii
SUMMARY .....	iv
İÇİNDEKİLER .....	v
1. GİRİŞ .....	1
2. ÖNCEKİ ÇALIŞMALAR .....	3
3. MATERİYAL VE METOT .....	6
3.1. İnsan Beyninin Sahip Olduğu Spektral Bileşenler .....	6
3.1.1. Normal Beyin Dalgaları .....	6
3.1.1.1. Alfa Dalgaları .....	6
3.1.1.2. Beta Dalgaları .....	6
3.1.2 Anormal Beyin Dalgaları .....	7
3.1.2.1. Sporadik Dalgalar .....	7
3.1.2.2. Kompleks Dalgalar .....	8
3.2. Epilepsi .....	9
3.3 Gerçekleştirilen Sistemin Donanımı .....	10
3.4. Wavelet(Dalgacık) Dönüşümü .....	11
3.4.1. Sürekli Dalgacık Dönüşümü .....	14
3.4.1.1. Ağırlıklandırma .....	15
3.4.1.2. Kaydırma .....	15
3.4.1.3. İşaretlere Sürekli Dalgacık Fonksiyonunun Uygulanması .....	15
3.4.2. Ayrık Dalgacık Dönüşümü .....	17
3.4.2.1. Seviye Sayısı .....	19
3.4.2.2. İşaretin Rekonstrüksiyonu .....	20
3.4.2.3. Paket Analizleri .....	20
3.5. Yapay Sinir Ağları .....	21
3.5.1. Biyolojik Nöron .....	22
3.5.2. Yapay Nöron Modeli .....	24
3.5.3. Yapay Sinir Ağlarının Yapısı .....	28
3.5.3.1. Ağ Yapıları .....	30
3.5.3.2. Yapay Sinir Ağlarının Eğitilmesi .....	31

3.5.4. Perseptron ve Eğitim Algoritması .....	31
3.5.4.1. Perseptron Eğitim Algoritması .....	33
3.5.5. Çok Katmanlı Yapay Sinir Ağının Geri-Yayılım Algoritması İle Eğitilmesi .....	36
3.5.5.1. Çok Katmanlı İleri Beslemeli Yapay Sinir Ağı İçin Geri Yayılım Öğrenme Algoritması .....	37
4. BULGULAR.....	40
4.1. EEG Veri Setleri.....	40
4.2. EEG Veri Setlerine Dalgacık Dönüşümünün Uygulanması .....	44
4.3. Dalgacık Dönüşümü Sonrası Elde Edilen Verilerin Yapay Sinir Ağına Uygulanması ..	56
4.3.1. Uygulama Sonuçları .....	56
4.3.2. Yapısı.....	56
4.3.3. Oluşturulacak Yapay Sinir Ağı İçin Gerekli Program.....	57
5. SONUÇLAR VE TARTIŞMA.....	66
6. KAYNAKLAR.....	68
ŞEKİLLER TABLOSU .....	71
YAZARIN ÖZGEÇMİŞİ.....	72

## 1. GİRİŞ

İnsan beyni yapısı ve fonksiyonları itibariyle vücutun en karmaşık organlarından biridir. Bu nedenle beyinde meydana gelen biyoelektriksel aktiviteler, bunların yapısal özellikleri, beyinde meydana gelen tahribatlar, beyin hastalıkları, düşünmenin beyinde nasıl meydana geldiği ve beyinin haritalanması gibi konular günümüzde bilimsel çalışmaların üzerinde en çok yoğunlaştığı konulardandır.

Halk dilinde sara hastalığı olarak bilinen epilepsi, beyinde meydana gelen önemli rahatsızlıklarından biridir. Epilepsi hastalarında, epileptik deşarjların meydana geldiği anlarda hasta kendi hareketlerini kontrol edememektedir.

Günümüzde beyin yapısal ve fonksiyonel rahatsızlıklarını tespit etmek için çok çeşitli cihazlar kullanılmaktadır. Bu cihazlardan birkaçı Manyetik Rezonans(MR), Beyin Tomografisi(BT) ve Elektroancefalografidir(EEG). Her ne kadar MR ve BT cihazlarının bulunmasından sonra EEG'nin önemi azalmış olarak görünse de beyinin fonksiyonel rahatsızlıklarını ve özellikle epilepsi hastalığının teşhisinde EEG cihazı nöroloji kliniklerinde rutin olarak kullanılmaktadır[1]. Buna ilaveten son yıllarda teknolojik gelişmeler sayesinde uzun süreli video/EEG görüntülemesi ile hastalık nöbetine ait kayıtlar elde edilerek epilepsinin daha güvenilir sınıflandırılması yapılarak, epileptik odağın beyinin hangi kesiminden kaynaklandığı belirlenebilmektedir[2]. Fakat ülkemizin gelişmiş bölgelerindeki hastaneler hariç, diğer hastanelerde bu tip modern teknikler olanakların azlığı nedeniyle kullanılamamaktadır. Dolayısı ile epilepsi gibi hastalıkların teşhisini doktorların deneyimleri ve bilgilerine bağlı olarak yapılmaktadır. Buna ilaveten doktorların yapacakları en ufak hatanın çok büyük tahribatlara yol açacağını göz önünde bulundurursak, doktorların bu hatalarını önlemede kendilerine fayda sağlayacak modern gelişmeleri hayatı geçirmek gerekmektedir.

Günümüzde işaret işleme teknikleri, modern bilgisayarların ve yeni tekniklerin kullanılmasıyla birlikte günümüzde bir çok bilimsel disiplinde etkin olarak kullanılmaktadır. Bu bilimsel disiplinlerin en önemlilerinden birisi de kuşkusuz insan sağlığının hayatımızdaki öneminden dolayı tıp bilimidir. Bu yüzden yüzyıllar boyu bilim adamları tıp bilimiyle uğraşmışlardır. Kuşkusuz, işaret işleme tekniklerinin tıpta kullanımı hastalıkların teşhis ve tedavisinde çok farklı bir bakış açısı sağlamıştır.

Modern işaret işleme tekniklerinden olan yapay sinir ağı modellemesi ve dalgacık dönüşümü son yıllarda yapıları itibariyle ilgi konusu olmuştur ve bir çok alanda kullanılan metodların yerini almıştır. EEG işaretlerinin yapısı itibariyle durağan olmadıklarından dolayı bu işaretlerin analizinde dalgacık dönüşümünün kullanılması bu konuya ugraşan insanlar için çok cazip gelmektedir. Ayrıca yapay sinir ağı modellemeleri çözümü çok zor olan problemler için basit sonuçlar üretmektedir[3].

Yukarda anlatılanların ışığında, EEG işaretlerinin hem zaman-frekans hem de genlik özelliklerini analiz etmek için dalgacık dönüşümü ve yapay sinir ağı modellemesinin kullanılması faydalı olacaktır. Böylece EEG'ye ait frekans ve zaman özelliklerinin çıkarılmasıyla birlikte bu özelliklere bağlı basit sonuçlar üretmek doktorlar için teşhis koymada büyük kolaylıklar sağlayacaktır.

Şimdiye kadar anlatılanlar sinyal işleme tekniklerinin hastalık teşhisinde önemli rol oynadığını göstermektedir. Bu bağlamda bu çalışmada kullanılacak olan dalgacık dönüşümü ve yapay sinir ağları ile hastalık teşhisinde daha ileri noktalara ulaşılacağı öngörmektedir.

Bütün bunların sonucunda, işaret işleme metotları hastalık teşhis ve tedavisinde büyük rol oynadığını söyleyebilmekteyiz. Bununla birlikte modern işaret işleme metodlarından olan dalgacık dönüşümü yöntemi ve yapay sinir ağı modellemesinin bu konuda büyük bir çığır açacağı görülmektedir.

## 2. ÖNCEKİ ÇALIŞMALAR

Beyinde üretilen elektrik potansiyellerinin kaydedilen grafiğine elektroansefalografi (EEG) denmektedir. Bu alanda yapılan ilk çalışmalar, bir İngiliz fizyoloğu olan CATON'a dayanmaktadır[4].

CATON 1875 yılında, beynin dış yüzeyindeki iki nokta veya biri boz nesne diğeri de kafatasının yüzeyi olmak üzere konulan iki elektrottan yönü değişen zayıf akımların geçtiğini bildirmiştir. CATON, kedi, maymun ve tavşanların beyin elektriksel aktiviteleri üzerinde, optik büyültmeli bir galvanometreye kutupsuz kortikal elektrotlar bağlayarak araştırmalarını sürdürmüştür. Bunu izleyen yıllarda, çeşitli çalışmalar, bazıları CATON'un Araştırmalarını bilmiyordu, hayvanların EEG'lerini incelediler ve spontan aktivite dışardan uyartıma karşı uyarılmış cevapların değiştiğini gösterdiler. 1876 Karkov'da, DANILEVSKEY akustik uyarıma karşı korteksteki duran potansiyelde bir değişimin olduğunu göstermiştir. 1930'lu yıllarda alternatif akım(a.c) kuplajlı lambalı yükselteçlerin gelişmesi, daha önceden çok başarılı bir şekilde çalışılmış olunan sürekli potansiyellerin değişimi üzerinde yapılacak ileriki çalışmalara şüphesiz olarak büyük bir katkı sağlamıştır. CYBULSKI 1914 yılında, bir köpekte kortikal uyartımının neden olduğu bir epileptik deşarj kaydetmiştir. KAUFFMAN 1910 yılında benzer çalışmaları yapmış ve epileptik deşarj esnasında elektrot bağlantısının sağlanamamasından şikayet etmiştir. Bütün bu ilk çalışmalar hayvanlar üzerinde yapıliyordu ve 1920'li yılların başına kadar böyle devam etti. Bu dönemde Avusturyalı Dr. HANS BERGER kafatasında boşluklara sahip olan insanlar üzerinde araştırmalar yapmaya başladı ve kayıtlarını da bir film kağıdı üzerine dalgalı ışık spotu yardımıyla kaydetti ve alfa adını verdiği saniyede yaklaşık olarak 10 kez tekrarlanan düzenli dalgaları buldu. HANS BERGER 1929 yılında insan EEG'si üzerinde yapılan ilk çalışmalarını kağıda döktüğü zaman alfa dalgalarından daha hızlı fakat daha düşük genlige sahip olan beta dalgalarından bahsetmiştir[4].

1940'lı yillardan bu yana EEG kayıt tekniğinde çok fazla bir değişim meydana gelmemiştir. Bu yönde en büyük çaba güvenilir çok kanallı kaydedicilerin tasarlanması üzerine olmuştur. 1950'li yıllarda transistor kiyıcılı yükselteçlerin kullanılmasıyla doğru akım(d.c.) kaydına dönüş başarılmıştır. Fakat elektrotlar hala montaj zorluğundan dolayı problem olmaya devam etmektedir.

EEG'nin spektrum analizi ile ilgili uygun metot bulmak için bu konuya ilgili olarak bir çok çalışma yapılmıştır. COHN dahili interpolslara göre darbelerin sayısını elde etmek için aynı seviyede geçen darbelerin karşılaştırılması tekniğini kullanarak bir histogram oluşturmuştur. LEADER, dalga şekillerinin orta noktasını bulma tekniğini kullanmış ve taban hattın değişiminin sebep olduğu hataları düzeltmeyi amaçlamıştır[5].

EEG'nin frekans analizi ile ilgili uygun metot bulmak için çok çeşitli çalışmalar yapılmıştır. Bu çalışmalardan ilki COHN tarafından yapılmıştır. COHN dahili interpolslara göre darbelerin sayısını elde etmek için aynı seviyede geçen darbelerin karşılaştırılması tekniğini kullanarak bir histogram oluşturmuştur[5].

Periyot analiz yöntemi, CARRIE ve FROST gibi, DASCALOV ve CHAVDAROV, PALEM ve BARR tarafından EEG dalgalarının hem periyodu hem de genliği hesaba katılarak iyileştirilmiştir[5].

McCULLOCH ve PITTS 1943 yılında ilk yapay nöron fikrini ortaya attılar. HEBB 1949 yılında nöron bağlantılarını modifiye etmek için bir öğrenme kuralı geliştirdi. WIDROW ve HOFF 1960'lı yılların başında kendi adlarıyla anılan Widrow-Hoff öğrenme kuralını geliştirdiler. Daha sonra KOHONEN(1977, 1978, 1984, 1988) ve ANDERSON(1977) ilişkili hafıza araştırmalarını geliştirdiler. Daha sonraları GOSBERG(1982), HOPFIELD( 1984) gibi bir çok bilim adamı yapay sinir ağı modellemesi gelişimi üzerine çalışmalar yürüttüler.[3]

Dalgacık teriminin ilk kez duyulması ALFRED HAAR tarafından 1909 yılında bir tezde olmuştur. Dalgacık kavramının ilk kez kendi teorik formunda bahsedilmesi JEAN MORLET ve Fransa 'da Marsilya teorik fizik merkezinde ALEX GROSSMANN'ın idaresinde çalışan bir takım tarafından yapılmıştır. Genel bir şekilde dalgacık analizi metotları, metotların yayılmasını sağlayan Y. MEYER ve arkadaşları tarafından geliştirilmiştir. Fakat ana algoritma 1988deki STEFAN MALLAT'ın çalışmalarına kadar uzanmıştır. Bundan sonra dalgacıklar üzerindeki çalışmalar enternasyonal hale geldi. Bu araştırmalar INGRID DAUBECHIES, RONALD COIFMAN, ve VICTOR WICKERHAUSER gibi bilim adamlarının çalışmalarıyla öncülük edildiği A.B.D.'de özellikle aktif bir haldedir[6].

EEG'nin spektral analizi hususunda günümüze kadar bir çok çalışma yapılmıştır. Bu alanda uygulanan klasik metotlarla birlikte son yıllarda dalgacık dönüşümü, yapay sinir ağı modellemesi ve bulanık mantık gibi modern işaret işleme teknikleri de sıkça kullanılmaya başlanmıştır[7],[8],[9],[10],[11].

SHIMADA ve arkadaşları uyku EEG'sinin karakteristik özelliklerini yapay sinir ağı kullanarak incelemiştir[7].

HAZARIKA ve çalışma grubu 1995 yılında dalgacık dönüşümü ve yapay sinir ağı kullanarak şizofreniyi sınıflandırmıştır[8].

MEHTA ve çalışma grubu dalgacık dönüşümü yöntemi ile epileptik deşarjları incelemiştir[9].

REUTER epileptik olayları yapay sinir ağı kullanarak incelemiştir[10].

GEVA ve KEREM epileptik deşarjları dalgacık dönüşümü ve bulanık mantık kullanarak incelemiştir[11].



### **3. MATERİYAL VE METOT**

#### **3.1. İnsan Beyninin Sahip Olduğu Spektral Bileşenler**

Beyinde, insanın fizyolojik, psikolojik ve sağlık durumlarına göre farklı frekans ve genlikte çeşitli dalgalar meydana gelmektedir. İnsana sağlıklı veya hasta teşhisinin konulabilmesi için EEG kaydının hangi koşullarda yapıldığı göz önüne alınıp, bu kayıttan alınan EEG sinyalin frekans ve genlik analizi yapılmalıdır.

##### **3.1.1. Normal Beyin Dalgaları**

Sağlıklı bir insanda beynde üretilen normal dalgalar alfa ve beta dalgaları olarak adlandırılmaktadır. Günlük hayatta, insanların uyanık ve herhangi bir aktiviteleri olması durumunda beta dalgalarını ürettiği gözlenmiştir. İnsanlar gözlerini kapatıp dinlenme konumuna geçtikleri zaman alfa dalgaları belirmeye başlar.

###### **3.1.1.1. Alfa Dalgaları**

Görünümü itibarı ile sinüzoidal ve monoritmik olan bu dalgalar genellikle 8-12 Hz frekans bandına ve 40-50 mikrovolt arasındaki genliklere sahiptirler. Alfa dalgaları genellikle insanların gözlerini kapatıp dinlenmeye başlaması ile ortaya çıkmaktadır. Bu yüzden alfa dalgasına beynin boş veya doğal frekansı da denmektedir. Bu dalgalar ilkin BERGER tarafından ortaya konmuş ve beynin bioelektrik aktivitesinin tek göstergesi olarak kabul edilmiştir. Sonraları ADRIAN ve MATHEWS ve yine ADRIAN ve YAMAGIWA bu konuda geniş araştırmalar yapmış ve sonunda ortaya koydukları bilgiler çok fazla değişikliğe uğramadan günümüze kadar gelmiştir. Alfa dalgaları genellikle beyinin daha çok arka yarısında ve Parieto-occipital bölgede hakimdir. Seyrek olarak da alfa dalgaları beyinin temporal, central hatta frontal alanlarında da gözlenmektedir[12].

###### **3.1.1.2. Beta Dalgaları**

Beta dalgaları genellikle insanların gözleri açık iken ve herhangi bir aktiviteleri varsa ortaya çıktığı düşünülmektedir. Beta dalgaları genellikle desenkronize dalgalarıdır. Beta dalgaları yüksek frekanslı düşük genlikli dalgalarıdır. Genellikle beta dalgalarının frekansının 12 Hz'den yukarı ve genliklerinin ise 10-20 mikrovolt olduğu düşünülmektedir. Beta dalgaları genellikle Fronto-central bölgelerde görülür. Alfa dalgalarının uyarım sonucu bloke

olmasından dolayı o bölgede görülen aktivite beta dalgalarıdır. BERGER, alfa frekansı dışında görülen bütün aktiviteye beta dalgaları demişse de bu doğru değildir[12].

Buna ilaveten insanların uyku esnasında rüya görmeye başladıkları anda beyin yüksek aktivite gösterdiği gözlenmiştir. Bu döneme REM (Rapid Eye Movement-Hızlı Göz Hareketi) denmektedir. Fakat her ne kadar beyin yüksek aktivite göstermekteyse de vücut kasları hareket göstermemektedir[13].

### **3.1.2 Anormal Beyin Dalgaları**

Uyanık insanlardan kaydedilen EEG traselerinde, alfa dalgasından daha düşük frekanslı delta ve teta dalgalarının dominant olarak görülmesi bu bireylerin beyinlerinde bir rahatsızlık olduğunu akla getirmektedir. Yani yetişkin bireylerde, uyku dönemleri haricinde düşük frekanslı delta ve teta dalgalarının etkinliği patolojik veya çeşitli beyin rahatsızlıklarını esnasında görülmektedir. EEG kaydıyla görülen anomalilerden bazıları epilepsi ve şizofrenidir. Beyindeki patolojik dalgalar sporadik veya kompleks halinde ortaya çıkmaktadırlar. Anormal beyin dalgaları morfoloji bakımından ister sporadik ister kompleks biçiminde olsun, anormal dalgalar morfoloji bakımından durgunluk dönemindeki normal dalgalardan farklı oldukları kadar, meydana çıktıkları bölgenin temel aktivitesinden daha fazla genlik değerlerine sahiptirler[14].

Anormal dalgaların frekans analizi yapıldığı zaman bu dalgaların genelde çalışmamızda da uygulanan delta ve teta frekans bandı aralıkları içerisinde olduğu ortaya çıkmaktadır.

#### **3.1.2.1. Sporadik Dalgalar**

Sporadik dalgalar arıcı, izole veya belirli frekanslar tarzında ritmik olarak ortaya çıkmaktadırlar. Çoğu kere hemisferin bir bölgesinde lokalize olmakla birlikte, bazen her iki hemisferin benzer bölgelerinde senkron bir tarzda da görülebilirler[14].

Sporadik dalgalar, diken(spike), keskin(sharp) ve yavaş(slow) dalgalar olmak üzere sınıflandırılabilirler[14].

Diken dalga bir defleksiyon olarak ortaya çıkmaktadır ve frekansı büyüktür. Başlangıcı ile bitimi arasındaki süre 20-60 ms kadardır. Diken dalga korteksin yüzeyinden çıkar ya da alt

kortikal bölgede görülür. Diken dalga belirgin ise yüksek genliğe sahip olur. Korteks yüzeyinde daha alt bölgeden elde edilen diken dalgalar düşük genliklidirler[14].

Keskin dalgalar tek fazlı ya da üç fazlı olabilmektedirler. Bir keskin dalga 60-150 ms süresince vardır. 150-300 ms süreli keskin çıkış, yavaş inişli bu tip dalgalara da keskin-yavaş(sharp-slow) dalgalar denmektedir[14].

Frekans bileşenleri 8 Hz'in altındaki dalgalar yavaş dalgalar denmektedir. WALTER adındaki bir araştırmacı yavaş dalgaları ikiye ayırmıştır. Bu dalgalardan 4-7 Hz frekansa sahip olanlara teta ve 0.5-4 Hz arasındaki dalgalara delta adı verilmiştir.

Delta dalgaları genellikle düşük frekanslı yüksek genlikli dalgalardır. Genlikleri 20-400 mikrovolt arasında değişmekte ve 0.5-4 Hz lik bir frekans bandına sahiptirler.

Frekansları 4-8 Hz arasında, genlikleri 5-100 mikrovolt arasında değişen beyin dalgalarına teta dalgaları adı verilmektedir. Bu dalgaların hasta uyanıkken ortaya çıkması.....

### **3.1.2.2. Kompleks Dalgalar**

Kompleks dalgalar, adından da anlaşıldığı gibi sporadik dalgaların birleşmesiyle oluşmuştur. Kompleks dalgalarının en çok gözlenen biçimleri; dalga ve diken( wave and spike), çoklu diken ve dalga (multiple spike and wave) ve yavaş diken ve dalgadır( slow spike and wave). Dalga ve diken kompleksi 3Hz'lık frekans düzeneinde oluşur. Genelde her iki hemisferde senkron olarak ortaya çıkar. Bu kompleks dalgalar, beyin sapı veya talamik retikulum ait bozulmalar sonucu görülmektedir. Sürekli diken ve dalga kompleksinde, birkaç diken ardından, genelde 2-4 veya 6 diken , bir veya iki düzenli dalga izlemektedir. Bu anomali paterni, çoğu kere miyoklonik tipte İdyopatik Epilepsinin bir göstergesidir[14].

Yavaş diken ve dalga kompleksi daha çok çocuklarda gözlenen bir bioelektrik aktivitedir. Burada dikenler genelden daha uzun sürelidir. Bu kompleks dalgaların frekansı değişmekte olup çoğu kere 2 Hz civarındadır[14].

Diken, keskin dalga ve keskin-yavaş dalgalar daha çok epilepsi hastalıklarında rastlanmaktadır. Bu tip dalgalar, epilepsi hastalarında, genellikle bir tek noktadan algılanmaktadır. Epilepsi hastalarında en sık görüleni keskin-yavaş dalgalardır. Sadece keskin

dalgalar daha az sıklıkta görülürler ve en az görüleni diken dalgalarıdır. Epilepsi hastalığının teşhisinin yapılabilmesi açısından bu tür bulguların gözlenmesi oldukça önem taşımaktadır.

### **3.2. Epilepsi**

Epilepsi teşhisinde EEG'nin tartışılmaz bir yeri vardır. İnteriktal( nöbet olmadığı dönem) ve iktal(nöbet esnasında) EEG, epilepsi teşhisi, sınıflaması, tedaviye yanıtın takibi ve epilepsi cerrahi tedavisi uygulanabilecek adaylarda epileptojenik alanın saptanmasında oldukça yararlıdır.Epileptiformda ortaya çıkan dalgalar çalışmanın kompleks dalgalar bölümünde anlatılmıştır. İnteriktal EEG'de spesifik epileptiform paternler şunlardır:

- i. Diken dalga (spike)
- ii. Keskin dalga
- iii. Diken / yavaş dalga kompleksi
- iv. Temporal intermittent(aralıklı) ritmik delta aktivitesi
- v. PLEDs

Epileptiform deşarjların temelini, diken ve keskin dalgalar oluşturur. Diken dalgalar 20msn-70msn arasında değişen çok kısa süreli dalgalarıdır. Keskin dalga ise daha uzun süreli olup, 70msn-200msn arasında değişmektedir. Diken ve keskin dalgalar izole(tek başına)görülebilir ama sıklıkla bunları yavaş bir dalga takip eder ve diken yavaş dalga aktivitesini oluştururlar. Yavaş dalga bileşeni genellikle 150msn-300msn sürelidir ve sekonder inhibasyona bağlı uzamış hiperpolarizasyona bağlıdır. Bu epileptiform dalgalar tek tek veya tekrarlayıcı bir tarzda ortaya çıkabilir[2].

Diken ve keskin dalgalar EEG zemin aktivitesinden genellikle kolayca ayırt edilir. Bazı durumlarda ise bir potansiyelin gerçek epileptiform anormalliği veya epileptiform olmama durumlarını belirlemeye, dalganın şekli kaynaklandığı alanın aktivitesi gibi bazı kriterleri dikkate almak gerekmektedir. Bu kriterler aşağıda tanımlanmıştır[2]:

- i. Bu dalganın şekli asimetriktir. Yani ilk çıkan kolu inen koluna göre daha diktr.
- ii. Bu dalgaların zemin aktivitesine göre frekansı daha farklıdır.
- iii. Bu dalgalar difazik veya trifazik konfigürasyondadır.
- iv. Bu dalgaları yavaş dalga bileşeni takip eder.

- v. Bu dalgalar, parsiyel başlangıçlı epilepsilerde yavaş bir zemin aktivitesinde ortaya çıkar.
- vi. Bu anormalliklerin fizyolojik bir potansiyel oluşturması ve elektrotu içermesi gereklidir.

### **3.3 Gerçekleştirilen Sistemin Donanımı**

Bu çalışma için gerçekleştirilen sistem, beyin işaretlerinin gerçek zamanda bilgisayara kaydedilmesi için tasarlanmıştır. Bu sistemin blok diyagramı Şekil-1 de gösterilmektedir.

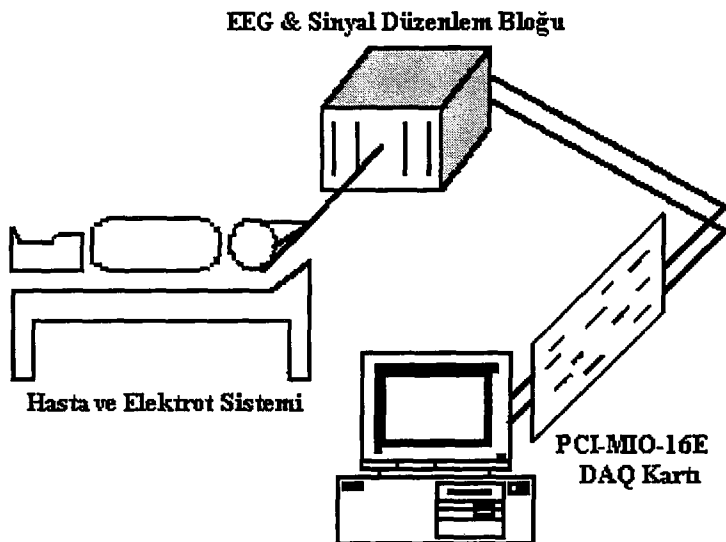
Gerçekleştirilen sistem bilgisayar, arabirim Ünitesi, EEG cihazı elemanlarından oluşmaktadır.

Sistemde kullanılan bilgisayar Motorola-68030 mikroişlemci tabanlı bir Macintosh bilgisayardır. Bilgisayarın sahip olduğu SCSI(Small Computer System Interface) terminali ile EEG'den alınan analog beyin işaretlerini sayısal işaretlere çeviren arabirim ünitesi vasıtasıyla veriler gerçek zamanda bilgisayara aktarılır.

Arabirim Ünitesi iki ana bölümde incelenebilir. Bu bölümler, bilgisayar çevre sistem arabirimini (SCSI) ve analog/dijital dönüştürücüdür.

Gerçekleştirilen arabirim ünitesi bilgisayarın SCSI terminaliyle iletişim sağlar. SCSI, bilgisayar çevre sistemleri ve bilgisayar arasında bir iletişim birimi olarak kullanılan tipik bir yüksek hızlı sekiz bitlik paralel hat olarak tanımlanabilmektedir. Maksimum bilgi aktarma oranı 57.6 Kbyte/sn' dir. Yani bir 12 bitlik A/D örneğini depolamak için iki byte gerektiğinden dolayı maksimum örnekleme oranı 28,800 örnek/saniyedir[5].

Gerçekleştirilen arabirim ünitesinde kullanılan analog/dijital dönüştürücü(AD7572) %0.02 hassasiyete sahip ve dönüşüm süresi 0.014 ms olan 12-bitlik A/D dönüştürücüdür. Burada 12 bit seçicilik ile en düşük değerlikli bit,  $\pm 10$  V bölgesinde, 4.88mV'tur[5].



**Şekil 1.** Gerçekleştirilen sistemin donanımı

### 3.4. Wavelet(Dalgacık) Dönüşümü

İşaret çözümleme yaklaşımlarının temel amacı uygun bir dönüşüm metodu uyguladıktan sonra işaretten istenen bilgiyi elde etmektir. Uygulanan dönüşümün tersinebilir olması koşulu ile dönüştürülmüş biçimin orijinal işareti bire-bir temsil etmesi koşulu gerekmekte ve parametre kestirimi, kodlama, veri sıkıştırma ve örüntü tanıma gibi daha karmaşık işaret çözümleme işlemlerinin, ilgili özelliklerin daha belirginleşeceği umulan, dönüştürülmüş işaret üzerinden gerçekleştirmesi istenmektedir[6].

Özellikleri zamanla değişmeyen, başka bir deyişle durağan bir  $x(t)$  işaretine uygulanabilecek en uygun dönüşüm Şekil-2 de gösterildiği gibi zaman domeni ile frekans domeni arasında bir ilişki sağlayan Fourier dönüşümüdür. Buna göre Fourier dönüşüm çifti

$$X(f) = \int_{-\infty}^{\infty} x(t) \exp(-j\frac{2\pi}{T} t) dt \quad (3.1)$$

$$x(t) = \int_{-\infty}^{\infty} X(f) \exp(j\frac{2\pi}{T} t) df \quad (3.2)$$

olarak tanımlanmaktadır. Tanımlardan anlaşılacağı gibi durağan bir  $x(t)$  işaretini sonsuz zaman aralığında tanımlı sinüzoidal taban işlevleri ile frekans domeninde tanımlanmaktadır. Ancak özellikleri zamanla değişen durağan olmayan işaretler söz konusu olduğunda Fourier dönüşümü işaretdeki herhangi bir anlık değişimi bütün frekans domenine yansıtacak ve işaretin özelliklerinin çıkartımında yeterli olmayacağıdır.



**Şekil 2.** Fourier dönüşümü

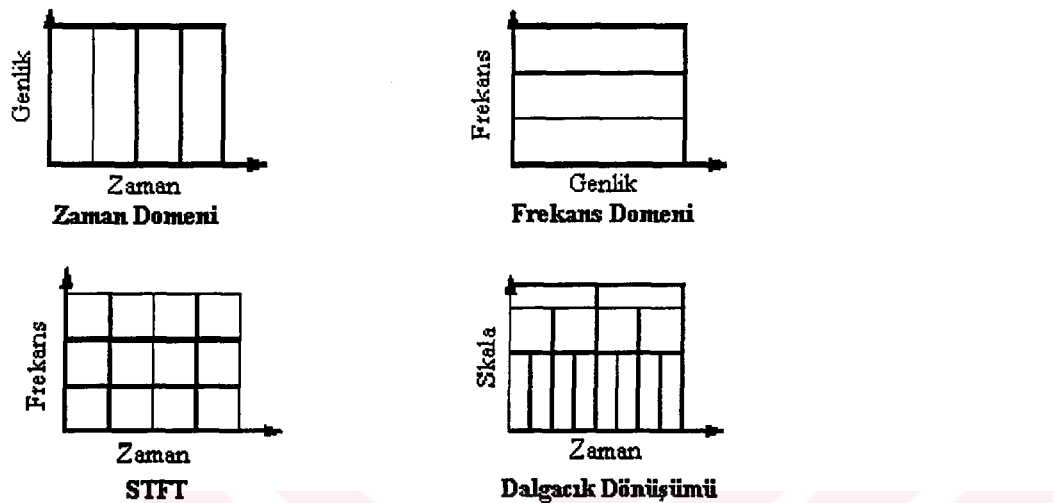
Bu eksikliği gidermek için DENNIS GABOR(1946) Fourier dönüşümünü zamanın belli bir bölümünde sadece işaretin bir kısmını analiz etmek için yeni bir teknik olarak adapte etti. Bu adapte durumuna sinyalin pencerelenmesi adı verilmektedir. GABOR' un bu uyarlaması Kısa-zamanlı Fourier dönüşümü (Short-Time Fourier Transform(STFT)) olarak adlandırılır ve işaretin zaman ve frekansın iki boyutlu bir fonksiyonu olarak haritalar (Şekil-3)[6].



**Şekil 3.** Kısa Zamanlı Fourier Dönüşümü

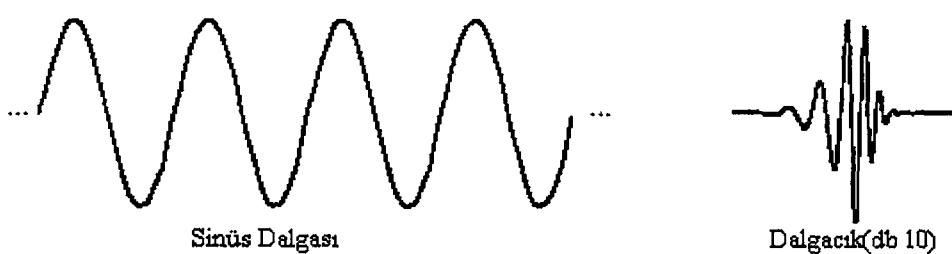
STFT işaretin zaman ve frekans tabanlı görünümleri arasında bir nevi bağlantı sağlar. Yani STFT zamanın küçük aralıklarında işaretin içerdiği frekans hakkında bilgileri ortaya çıkarır. Fakat bu bilgilerin elde edilmesi bir koşula dayanmaktadır ve bu koşul pencerenin büyüklüğüyle belirlenir. STFT’nin, zaman ve frekans bilgileri arasındaki uyuşmayı göstermesindeki yararlığın yanı sıra dezavantajı, zamanda uygulanan pencerenin belirli bir uzunluğa sahip olmasıdır. Bu durumda da pencere bütün frekanslar için aynı kalmaktadır.

Dalgacık dönüşümü, değişen uzunluktaki bölgeleri kapsayan pencereleri içeren yeni bir teknik olarak karşımıza çıkmaktadır. Bu dönüşüm, düşük frekans bilgilerinin istendiği yerde geniş zaman aralığı, yüksek frekans bilgilerinin istendiği yerde kısa zaman aralığını parametre olarak kullanmaktadır. İşaretin zaman tabanlı, frekans tabanlı ve STFTsinin ve dalgacık dönüşümünün alındığı durumlardaki farklılıklar Şekil 4'te gösterilmiştir[6].



**Şekil 4.** İşaretin zaman, frekans tabanlı ve çeşitli şekillerde alınan dönüşümlerinin gösterilmesi

Fourier analizi, bir işaretin çeşitli frekans değerlerine sahip sinüs dalgalarına bölünmesi temeline dayanmaktadır. Benzer bir şekilde dalgacık dönüşümü de işaretin orijinal(veya ana) dalgacığının kaydırılmış ve ağırlıklandırılmış versiyonlarına ayırmaktadır. Şekil-5'te bir sinüs dalgası ve bir ana dalgacık(db 10) prototipi verilmiştir.



**Şekil 5.** Bir sinüs dalgası ve bir ana dalgacık prototipi

Keskin değişimlere sahip işaretler için Fourier dönüşümü yetersiz kalmaktadır. Bu yüzden bu tür işaretlerin dalgacık dönüşümü kullanılarak analiz edilmesi daha uygun olmaktadır.

Dalgacık dönüşümünün temeli bir işaretin dalgacık adı verilen temel bir fonksiyon kümeseine dönüştürmeye dayanır. Bu temel fonksiyonlar dalgacık prototipi olarak adlandırılan bir tek(unique) fonksiyonun genişletilmesi, daraltılması ve kaydırılması suretiyle elde edilmektedir.  $x(t)$  giriş işaretini de dikkate alarak ayrıştırma işlemini, Sürekli Dalgacık Dönüşümü(CWT) ve Ayrık Dalgacık Dönüşümü(DWT) olarak adlandırılan iki tür dalgacık dönüşüm yöntemi ile yapmak mümkündür.

### 3.4.1. Sürekli Dalgacık Dönüşümü

Sürekli dalgacık dönüşümü(CWT), işaretin,  $\Psi$  dalgacık fonksiyonunun ağırlıklandırılması ve kaydırılmış haliyle çarpılıp tüm zaman boyunca toplanmasından elde edilir.

$$CWT(a,b)=\int x(t)\cdot \Psi_{a,b}^*(t)dt \quad (3.3)$$

burada;

$a \in R^+$  ölçülendirme parametresi

$b \in R^+$  dönüştürmeyi

\* kompleks eşleniği ifade etmektedir

Sürekli dalgacık dönüşümünün sonucu, ağırlık ve pozisyonun fonksiyonu olan çok sayıda c katsayılarından oluşmaktadır.

$\Psi(t)$  den elde edilen  $\Psi_{a,b}^*(t)$  fonksiyonu, a ölçüği ve b zamanında, aşağıdaki gibi yazılmaktadır.

$$\Psi_{a,b}(t) = \frac{1}{\sqrt{a}} \Psi\left(\frac{t-b}{a}\right) \quad (3.4)$$

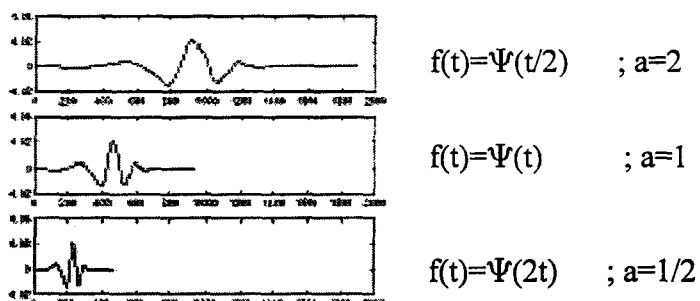
Genellikle, dalgacık dönüşümü uygulamalarında, ana dalgacık olarak ortogonal diyadiğ fonksiyonlar seçilmektedir. Buna göre a ve b parametrelerine bağlı olarak seçilen ana dalgacık aşağıdaki gibidir;

$$\Psi_{j,k}(t) = 2^{-j/2} \Psi(2^{-j}t - k) \quad (3.5)$$

burada  $\{\Psi_{j,k}(t), j, k \in \mathbb{Z}\} L^2$

### 3.4.1.1. Ağırlıklandırma

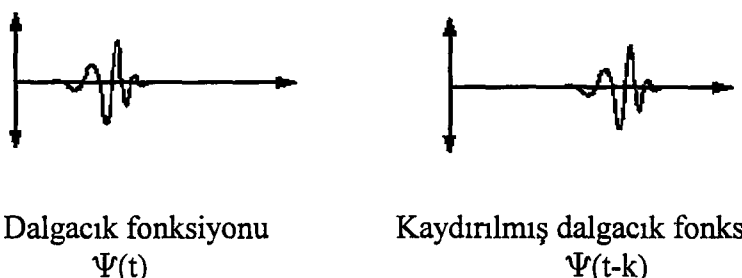
Bir dalgacığın ağırlıklandırılması ifadesi basitçe, işaretin genişletilmesi veya sıkıştırılması anlamına gelmektedir. Bununla birlikte ağırlıklandırma parametresi genellikle  $a$  ile verilmektedir. Şekil 6'da ağırlıklandımanın nasıl yapıldığı örnek bazı ağırlıklandırma değerlerine göre gösterilmiştir.



Şekil 6. Ana dalgacığın ağırlıklandırılması

### 3.4.1.2. Kaydırma

Bir dalgacıyı kaydırma, basitçe işaretin başlangıcından geciktirmeye veya öncesine almaktır. Matematiksel olarak bir  $f(t)$  fonksiyonunun  $k$  kadar kaydırılması  $f(t-k)$  ile gösterilir. Şekil 7'de işaretler için kaydırma özelliğinin nasıl olduğu gösterilmiştir.



Şekil 7. Ana dalgacığın kaydırılması

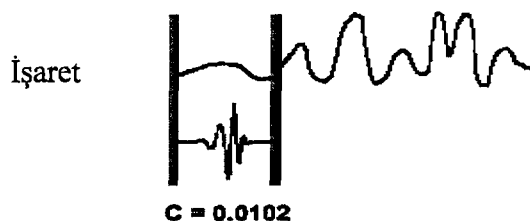
### 3.4.1.3. İşaretlere Sürekli Dalgacık Fonksiyonunun Uygulanması

Sürekli dalgacık dönüşümü, bir işaretin ağırlıklandırılmış ve kaydırılmış ana dalgacık ile var olduğu zamanının tümünde çarpılıp toplanmasıyla elde edilmektedir. Bu işlem, ağırlık ve pozisyonun bir fonksiyonu olan dalgacık katsayılarını üretir.

Sürekli dalgacık dönüşümünün alınması kolay bir işlemidir. Aşağıda bu işleyişin nasıl yürüdüğü anlatılmıştır.

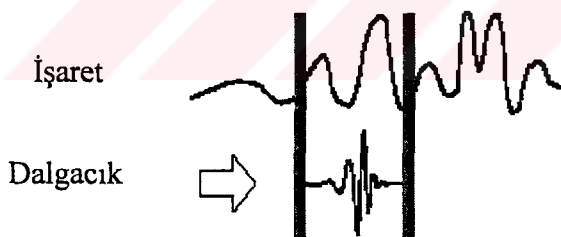
i. Bir dalgacık alın ve işaretin başlangıcındaki bir kesitle karşılaştırın

ii. İşaretle ilişkili olan bir C sayısı hesaplayın. C sayısının değerinin büyüklüğü dalgacığın işaretle ne kadar benzediğini ortaya çıkarmaktadır. C sayısı ne kadar büyük olursa dalgacıkla işaret o kadar benzeşiyor anlamına gelir. Yalnız dikkat edin ki bu seçeceğiniz dalgacığın şekline bağlı olacaktır (Şekil 8).



**Şekil 8.** Belirlenen C değerine göre işaretle dalgacığın karşılaştırılması

iii. Dalgacığı kaydırın ve işaretin tümünü kapsayacak şekilde i ve ii 'yi tekrarlayın(Şekil 9)



**Şekil 9.** Dalgacığın işaretin kesitleriyle karşılaştırılması

iv. Dalgacığı genişletin ve i'den iii' ye kadar tekrarlayın (Şekil 10)

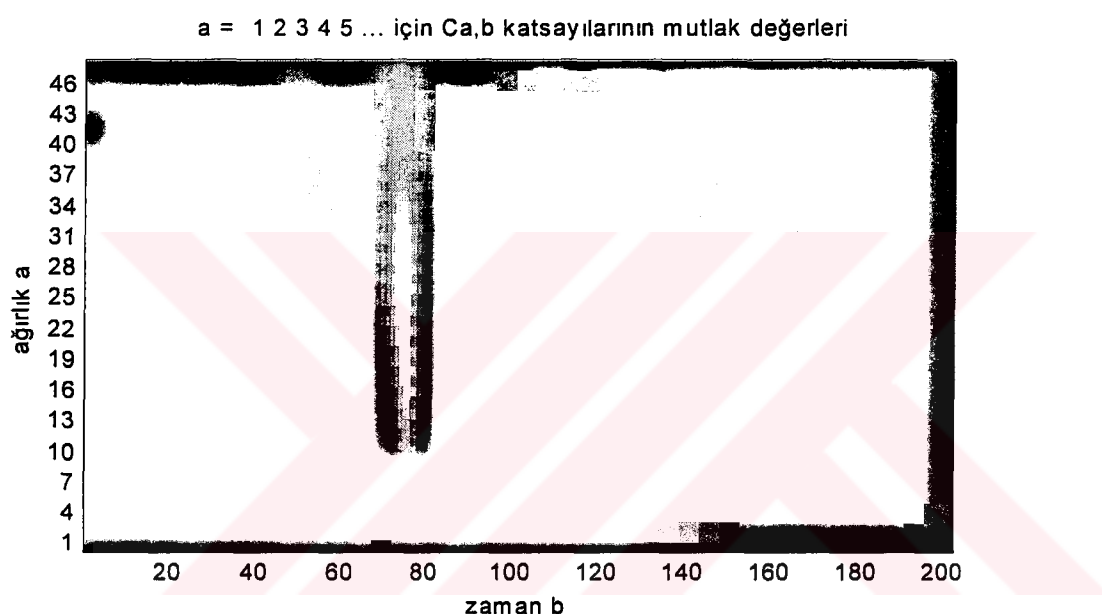


**Şekil 10.** C değerinin değiştirilip, dalgacık ile işaretin tekrar karşılaştırılması

v. Dalgacığı ağırlıklandırin ve önceki aşamaları tekrarlayın.

Yukarda anlatılan prosedür yapıldığı zaman işaretin farklı kesitlerinde farklı ağırlıklandırmada üretilen katsayılar elde edilmektedir. Katsayılar, işaret üzerinde düzenlenen dalgacıkların regresyonunun sonuçlarını oluşturmaktadır[6].

Bu katsayıların ne anlama geldiği sorusunu bir grafikle açıklayabiliriz. Bu grafiğin x ve y eksenleri sırasıyla işaretin(zamandaki) pozisyon ve ağırlık değerlerini vermektedir. Buna ilaveten dalgacık katsayılarını ise x-y grafiğindeki her noktaya verilen renkle belirlemek mümkün olmaktadır.



**Şekil 11.** Farklı ağırlıklara göre işaretin dalgacık değerlerinin bulunması

Şekil 11'de verilen dalgacık dönüşümü katsayıları koyu renkten açık renge doğru daha büyük değerler almaktadır. Yani kullanılan programda büyük değerler daha açık renkle ifade edilmiştir ve üç boyutlu bir grafiği iki boyutlu bir düzleme göstermek için renk tonlaması kullanılmıştır.

### 3.4.2. Ayrık Dalgacık Dönüşümü

Dalgacık katsayılarını her olası ağırlık için hesaplamak çok fazla işlem yapmayı gerektirmektedir ve bunun sonucunda aşırı sayıda fazla veri elde edilir. Bunun yerine ikinin

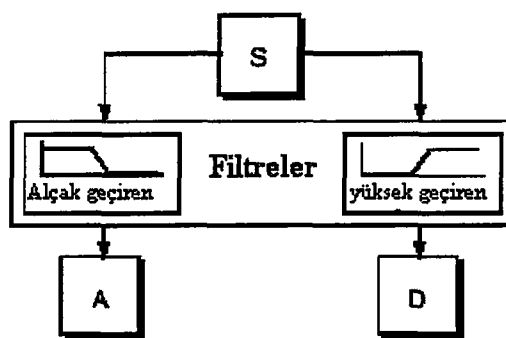
katlarını temel alacak bir şekilde ağırlıkları ve pozisyonu seçersek yapacağımız analizler çok daha etkin olacaktır. Dalgacık katsayılarını hesaplamada kullanılan bu prosedüre ayrık dalgacık dönüşümü(discrete wavelet transform(DWT)) denmektedir.

Bu işlemi gerçekleştirmek için uygulanan etkin bir yol 1988 yılında MALLAT tarafından filtreler kullanılarak geliştirilmiştir. MALLAT algoritması, işaret işleme topluluğu arasında iki-kanal alt bant kodlayıcı olarak bilinen bir klasik yoldu. Bu işlem, hızlı bir dalgacık dönüşümü yapan çok pratik bir filtre algoritmasıdır[6].

Bir çok işaret için sahip olduğu düşük frekanslı bileşenler önemlilik arz eder. Düşük frekans bileşenleri işaretler için genellikle tanınma özelliklerini içerir. Diğer yanda yüksek frekanslı bileşenler işaretin ana kısmına ilave nüanslardır. Buna örnek olarak insan sesini alırsak, sesin yüksek frekanslı bileşenlerini çıkartmanız durumunda ses farklılaşır fakat hala söylenilen şeyleri duyarsınız, fakat düşük frekanslı bileşenlerin bir kısmını çıkarırsanız söylenilen sözleri duyamazsınız.

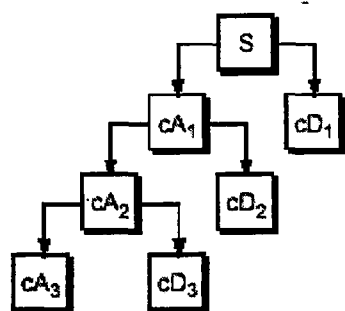
Yukarıda anlatılan kavumlardan yola çıkarak, ayrık dalgacık dönüşümü için yaklaşımlardan(approximations) ve detaylardan(details) söz edebiliriz.

Dalgacık dönüşümünde kullanılan yaklaşımlar yüksek ağırlıklı, düşük frekanslı bileşenler ve detaylar düşük ağırlıklı yüksek frekanslı bileşenlerdir. Yani orijinal işaret(S) Şekil 12'de görüldüğü gibi birbirini tümleyen filtrelerden geçirilerek işaretin düşük ve yüksek frekanslı bileşenleri olmak üzere iki işarette ayrılmıştır.



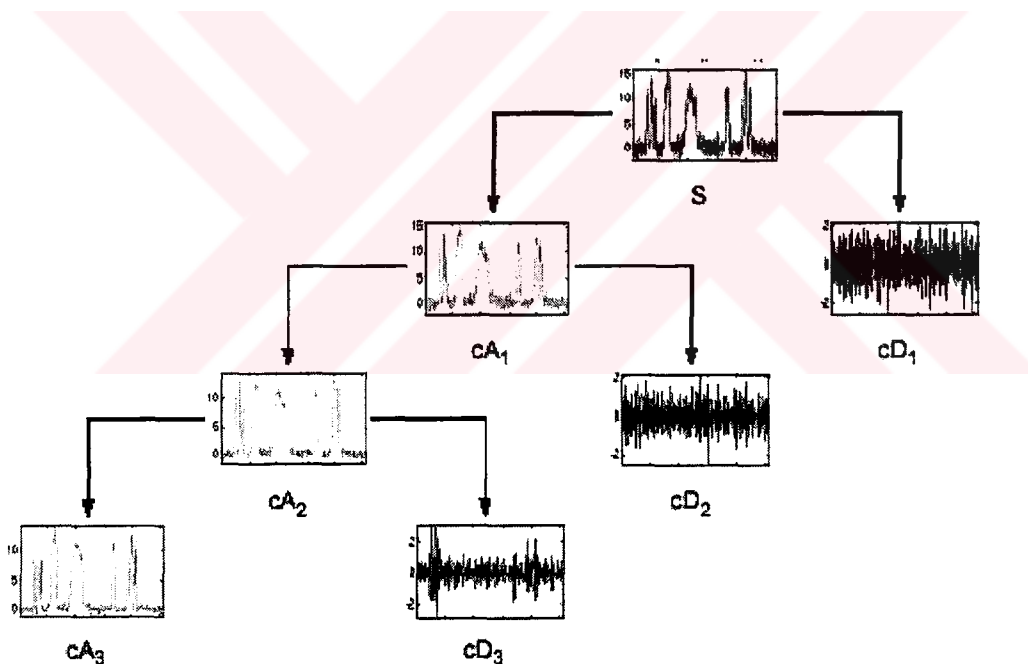
**Şekil 12.** İşaretin düşük ve yüksek frekanslı bileşenlerine ayrılması

Bu ayırma işlemi bir çok kez yapılabilir. Böylece bir işaret daha az çözünürlüklü bir çok alt bileşenine ayrılacaktır. Buna dalgacık ayrıştırma ağıacı da denir (Şekil 12).



**Şekil 13.** Dalgacık ayrıştırma ağıacı

İşaretin Şekil 13'teki gibi alt frekans bileşenlerine(yaklaşım ve detaylar) ayrılması olayı Şekil 14'te gösterilmiştir.



**Şekil 14.** Bir işaretin yaklaşım ve detaylarına ayrılması

### 3.4.2.1. Seviye Sayısı

Analizin iteratif olmasından dolayı, teoride bu işlem tanımsız olarak devam ettirilebilir. Fakat gerçekte ayrıştırma ancak detaylar bir tek örnek veya piksele denk düşmesi haline kadar devam edebilir. Pratikte işaretin doğasına veya entropi gibi bazı uygun kriterlere uygun bir seviye sayısı seçilir.

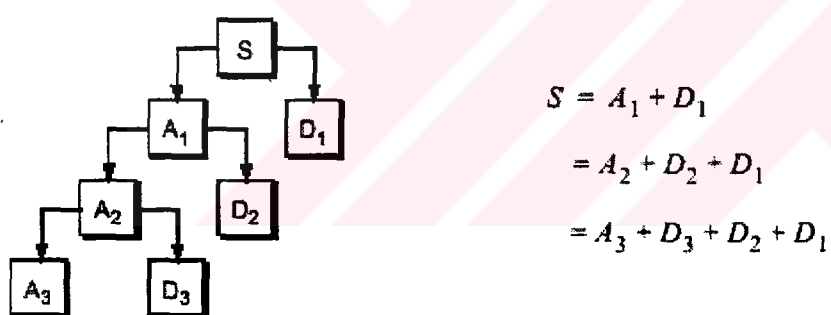
### 3.4.2.2. İşaretin Rekonstrüksiyonu

Buraya kadar, ayrık dalgacık dönüşümünün, işaretleri veya imajları analiz veya ayırtırma için nasıl kullanıldığı anlatılmıştır. Bununla birlikte bilgi kaybına uğramadan işaretin tekrar elde edilmesi işlemine rekonstrüksiyon veya sentez denilir. Bu işlemin matematiksel manipülasyonuna Ters ayrık dalgacık dönüşümü (Inverse Discrete Wavelet Transform(IDWT)) denmektedir.

### 3.4.2.3. Paket Analizleri

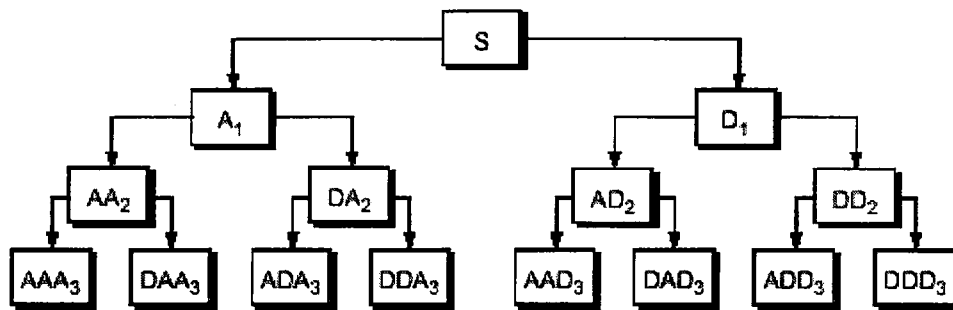
Dalgacık paket metodu, işaret analiz olasılıklarını sağlayan dalgacık ayırtırmasının genelleştirilmiş bir halidir.

Dalgacık analizlerinde işaret yaklaşım ve detaylarına ayrılmaktadır. Daha sonra, yaklaşım tekrar kendi ikincil seviye yaklaşımı ve detayına ayrılır ve bu işlem bir çok kez tekrarlanabilir. Buna ilaveten n-seviye ayırtırma için, işaretin ayırtırılması veya tekrar oluşturulması yönünden  $n+1$  olası yol kullanılabilir (Şekil 15).



Şekil 15. Dalgacık paket analizlerinde ayırtırma

Dalgacık paket analizlerinde detaylar da yaklaşım gibi ayrılabilmektedir. Bir işaretin oluşturmada için  $2^n$  farklı yol kullanılabilir. Buna dalgacık paket ayırtırma ağacı denmektedir.



**Şekil 16.** Dalgacık paket ayrıştırma ağacı

Şekil 16'dan yola çıkarak S işaretinin bir sürü yoldan oluşturulabileceği söylenebilir. Buna örnek olarak  $S = A1 + AAD3 + DAD3 + DD2$  verebiliriz. Fakat. bu temel dalgacık analizleriyle bulunamayacak bir gösterimdir.

### 3.5. Yapay Sinir Ağları

Modern bilgisayarların gün geçtikçe daha güçlü hale gelmeleriyle birlikte, bilim adamları insanlara göre daha kolay yapılabilecek işler üzerinde makineleri daha etkin kullanmaya cesaret etmişlerdir. Örnek olarak, bir öğretmenin birazcık yardımıyla kazanılan geçmiş sayesinde insanlar tarafından, bir A harfi kolayca tanımlanabilmekte veya bir kuş kediden ayrılabilmektedir. Daha fazla deneyim ise insanlara cevaplarını belirlemeye ve performanslarını geliştirmeye yardım etmektedir[15].

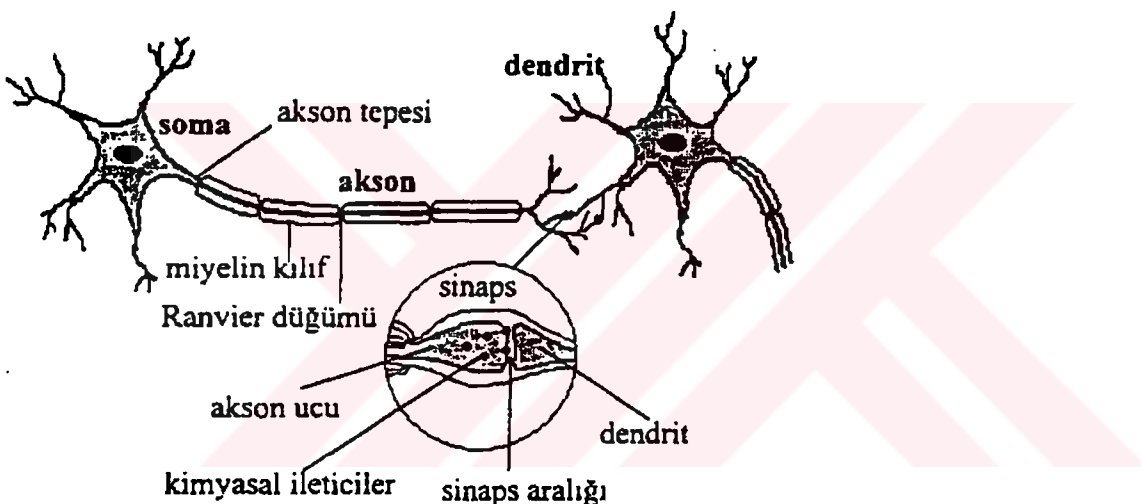
Klasik olarak, bir bilgisayarda aritmetik ve mantık işlemlerini ardışıl olarak işleyen bir işlemci bulunmaktadır. Bu işlemcilerin hızı günümüzde saniyede 1 milyardan fazla işlem yapabilme özelliğine sahiptir, ancak hala insanların yaptığı biçimde öğrenme ve yapılarını uyarlama yeteneğine sahip değildir.

Klasik bir bilgisayarla insan arasındaki bu farkı yaratan temel sebep, ne bilgisayarların işlem yapma hızından ne de onların işlem yapabilme yeteneğinden kaynaklanmaktadır. Günümüzdeki işlemciler beyindeki nöron adı verilen işlem birimlerinden, yani sinir hücrelerinden,  $10^5$  kattan fazla daha hızlı işlem yapabilme özelliğine sahiptir. İşlem yapabilme kapasiteleri karşılaştırıldığında ise, bir nöronun yapabildiği şeyler bir bilgisayar işlemcisile karşılaştırıldığında çok basit ve sınırlı kalmaktadır. Bütün bunlara rağmen aradaki fark, temel olarak yapısal özellik ve işleme tekniğinden kaynaklanmaktadır. Yani klasik bilgisayarlarda komutlar çok karmaşık ve de çok hızlı bir işlemci tarafından ardışıl olarak işlenirken, beyindeki işaretler daha basit ve yavaş, ancak aralarında yoğun bir bağlantı ağı bulunan çok sayıda nöron tarafından paralel olarak işlenmektedir.

### 3.5.1. Biyolojik Nöron

İnsanın merkezi sinir sisteminde yaklaşık  $1.3 \times 10^{10}$  nöron bulunmaktadır ve bunların yaklaşık  $1 \times 10^{10}$  kadarı beyinde yer almaktadır. Herhangi bir zamanda, bu nöronların bir kısmı ateşleme yapmaktadır, yani arda gelen **uyarı** (kısa süreli işaret) katan üretmektedir. Bu elektriksel aktivitede yaklaşık 10 watt enerji tüketilmektedir. Uyku sırasında bile saniyede yaklaşık  $5 \times 10^7$  uyarı, beyin ve vücutun diğer parçaları arasında gidip gelmektedir. İnsan uyanıkken bu sayı önemli bir biçimde artmaktadır[15].

Bir nöronda soma adı verilen ve kabaca küresel bir biçimde olan hücre gövdesi bulunur. (Şekil 17). Soma tarafından üretilen işaretler akson adı verilen uzantılar aracılığı ile diğer nöronlara iletilmektedir. Soma etrafındaki çalı dalları gibi gözükken diğer uzantılar ise dendrit olarak adlandırılmaktadır. Dendritler diğer nöronlardan gelen işaretleri toplamaya yaramaktadır.



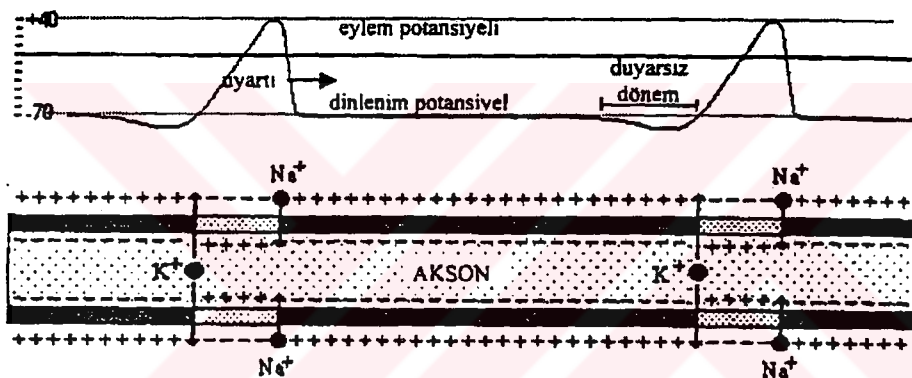
**Şekil 17.** Biyolojik bir nöronun yapısı

Bir aksonun bağlantı yapacağı nöronla arasındaki uzaklığa bağlı olarak bir milimetrenin onda birinden bir metreye kadar değişebilir. Aksonların uç tarafı bir çok dala ayrılır ve bu dalların en ucunda diğer nöronlarla bağlantı yapmayı sağlayan sinapslar bulunur.

Bir nöron sinaptik bağlantıları dolayısıyla çok sayıda nörondan uyarı alır. Akson ucuna ulaşan uyarılar kimyasal ileticilerin sinaptik aralığa dökülmesine neden olur. Kimyasal ileticilerin türüne göre alıcı nörendaki potansiyel etkilenir. Sinapstaki uyarımlar dereceli potansiyel olarak adlandırılan nöron potansiyelini artırarak depolarizasyona neden oluyorsa bu tür sinapslara uyarıçılık denir. Dereceli potansiyelin artmasını engelliyerek hiperpolarizasyona sebep olan kimyasal ileticiler taşıyan sinapslar ise ketleyici sinaps olarak adlandırılır. Dereceli potansiyeldeki depolarizasyon belirli bir eşik değerini atlama yeterliyse alıcı nöron ateşlemeye başlar. Genelde, tek bir sinapstan oluşan

depolarizasyon nöronun ateşlemesi için yeterli değildir, ancak eğer aynı zamanda o nöronun başka uyarıcı sinapslarından da etkiler geliyorsa, bunların toplu etkisi dereceli potansiyelin eşik değerini atlayarak nöronun ateşlemesine yetebilir.

Ateşleme akson tepesinde başlar ve o bölgedeki zarın seçici geçirgenlik özelliği bir süre için kesintiye uğrar, böylece iyonlar hücre zarından doğal biçimde süzüldükçe zarın iç ve dışındaki iyon konsantrasyonları eşit hale gelir. Eğer depolarizasyon yeteri kadar büyükse daha önce negatif olan iç potansiyel sonunda sıfırlanır ve kısa bir süre için pozitif hale geçer. Potansiyeldeki bu kısa süreli ters dönüş aksiyon potansiyeli olarak adlandırılır ve aksiyon potansiyelinin bulunduğu bölgeden aksonun dinlenim potansiyelindeki yakın bölgelerine doğru elektrik akımı oluşur. Bu akım dinlenim potansiyelinde bulunan bir sonraki bölgedeki zarın geçirgenlik özelliğini etkiler ve böylece uyarı akson zan boyunca ilerler (Şekil 18).



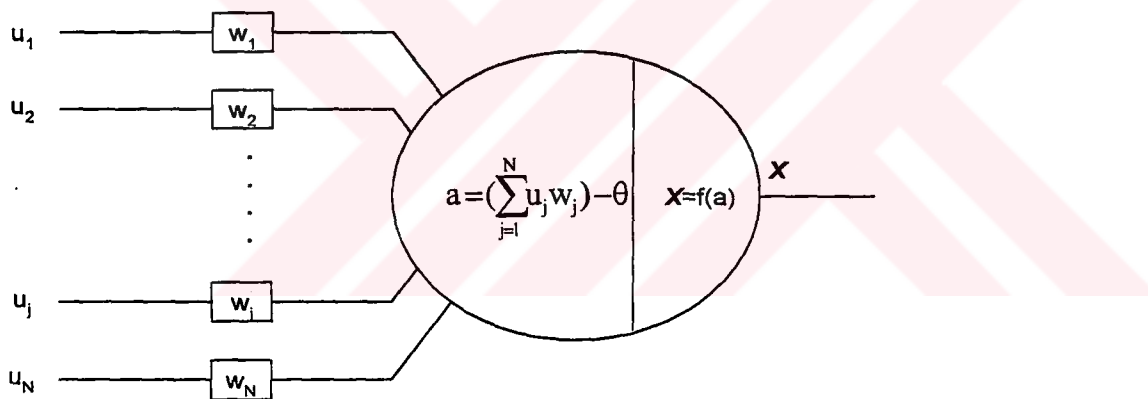
Şekil 18. Nöronlarda iletim

Aksiyon potansiyeli aksonda bir noktadan geçtiğinde o bölge duyarsız dönem olarak adlandırılan bir süre için yeniden uyarılma yeteneğini kaybeder. Bu bölge, duyarsız dönem süresine aktif hale gelemediğinden, uyarı aksonda yalnızca ileri doğru ilettilir, geri yönde gitmez. Daha önce uyarılmış bölge kısa sürede dinlenme potansiyeline geri döner ve yeni uyarıları iletmeye hazır hale gelir. Duyarsız dönem yaklaşık 1 milisaniye civarındadır ve bu durum iletilecek uyarı sayısını kısıtlar. Tipik bir nöron saniyede 1000 uyarı ile sınırlıdır. Bir nörondaki dereceli potansiyelin ateşlemeye yeterli olup olmaması o nöronun sinapslarına ulaşan uyarı sayısı ve sıklığına bağlıdır. Eğer uyarıma yeterli değilse, dereceli potansiyel azalarak normal durumuna döner. Diğer yandan, uyarıma yeterliyse dereceli potansiyel eşik değerine ulaşır ve akson tepesinde ateşleme başlayarak uyarılar oluşur. Akson tepesinde oluşan uyarılar buradan sinapslara kadar yok olmadan ilerler.

Aksonlar genellikle yalıtkan miyelin kılıfla kaplıdır. Uyartıların aksında ilerleme hızı hücre zarından iyon transferini engelleyen miyelin kılıfın kalınlığına bağlıdır. Miyelin kılıf, düzenli aralıklarla Ranvier düğümü adı verilen noktalarda kesintisiye uğrar. Hücre zarı ancak Ranvier düğümlerinde hücre dışı sıvı ile temas eder ve buralarda iyon değişimi olur. Dolayısı ile aksiyon potansiyeli Ranvier düğümleri üzerinde oluşan depolarizasyonlarla ilerler. Bir düğümdeki depolarizasyon, bir sonraki düğümü etkiler ve uyartılar düğümden düşmeye sırayla atlayarak daha hızlı bir şekilde ilerlerler.

### 3.5.2. Yapay Nöron Modeli

Daha önceki bölümde açıklanmaya çalışıldığı gibi, gönderici nörondaki uyartıların alıcı nörondaki uyarımı, akson ucunda bulunan özel kimyasal ileticilerin sinaps aralığına dökülmesiyle oluşan oldukça karmaşık elektro-kimyasal bir olaydır. Bunun alıcı nörondaki etkisi, somadaki dereceli potansiyelin artması ya da azalması biçiminde ortaya çıkar. Eğer dereceli potansiyel bir eşik değerine ulaşabilirse nöron ateşlemeye başlar. 1943'te McCulloch ve Pitts tarafından önerilen yapay nöron modelinde yaratılmaya çalışılan işte bu özelliktir. Şekil 3'te gösterilen bu nöron modeli, üzerindeki bazı ufak değişiklikler yapılarak bu gün hala yapay sinir ağlarında yaygın biçimde kullanılmaktadır.



**Şekil 19.** Yapay nöron

Şekilde verilen yapay nöronda  $u_1, u_2, \dots, u_N$  ile gösterilen  $N$  tane giriş bulunmaktadır. Bu girişleri nörona bağlayan her bir hatta  $w_1, w_2, \dots, w_N$  ile gösterilen bağlantı kuvvetleri atanmıştır. Yapay nöron modelindeki bağlantı kuvvetleri biyolojik nöronlardaki sinapsların etki kuvvetine karşılık gelir. Nöronun ateşleyip ateşlememesini belirleyen değeri yapay nöronda genellikle 0 ile gösterilir ve nöron uyarımı aşağıdaki denklemle ifade edilir.

$$a = \left( \sum_{j=1}^N w_j u_j \right) + \theta \quad (3.6)$$

Girişler ve bağlantı kuvvetleri reel sayılardır. Negatif bağlantı değerleri ketleyici sinapsları temsil ederken, pozitif değerler uyarıcı sinapsları temsil ederler. Biyolojik nöronda girişler negatif değer almazken, amacına bağlı olarak yapay nöronda bu kısıtlama kaldırılabilir. Bu serbestlik 0 için de geçerlidir. Matematiksel kolaylığından dolayı, uyarım denkleminde genellikle 0 dan önce + işaretini kullanılır, ancak 0'ın kendi değeri negatif ya da pozitif olabilir. Basitleştirme amacıyla bazen nöronun hayali bir  $UQ = -1$  girişine  $w_0=0$  ağırlık kuvveti ile bağlı olduğu varsayılarak, toplam alt sınır 1 yerine 0'dan başlatılmış 0 toplam içine çekilebilir. Böylece uyarım formülü:

$$a = \sum_{j=0}^N w_j u_j \quad (3.7)$$

haline dönüşür. Biyolojik nörondaki ateşleme sıklığı ile ilişkilendirilerek, nöronun  $x$  ile gösterilen çıkış değeri uyarının bir fonksiyonu olarak yazılır:

$$x = f(a) \quad (3.8)$$

vektör notasyonu kullanırsa

$$a = w^T u + \theta \quad (3.9)$$

olur Burada  $w$  ve  $u$

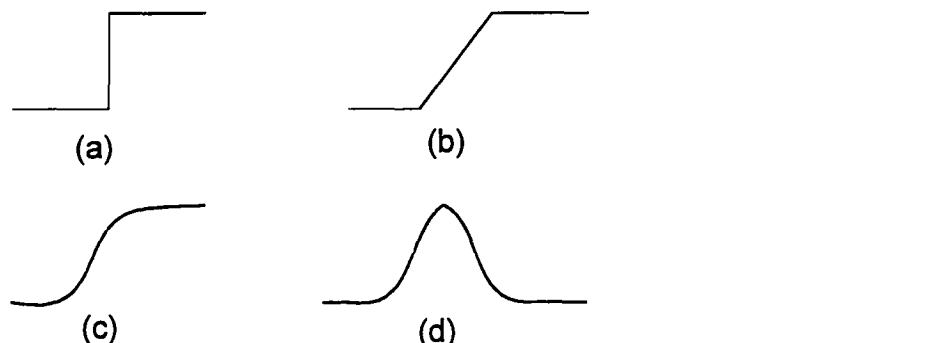
$$w = \begin{bmatrix} w_1 \\ w_2 \\ \dots \\ w_j \\ \dots \\ w_N \end{bmatrix}, \quad u = \begin{bmatrix} u_1 \\ u_2 \\ \dots \\ u_j \\ \dots \\ u_N \end{bmatrix} \quad (3.10)$$

vektörleridir. Her iki vektör de N boyutundadır ve

$$w^T u = [w_1 \ w_2 \ \dots \ w_j \ \dots \ w_N] \begin{bmatrix} u_1 \\ u_2 \\ \dots \\ u_j \\ \dots \\ u_N \end{bmatrix} = \sum_{j=1}^N w_j u_j \quad (3.11)$$

olduğundan  $w^T u$  tek boyutludur.

Orijinal McCulloch-Pitts modelinde, çıkış fonksiyonu  $F(a)$  bir eşik fonksiyonu olarak önerilmiştir. Ancak doğrusal, yokuş ve sigmoid fonksiyonları da Şekil 20'de gösterildiği gibi yapay sinir ağlarında yaygın olarak kullanılmaktadır. Bazı özel yapay sinir ağlarında çan eğrisi biçiminde olan Gauss fonksiyonu eşik fonksiyonu olarak kullanılmaktadır.



**Şekil 20.** Uyarım fonksiyonları

Yapay sinir ağlarında kullanılan eşik fonksiyonlarının matematiksel karşılıkları aşağıdaki gibidir.

$$\text{Eşik} \quad f(a) = \begin{cases} 0 & a \leq 0 \\ 1 & 0 < a \end{cases} \quad (3.12)$$

$$\text{Doğrusal} \quad f(a) = \kappa a \quad (3.13)$$

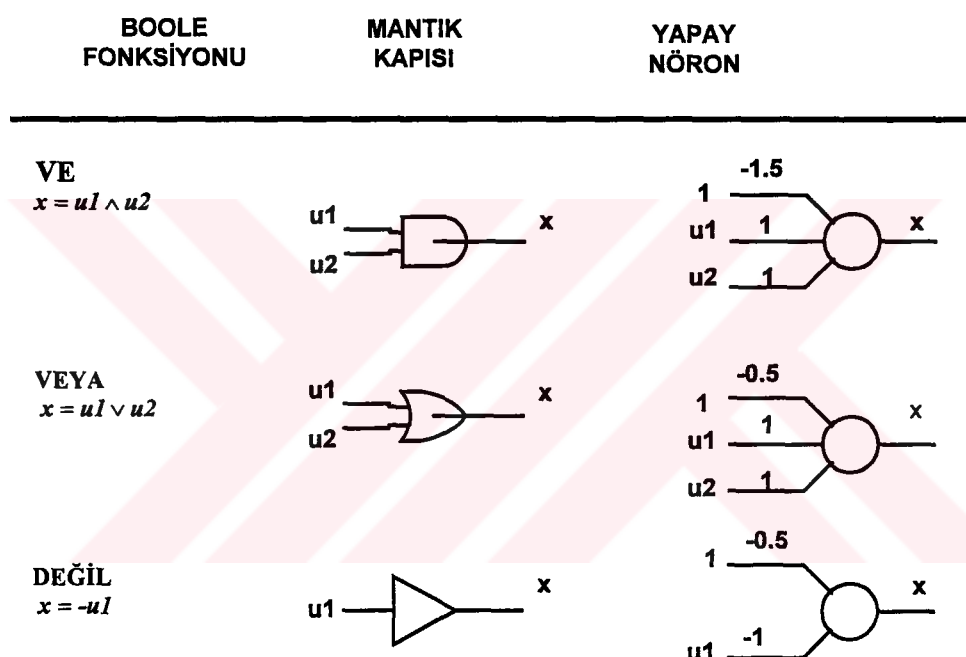
$$\text{Yokuş} \quad f(a) = \begin{cases} 0 & a \leq 0 \\ a/\kappa & 0 < a \leq \kappa \\ 1 & \kappa < a \end{cases} \quad (3.14)$$

$$\text{Sigmoid} \quad f(a) = \frac{1}{1 + e^{-\kappa a}} \quad (3.15)$$

$$\text{Gauss} \quad f(a) = \frac{1}{\sqrt{2\pi}\sigma} e^{-(a-\mu)^2/2\sigma^2} \quad (3.16)$$

Basit yapısına rağmen McCulloch-Pitts nöronu kuvvetli bir sayısal işlem elemanıdır. Klasik sayısal bilgisayarların yapabileceği herhangi bir hesaplamanın, bir ağ ile birbirine bağlanmış nöronlar tarafından yerine getirileceği McCULLOCH ve PITTS tarafından ispatlanmıştır.

İkili mantık işlemlerini gerçekleştirmek üzere tasarlanan VE, VEYA ve DEĞİL kapıları, bilgisayar işlemcilerindeki aritmetik ve mantık birimi oluşturmaktak kullanılan temel yapıtaşlarıdır. VE, VEYA ve DEĞİL Boole mantık fonksiyonlarını kullanarak herhangi bir ikili mantık fonksiyonunu veya matematiksel işlemi gerçekleştirecek sayısal devreyi tasarlama mümkündür. Bu fonksiyonların sayısal devre karşılıkları ve yapay nöronlarla nasıl gerçekleştirilebilecekleri Şekil 21'de gösterilmiştir.



Şekil 21. Mantık fonksiyonlarının yapay nöronlarla gösterimi

Yukarıdaki şekilde kullanılan bütün nöronlarda eşik fonksiyonu kullanılmıştır. Dolayısı ile çıkış değerleri de 0 ya da 1 değeri alabilen ikili değişkenlerdir. Nöronların bağlantı kuvvetleri ve eşik değerleri seçilen Boole mantık fonksiyonunu gerçekleştirmek üzere ayarlanmıştır. Giriş değerleri  $u_i \in \{0,1\}$ ,  $i = 1, 2$  seçildiğinde birinci nöronun çıkışı VE, ikinci nöronun çıkışı VEYA ve üçüncü nöronun çıkışı DEĞİL fonksiyonunun olması gereken değerleri alır.

### 3.5.3. Yapay Sinir Ağlarının Yapısı

VE, VEYA ve DEĞİL dışındaki bazı fonksiyonları tek bir nöron ile gerçekleştirmek mümkün değildir. Bu problem ancak bazı nöronların çıkışlarını diğerlerinin girişlerine bağlamak sureti ile kolaylıkla çözülebilir. Bu şekilde birbirlerine bağlanan yapay nöronlara nöral ağ ya da yapay sinir ağı denmektedir. Eğer yukarıda anlatılan nöronları bir ağ oluşturacak biçimde birbirlerine bağlarsak, bu durumda sistemimizde bir çok nöron bulunur ve bu nöronları birbirinden ayırt etmek için her bir nörona bir indis atarsak, bu durumda i indisli nöronun çıkışını ve uyarılmasını belirten denklemler aşağıdaki hale gelir.

$$x_i = f_i(a_i) \quad (3.17)$$

$$a_i = \left( \sum_{j=1}^N w_{ji} x_j \right) + \theta_i \quad (3.18)$$

Uyarılma denkleminde gözüken  $x_j$  diğer bir nöronun çıkışı ya da dışardan alınan bir giriş olabilir. İkinci durumda

$$x_j = u_i \quad (3.19)$$

kabul edilir.

Bazı uygulamalarda dışardan alınan tüm girişlerin ağa yalnızca özel giriş nöronları üzerinden bağlılığı varsayılmıştır. Giriş nöronlarında  $x_j = u_i$  ve  $f_i(a) = a$  seçilmek sureti ile bu nöronların kendilerine bağlanan giriş değerlerini doğrudan çıkışlarına vermeleri sağlanır. Bir yapay sinir ağı için tüm nöron çıkışları ve eşik değerleri birer vektör halinde ifade edilebilir.

$$\mathbf{x} = \begin{bmatrix} x_1 \\ x_2 \\ \vdots \\ x_i \\ \vdots \\ x_N \end{bmatrix}, \quad \theta = \begin{bmatrix} \theta_1 \\ \theta_2 \\ \vdots \\ \theta_i \\ \vdots \\ \theta_N \end{bmatrix} \quad (3.20)$$

Burada  $x_i$  ve  $\theta_i$ ,  $i$  nöronuna ait çıkış ve eşik değerleridir. Ayrıca ağıdaki tüm bağlantı ağırlıklarını bir  $W$  matrisini oluşturmaktadır.

$$W = \begin{bmatrix} w_{11} & w_{12} & \dots & w_{1i} & \dots & w_{1N} \\ w_{21} & w_{22} & \dots & w_{2i} & \dots & w_{2N} \\ & & \dots & & & \\ w_{i1} & w_{i2} & \dots & w_{ii} & \dots & w_{iN} \\ & & \dots & & & \\ w_{N1} & w_{N2} & \dots & w_{Ni} & \dots & w_{NN} \end{bmatrix} \quad (3.21)$$

Buradaki  $w_{ji}$ , j nöronundan i nöronuna olan bağlantının kuvvetidir. W matrisinin kolonunu oluşturan

$$w_i = \begin{bmatrix} w_{1i} \\ w_{2i} \\ \dots \\ w_{ji} \\ \dots \\ w_{Ni} \end{bmatrix} \quad (3.22)$$

vektörü, aslında i nöronuna ait bağlantı vektöridür.

Tüm ağı temsil etmek üzere basitçe

$$x = f(W^T x + \theta) \quad (3.23)$$

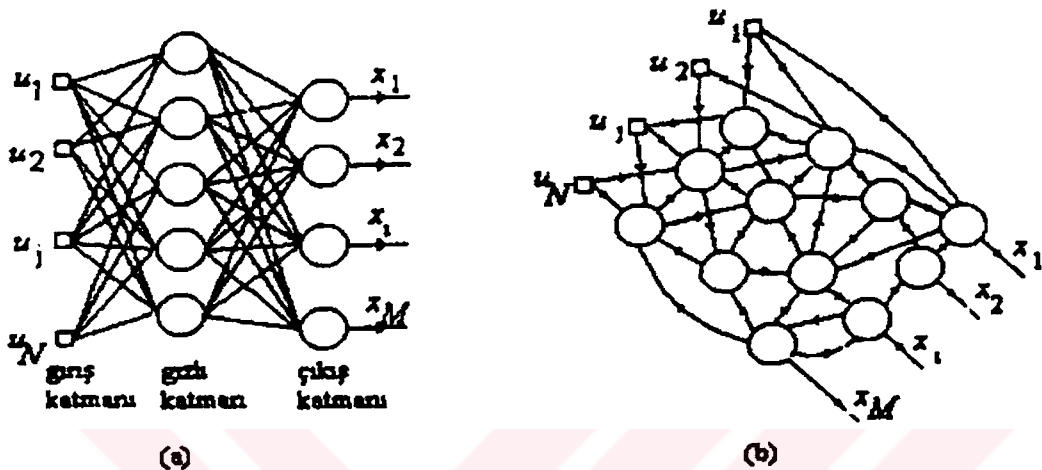
kullanılabilir. Burada

$$f = \begin{bmatrix} f_1(.) \\ f_2(.) \\ \dots \\ f_i(.) \\ \dots \\ f_N(.) \end{bmatrix} \quad (3.24)$$

bir vektör fonksiyonudur ve  $f_i(.)$ , i nöronuna ait çıkış fonksiyonuna karşılık gelir.

### 3.5.3.1. Ağ Yapıları

Gerçek uygulamalarda kullanılan yapay sinir ağları, bir çok nöronun birbirlerine çeşitli yapılarda bağlanmasıyla oluşturulmaktadır. Aralarındaki bağlantıların yapısına göre bu ağlar çeşitli sınıflara ayrırlar. Bu sınıflandırmalardan olan çok katmanlı ve ileri beslemeli ağ, katmansız ve geri beslemeli ağ Şekil 22'de gösterilmiştir.



Şekil 22. a) çok katmanlı ve ileri beslemeli ağ b) katmansız ve geri beslemeli ağ

İleri beslemeli yapay sinir ağlarında nöronlar birbirlerine katmanlar oluşturacak şekilde bağlanmıştır. Bir katmandaki nöronlar girişlerini bir önceki katmandan alırlar ve çıkışlarını bir sonraki katmana beslerler. Bu tip ağlarda, aynı katmandaki nöronlar arasında ya da ileri katmanlardaki nöronlardan önceki katmanlardaki nöronlara bağlantı bulunmaz. İlk katman giriş katmanıdır ve dışarıdan alınan ağ girişleri bu katmandaki nöronlara bağlanır. Son katman çıkış katmanıdır ve ağın çıkışları bu katmandan alınır. Giriş katmanı ile çıkış katmanı arasındaki katmanlara ise gizli katman denir. Çok katmanlı bir ağda bir veya daha fazla gizli katman bulunabilir. İleri beslemeli yapay sinir ağlarında ağ çıkışındaki değerler, ağ girişindeki değerlerin bir fonksiyonu olarak yazılabilir.

Geri beslemeli ağlarda katmanlar olması gereklidir. Amacına göre katmanlar da kullanılabilir. Bir katmandaki nöronlar arasında ya da ileri bir katmandan geriye doğru bağlantı yapılabılır. Geri beslemeli yapay sinir ağlarında, ağ çıkışlarındaki değerler yalnızca ağ girişlerinin bir fonksiyonu olarak yazılmaz. Bu tür ağlar dinamik sistem özelliği gösterirler, yani çıkış değerlerinin ne olacağı uygulanan giriş değerlerine ve sitemin o andaki durumuna bağlıdır.

### 3.5.3.2. Yapay Sinir Ağlarının Eğitilmesi

Beyinde bilginin ne şekilde saklandığı ve nasıl çağırıldığı tam olarak bilinmemektedir. Ancak bu konuda yapılan deneysel çalışmalarında, belirli uyarıların düzenli olarak uygulandığı nöronların yapısında bazı değişikliklerin meydana geldiği gözlenmiştir. Düzenli uyarılar karşısında oluşan en önemli değişiklikler sinapsların elektriksel ve kimyasal özelliklerinde ortaya çıkmaktadır. Örneğin, sinaps aralığına dökülen kimyasal iletici miktarı artmakta ya da eksilmekte, veya sinaps sonrası nöronun iletici nöronlara tepkisi değişimektedir. Sonuçta öğrenme, sinaps sonrası nörona ulaşan uyarıların bu nöronun dereceli potansiyelinin eşik değerine ulaşmasındaki önemini değiştirmekle ilişkilidir. Yapay sinir ağlarında bu durum, bağlantı kuvvetlerini ve eşik değerini değiştirmek suretiyle modellenmektedir.

### 3.5.4. Perseptron ve Eğitim Algoritması

1950'li yılların sonlarına doğru bir öğrenme algoritması ile birlikte önerilen Perseptron, 1 sürekli giriş değerleri alabilen bir nöron modelidir. Perseptron daha önce açıklanan yapay nöron modeli ile aynı prensiplere göre çalışır ve Perseptron uyarımı, daha önce olduğu gibi

$$\alpha = \mathbf{w}^T + \theta \quad (3.25)$$

denklemi ile tanımlanmıştır. Ancak çıkış fonksiyonu için +1 ve -1 değeri alabilen

$$f(\alpha) = \begin{cases} +1 & \alpha \leq 0 \\ -1 & 0 < \alpha \end{cases} \quad (3.26)$$

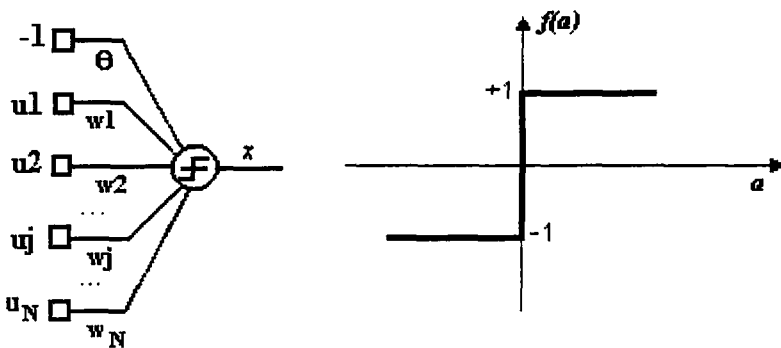
kayıtlımiş eşik fonksiyonu kullanılmaktadır. N girişli bir perseptron için,

$$\mathbf{w}^T + \theta = 0 \quad (3.27)$$

yani

$$w_1 u_1 + w_2 u_2 + \dots + w_N u_N = 0 \quad (3.28)$$

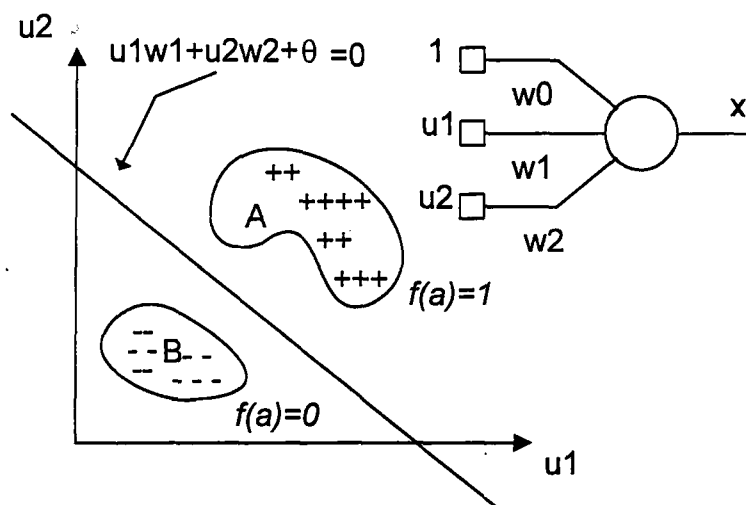
denklemi  $R^n$  giriş uzayında bir hiper-düzlem tanımlar. Bu hiper-düzlem denklemi,  $N=3$  için bir düzlem denklemine,  $N=2$  için bir doğru denklemine iner. Perseptronun belirlediği hiper-düzlem giriş uzayını iki parçaya ayırır, öyle ki düzlemin bir tarafında perseptron çıkış değeri +1, diğer yanında ise çıkış değeri -1'dir (Şekil 23).



Şekil 23. Perseptron

Bir perseptronun bağlantı kuvvetleri ve eşik değeri tarafından belirlenen hiper-düzlem, giriş uzayını iki karar bölgESİne ayırmaktadır. Hiper-düzlemin bir tarafında çıkış değeri +1, diğer tarafında ise -1 olur. Dolayısı ile perseptron, herhangi bir giriş vektörünün, örneğin A ve B olarak adlandırılan iki sınıfından hangisine ait olduğunu karar vermede kullanılabilir. Örneğin eğer çıkış +1 ise uygulanan giriş A sınıfına ve eğer çıkış -1 ise B sınıfına aittir denilebilir.

**Örnek:**  $u_1$  ve  $u_2$  alınan kan testi ile elde iki değişken olsun. Sağlıklı kişilerden alınan kan örneklerinde, bu değişkenlerin değerlerinin Şekil 24'da verilen A bölgeSine, hasta kişilerden alınan kan örneklerinde ise B bölgeSine düşüğünü varsayılmı. Bu durumda giriş uzayı sadece 2 boyutluDUR ve perseptronun belirlediği bir doğru tanımlar. Bu doğru  $u_1$  ve  $u_2$  değişkenlerinin oluşturduğu uzayı ikiye böler. Şekil 24'te verilen A ve B sınıfalarının elemanları bu doğru tarafından ayrılmaktadır. Ancak değişik  $w_1$ ,  $w_2$  ve 9 değerleri için bu doğrunun yeri ve yönü değişik olacaktır.



Şekil 24. Perseptron tarafından belirlenen hiper-düzlem giriş uzayını iki karar bölgeSine ayırmaktadır. İki boyutlu uzayda bu hiper-düzlemin bir doğru denklemine iner.

Perseptron eğitim algoritmasının amacı başlangıçta rasgele seçilen  $w$  ve  $\theta$  değerlerini öğrenme ilerledikçe A ve B sınıflarını ayıabilecek şekilde ayarlamaktadır. Bu algoritma aşağıda verilmiştir. Algoritmada  $w(t)$ ,  $w$  vektörünün  $t$  anındaki değerini temsil etmektedir,  $w_0(t)=6$  eşik değerine karşılık gelmektedir. Algoritma  $t = 0$  için başlarmakta ve her döngüde  $t$ , bir artırılarak ilerlemektedir.

### 3.5.4.1. Perseptron Eğitim Algoritması

- Bağlantı kuvvetleri ve eşik için ilkdeğer ata:

$w(0)$  vektöründe  $j=0,1,2,\dots,N$  için  $w_j(0)$  elemanlarına sıfırdan farklı küçük rasgele küçük değerler ver.

- Giriş'e yeni bir örnek giriş uygula ve arzu edilen çıkıştı bildir:

Rasgele bir  $u^k$  örnek vektörü seçerek perseptron girişine uygula ve ayrıca arzu edilen  $y^k$  değerini belirle

$$y^k = \begin{cases} +1 & u^k \in A \\ -1 & u^k \in B \end{cases} \quad (3.29)$$

- Gerçek çıkışı hesapla:

$$x^k = f(w^T u^k) \quad (3.30)$$

- Bağlantı kuvvetlerini değiştir:

$$w(t+1) = w(t) + \eta \cdot (y^k - x^k(t)) u^k \quad (3.31)$$

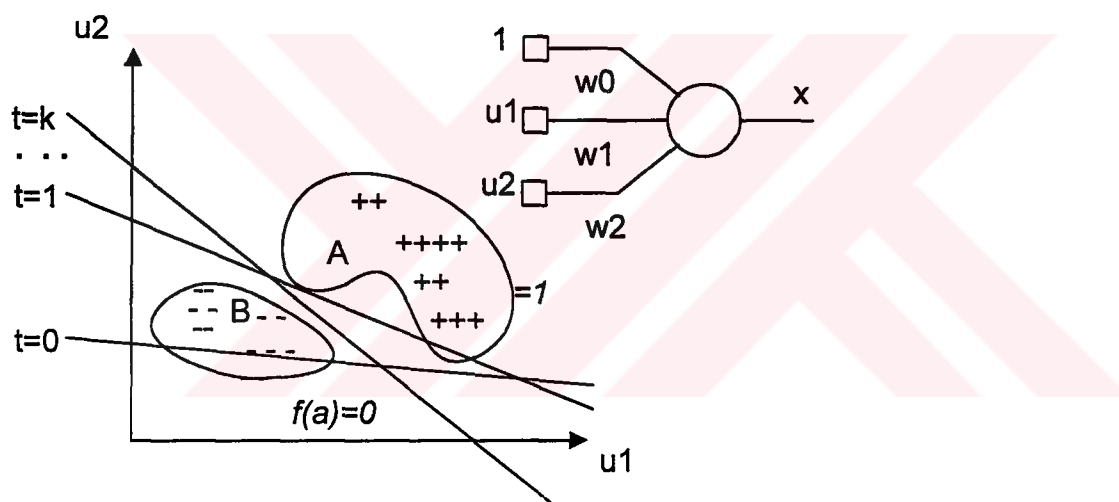
Burada  $0 < \eta < 1$  öğrenme katsayısıdır.

- Döngü: Gerçek ve arzu edilen çıkış değerleri arasında fark kalmayınca kadar 2-4 adımlarını tekrarla

Başlangıçta bağlantı kuvvetleri ve eşik için sıfırdan farklı rasgele küçük değerler atanmaktadır. Daha sonra giriş'e bir  $u$  örnek vektörü uygulanmakta ve bu giriş değeri için perseptronun gerçek çıkış

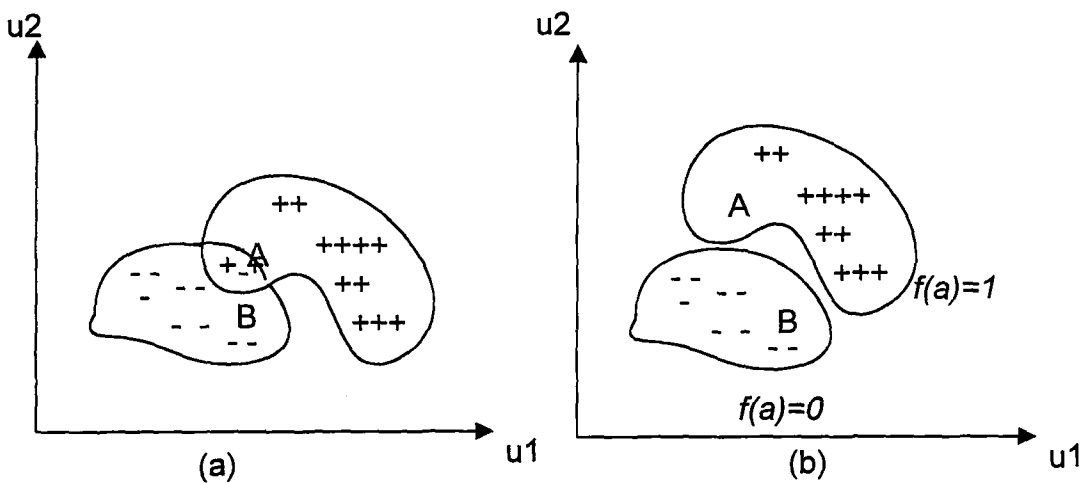
değeri ile arzu edilen çıkış değeri arasındaki farka bakılarak bağlantı kuvvetleri değiştirilmektedir. Adım 4'teki bağlantı kuvveti değiştirmeye denklemine dikkat edilirse, bağlantı kuvvetlerinin ancak hata olduğu durumda, yani perceptron tarafından verilen karar ile arzu edilen karar farklı olduğunda değişime uğradığı, perceptronun doğru karar verdiği durumlarda ise bir değişime ugramadığı görülür. Bağlantı kuvveti değiştirmeye denkleminde kullanılan öğrenme katsayısı  $\eta$ , 0 ve 1 arasında değer almaktadır. Eğer  $\eta$  yeteri kadar küçük seçilmediyse, bağlantı kuvveti değiştirmede osilasyon meydana gelebilir, yani bağlantı kuvvetleri bir yere yakınsamadan sürekli değişebilir. Diğer yandan, eğer  $\eta$  çok küçük seçilmişse yakınsama olur ancak öğrenme çok yavaşlar.

Örnek: Bir önceki örnekte verilen A ve B sınıfları için, perceptron parametreleri ile belirlenen doğrunun öğrenme sırasında nasıl değiştiği Şekil 25'te gösterilmiştir. Başlangıçta bu doğru A ve B sınıflarını ayıramazken, sonunda bunları ayıracak hale gelir.



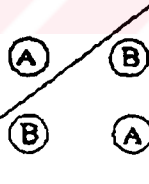
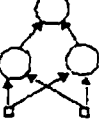
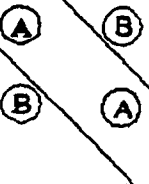
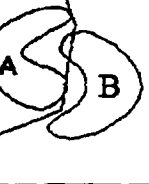
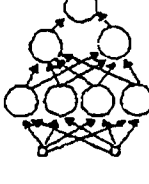
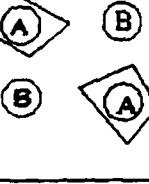
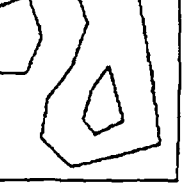
Şekil 25. Perseptron yakınsaması

Eğer giriş örneklerinin alındığı sınıflar doğrusal ayrılabilir ise, yani bu sınıflar herhangi bir hiperdüzlemin iki ayrı tarafında yer alımlarsa, perceptron öğrenme algoritmasının mutlaka yakınsayıacağı ve perceptron tarafından belirlenen düzlemin bu iki sınıfı ayıracak bir pozisyonaya yerleşeceğini ispatlanmıştır. Sınıflar doğrusal ayrılamaz olduğu veya üst üste bindiği durumlarda (Şekil 26) ise perceptron eğitim algoritması yakınsamaz ve karar sınırı sürekli değişerek osilasyona girer.



Şekil 26 (a) üst üste dağılım (b) doğrusal ayrılamaz dağılım

Üst üste binen dağılımlarda, hatayı 0'a indiren hiper-düzlem yerine bunu minimuma indiren bir hiper-düzleme yakınsamak amaçlanır. Doğrusal ayrılamaz sınıflar ise birden fazla perseptronun katmanları halinde bağlanması suretiyle ayırt edilebilirler. Tek ve çok katmanlı perseptronların ayırt edebileceği karar bölgeleri Şekil 27'de gösterilmiştir. Perseptron öğrenme algoritması tek perseptron için geliştirilmiştir. Çok katmanlı ağların eğitimi için daha karmaşık algoritmalar kullanmak gerekir.

AĞ YAPISI	D-VEYA PROBLEMİ	DOĞRUSAL AYRILAMAZ BÖLGE	GENEL KARAR BÖLGELERİ
			
			
			

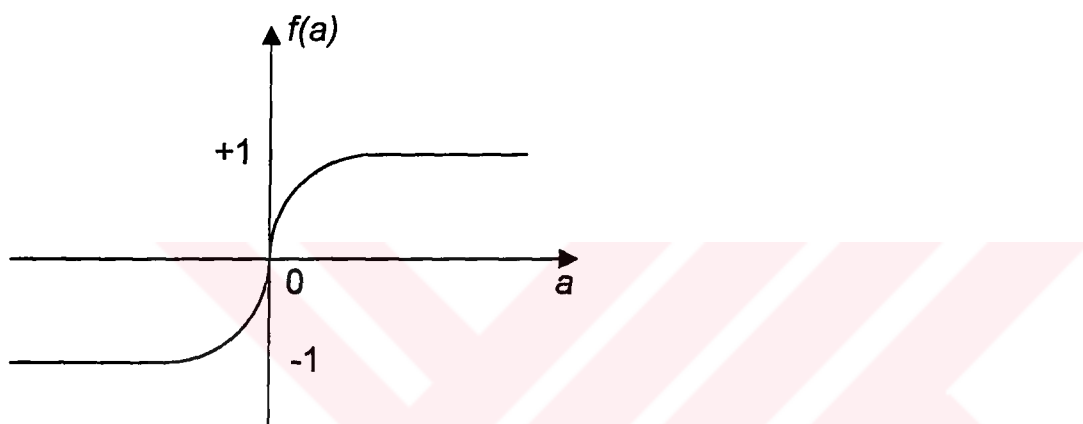
Şekil 27. Tek veya çok katmanlı perseptron tarafından oluşturulabilen karar bölgeleri

### 3.5.5. Çok Katmanlı Yapay Sinir Ağının Geri-Yayılım Algoritması İle Eğitilmesi

Geri-yayılım algoritması, çok katmanlı ileri beslemeli yapay sinir ağlarının eğitilmesi için geliştirilmiştir. Her noktada tırevinin tanımlı olması dolayısı ile nöron çıkış fonksiyonu olarak aşağıda verilen kaydırılmış sigmoid fonksiyonu kullanılır.

$$f(a) = \frac{2}{1 + e^{-ka}} - 1 \quad (3.32)$$

böylece çıkış değeri  $a$ 'ya bağlı olarak  $-1$  ve  $+1$  arasında değişmektedir.



**Şekil 28.** Geri yayılım algoritması için nöron çıkış fonksiyonu

Aşağıdaki Şekil 29'da çok katmanlı bir sinir ağı verilmiştir. Saklı katman ve çıkış katmanlarını ayırt edebilmek için  $l$  ve  $o$  indisleri kullanılmıştır. Ayrıca herhangi bir katmandaki nöronu belirleyebilmek için  $h$ , giriş katmanındaki nöronlar için  $j$  ve çıkış katmanındaki nöronları belirleyebilmek için  $i$  indisleri kullanılmıştır.

Böyle bir ağa, çıkış katmanında yer alan  $i$  nöronunun çıkışı

$$x_{io}^k = f_o(w_{io}^T x_L^k) \quad (3.33)$$

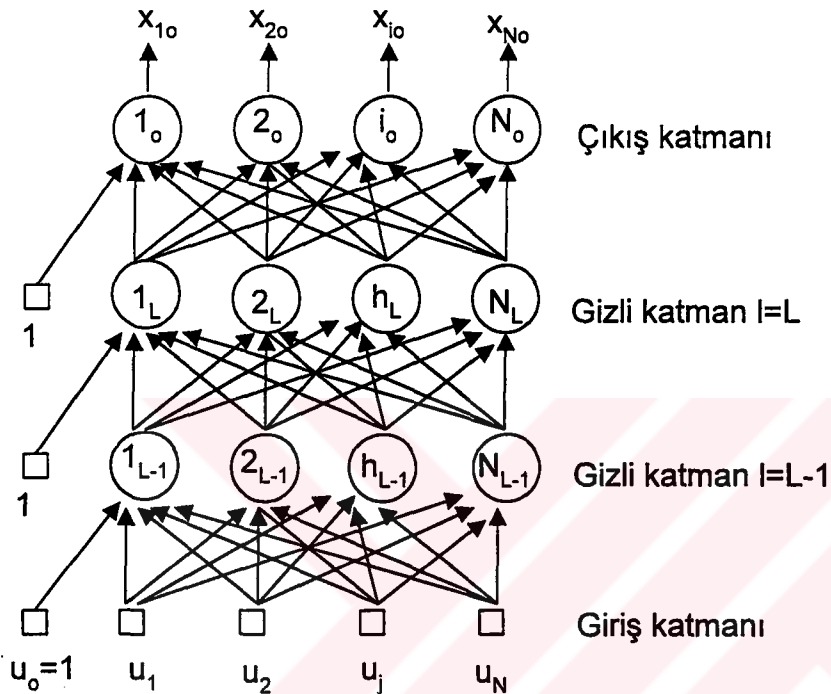
olarak yazılabilir. Buradaki  $x_L^k$ , gizli katmanda yer alan çıkış vektörüdür. Çıkış katmanındaki nöronların girişleri  $l = L$  gizli katmanından alınmaktadır. Herhangi bir  $l$  katmanındaki  $h$  nöronunun çıkışı;

$$x_{hi}^k = f_l(w_{hl}^T x_{l-1}^k) \quad (3.34)$$

olarak yazılabilir. Burada  $x_{l-1}^k$ ,  $l-1$  gizli katmanında yer alan nöronların çıkışlarından oluşan vektördür. Eğer  $l-1$  bir giriş katmanı ise bu durumda

$$x_{hl}^k = f_l(w_{hl}^T u^k) \quad (3.35)$$

olur. Burada  $u^k$ , o adımda uygulanmış giriş vektörüne karşılık gelir.



**Şekil 29.** Çok katmanlı ağ

Öğrenme kümelerinden rasgele seçilen örneklerin ağ girişine uygulanarak elde edilen gerçek çıkış ile arzu edilen çıkış arasındaki farka bakarak bağlantı kuvvetlerinin değiştirilmesi ile öğrenme ilerler. Bu algoritma aşağıdaki gibi özetlenebilir:

### 3.5.5.1. Çok Katmanlı İleri Beslemeli Yapay Sinir Ağları İçin Geri Yayılm Öğrenme Algoritması

- İlk değer atama:

Bağlantı kuvvetlerine rasgele küçük değerler ver.

- Bir örnek uygula: bir  $u^k$  örnek giriş değerini girişe uygula ve arzu edilen çıkış  $y^k$  vektörünü bildir.

- İleri yayılım fazı: İlk gizli katmandan başlayarak çıkış katmanına kadar,  $l=1,\dots,L$  için aşağıdakileri hesapla:

$l$  katmanındaki her bir  $h$  nöronu için uyarm değerı:

Eğer  $l$ -l giriş katmanı ise:

$$a_{hl}^k = \sum_{j=l}^N w_{jhL} u_{jk}^k \quad (3.36)$$

. Eğer  $l$ -1 bir gizli katman ise

$$a_{hl}^k = \sum_{jl=L-1}^{NL-1} w_{jl(L-1)hL} u_{jl(L-1)}^k \quad (3.37)$$

katmanındaki her bir  $h$  nöronu için çıkış değerı:

$$x_{hl}^k = f_L(a_{hl}^k) \quad (3.38)$$

Eğer  $l$  bir çıkış katmanı ise  $h_L$  yerine  $i_o$  kullan

- Çıkış hataları: Çıkış katmanındaki nöronlar için verilen hatayı hesapla

$$\delta_{io}^k = (y_{io}^k - x_{io}^k) f'_o(a_{io}^k) \quad (3.39)$$

Burada  $f'(\cdot)$  çıkış fonksiyonunun türevidir.

- Geri yayılım fazı: Çıkış katmanında hesaplanan hatayı son gizli katmandan başlayarak ilk gizli katmana doğru ( $l=L\dots 1$ ) aşağıdaki hata terimi denklemine göre hesapla

$$\delta_{hl}^k = f'_o(a_{io}^k) \sum_{il+1=l}^{Nl+1} \delta_{i(l+1)}^k w_{hil(l+1)}^k \quad (3.40)$$

Burada eğer  $l+1$  bir çıkış katmanı ise  $i_{(l+1)}$ , yerine  $i_o$  kullan.

- Bağlantı kuvvetlerini değiştir

Bağlantı kuvvetlerini çıkış katmanında

$$w_{hLo}(t+1) = w_{hLo}(t) + \eta \delta_{lo}^k x_{hl}^k \quad (3.41)$$

Bağlantı kuvvetlerini gizli katmandan

$$w_{j(a-1)hi}(t+1) = w_{j(a-1)hi}(t) + \eta \delta_{hi}^k x_{ja-(a-1)}^k \quad (3.42)$$

denklemine göre değiştirilir. Eğer  $a-1$  giriş katmanı ise,  $x_{j(a-1)}^k$  yerine  $u_j^k$  kullanılır

- Döngü: 1-5 adımlarını durma kriterine ulaşıncaya kadar uygula . Durma kriteri ise

$$\langle e^k \rangle = \left\langle \frac{1}{2} \sum_{io=1}^M (y_{io}^k - x_{io}^k)^2 \right\rangle \quad (3.43)$$

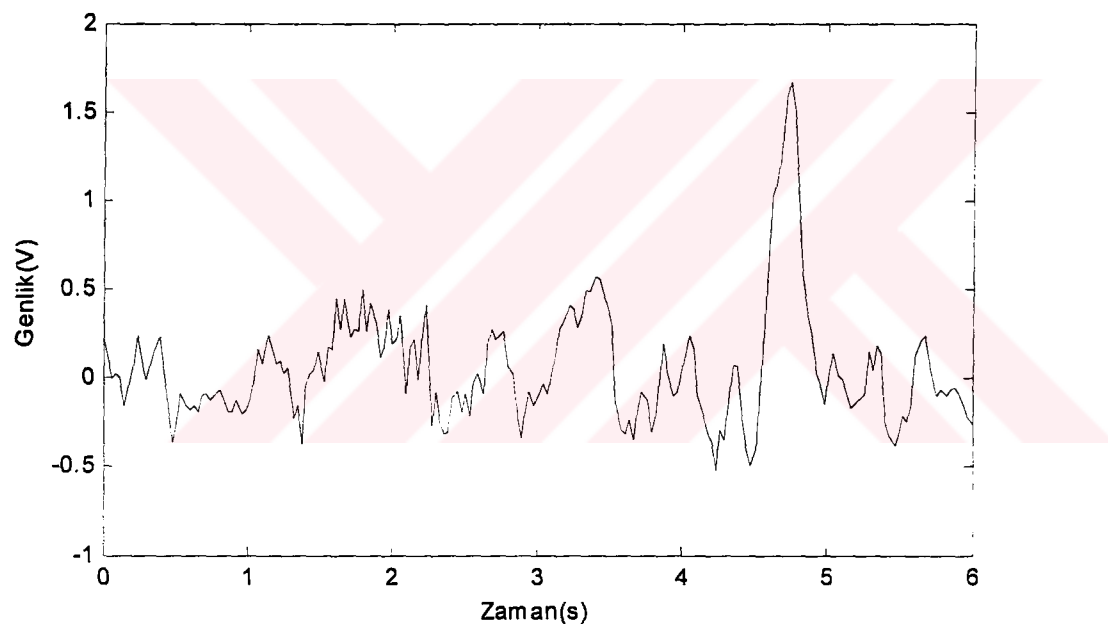
hata değerinin yeteri kadar küçük olması seçilir.

## 4. BULGULAR

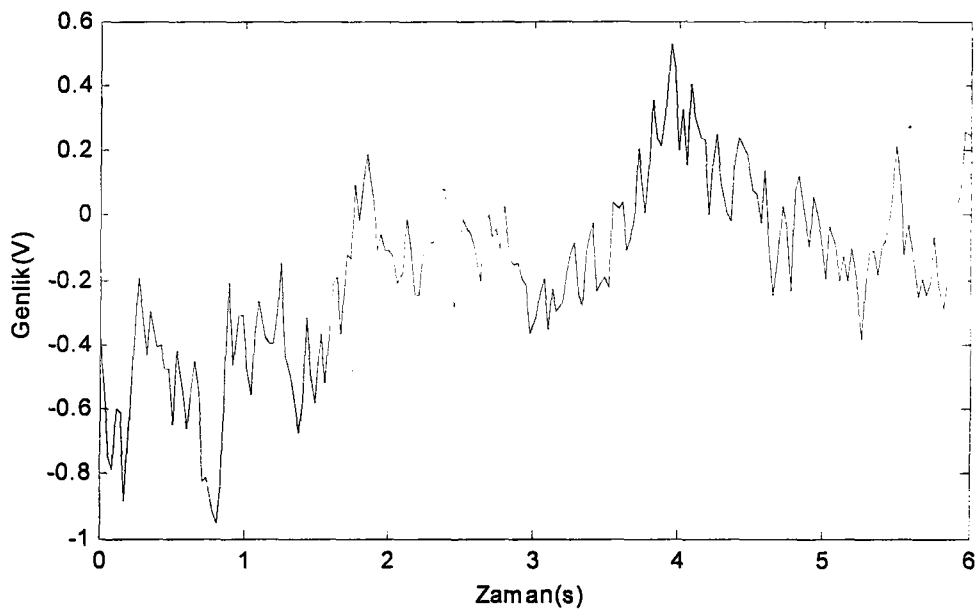
### 4.1. EEG Veri Setleri

Daha önceki bölümde anlatıldığı gibi EEG veri setlerinin bilgisayarda işlenebilmesi için kullanılan arabirim ünitesi ile ömeklenmiş ve her bir EEG veri seti 6 saniyede 202 ömek olarak bilgisayara kayıt edilmiştir.

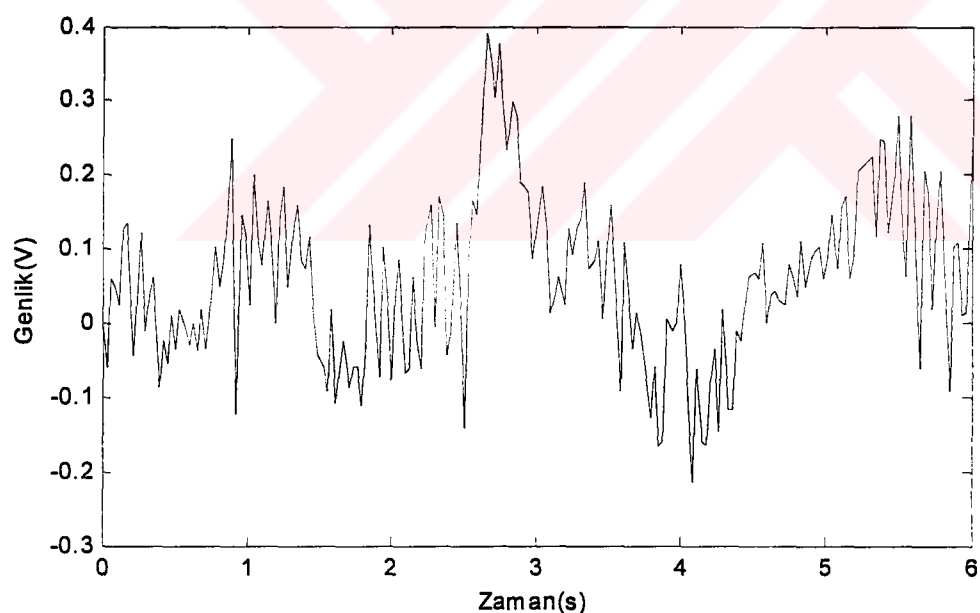
Kayıt edilen EEG veri setlerinden bir kaç matlab programı kullanılarak Şekil 30-35'tekiler gibi çizilmiştir.



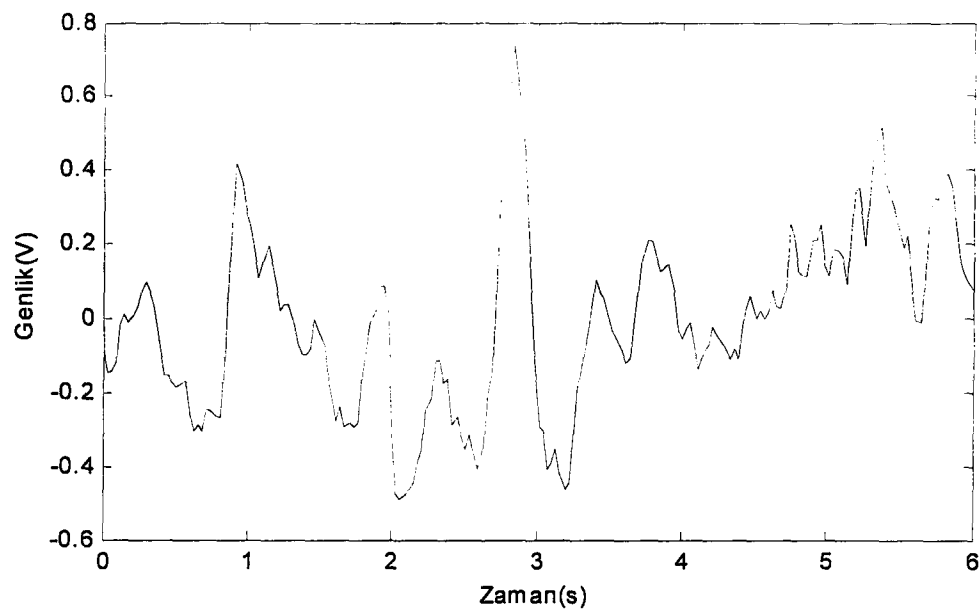
Şekil 30. Epileptik EEG



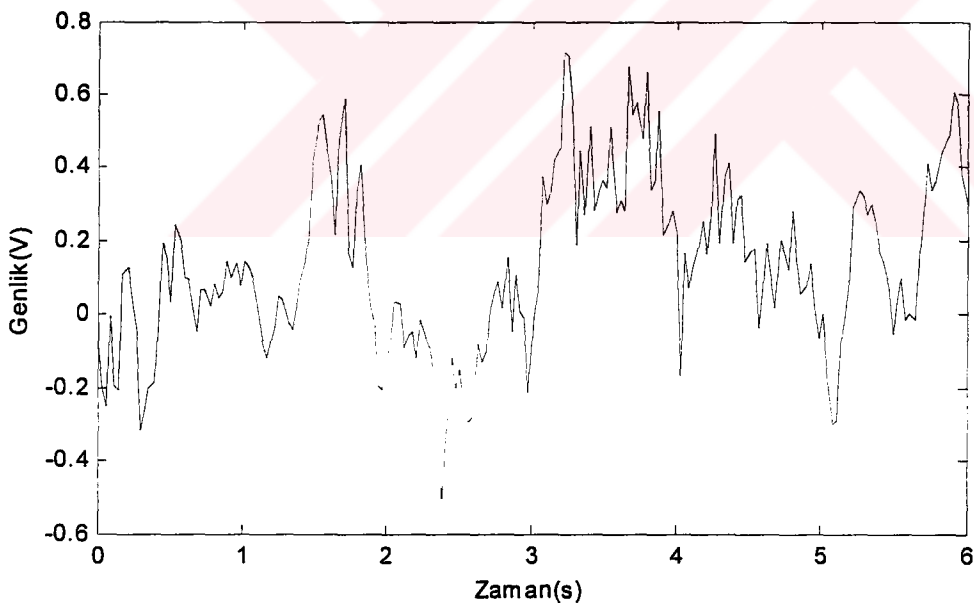
**Şekil 31.** Normal EEG



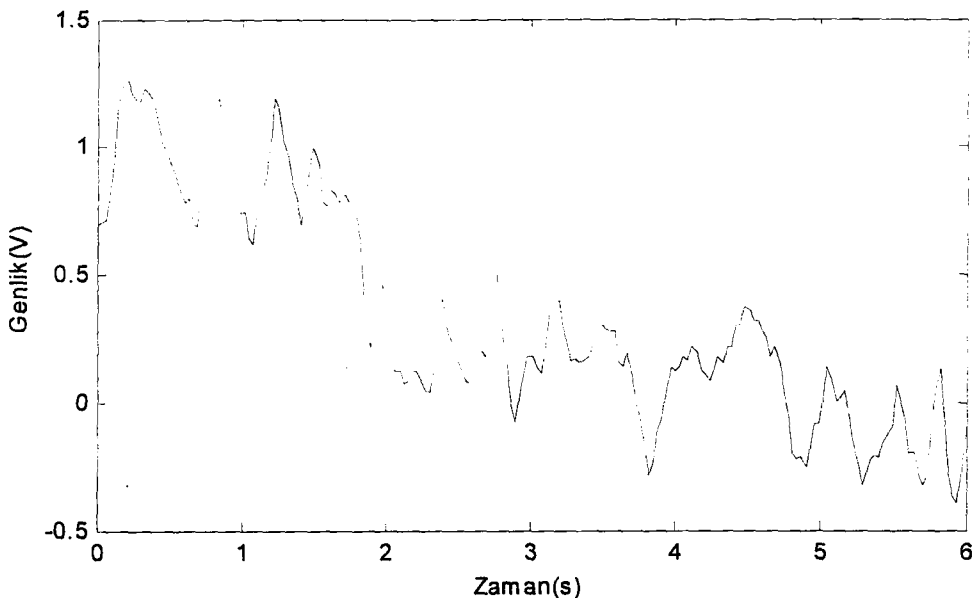
**Şekil 32.** Normal EEG



**Şekil 33.** Epileptik EEG



**Şekil 34.** Patolojik EEG



**Şekil 35.** Patolojik EEG

Yukarıda şekillerde kaydedilen çeşitli EEG dalga formları gösterilmiştir. Bu şekiller epileptik, normal ve patolojik durumları göstermektedir. Epileptik durumlardaki deşarjlar dalgaformunda bir pik ve frekansı diğer süreçlere oranla daha düşük olarak karşımıza çıkmaktadır. Bu tarz piklerin dalga formunda gözlenmesi esnasında yapılacak gözlem hatalarına dikkat etmemiz gerekmektedir. Bunun içinde teşhisin doğru yapılması oranı deneyimin fazlalığı ve iyi bir gözleme bağlı olarak artmaktadır.

Normal bireylerden alınmış EEG kayıtları incelediği zaman alfa işaretlerinin dominant durumu kolaylıkla göze çarpmaktadır. Bunu gözlemek için doktorların yaptığı gibi bir saniyedeki dalga sayısını sayabilmenin yanı sıra işaret analiz teknikleri ile kolaylıkla bulunabilmektedir.

Patolojik dalgaların genlik ve frekansları çok çeşitlilik arz etmektedir. Bu dalgaların düşük frekanslı yüksek genlikli dalgalara sahip olmasının yanı sıra,  $\alpha$  dalgasına da rastlamak mümkündür. Bu yüzden patolojik dalgaların da normal ve epileptik dalga formlarından ayırt edilmesi gerekmektedir.

Beyin işaretlerin kişiden kişiye değişmesinden dolayı bu tür işaretlerin sınıflandırılması yönünden bazı kriter değerlere dikkat edilmesi gereklidir. Yani herhangi bir sağlıklı bireyden alınan EEG kaydıyla diğer bir bireyden alınan EEG kaydının tipatıp aynı olması beklenmemelidir. Genetik özelliklerin, yaş durumunun ve bunun gibi bir çok nedenin etkin

olması sebebiyle, insanların beyin işaretlerinin frekans ve genlikleri değişiklik arz etmektedir. EEG kayıtları alınırken bu değişikler göz önünde tutulup, doğal karşılanması ve EEG kayıtlarındaki bu farklılıklardan ayrı olarak anomalilere dikkat edilmektedir.

Yukarıda gösterilen EEG kayıtları gözün kapalı olduğu ve zihnin boşaltıldığı yani dinlenim anlarında kayıt edilmiştir. Böylece EEG dalga formlarının kayıt edildiği süreçte alfa dalgalarının baskın olması doğal olarak beklenmektedir. Ancak alfa dalgasının baskınlığı ifadesinden sadece alfa dalgasının varlığı manası çıkarılmamalıdır. Yani EEG kaydında, daha önceki bölümlerde anlatılan beyinin diğer alt frekans bandı dalgaları da bulunabilmekte fakat bu süreçte alınan kriterin alfa dalgasının baskın olma durumuna dikkat edilmesi gerekmektedir. Aşağıda gösterilen şekiller incelendiği zaman sırasıyla z4 ve r2 EEG dalgalarının sağlıklı bireylerden aldığı göze çarpmaktadır. Bunun yanı sıra b9 ve b16 dalgalarında epileptik deşarjların karakteristik özelliklerini taşıyan düşük frekanslı yüksek genlikli dalgalar gözlenmektedir. Bunlara ilaveten b13 ve b11 EEG kayıtlarında normal beyin dalgalarının yanı sıra düşük frekanslı ve yüksek genlikli anormal dalga formları da gözlenmektedir.

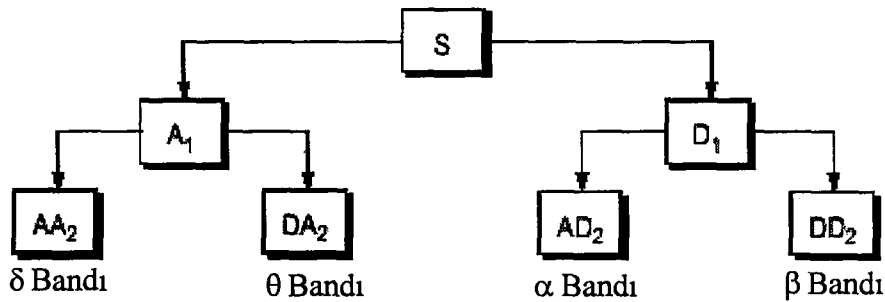
#### **4.2. EEG Veri Setlerine Dalgacık Dönüşümünün Uygulanması**

Kaydedilen EEG dalga formları analizi için çeşitli işaret analiz metotları kullanılabilir. Bunlardan en kolay uygulanabilecek olanı herkesin bildiği Fourier transformudur. Bu dönüşüm metodu ile zaman domeninden frekans domenine geçip, işaretin frekans bileşenlerinin aldığı değerler görülebilir, fakat EEG işaretin durağan olmadığından dolayı Fourier dönüşümü ve Fourier dönüşümünü esas alan bazı dönüşümleri kullanmak çok fazla yarar sağlamayacaktır. Bu yüzden işaretlerin frekans bileşenlerinin zamanda aldığı değerleri gösterebilen dalgacık dönüşümünün kullanılması özellikle zaman içerisinde epileptik deşarjların neden olduğu pikleri, yani düşük frekanslı yüksek genlikli dalgaların gözlenmesi açısından büyük yararlar sağlayacaktır.

Dalgacık dönüşümünün temelinde, bir bakıma frekansın tersi olan ağırlık parametresi ile işaretin tamamıyla frekans bileşenlerinin zaman içerisinde aldığı değerleri bulmak yatar. Yani Şekil 37-42'deki gibi EEG işaretin  $\delta$ ,  $\theta$ ,  $\alpha$  ve  $\beta$  alt frekans bantlarına ayrılmıştır.

EEG işaretlerinin dalgacık bileşenlerini analiz etmek için Daubechies dalgacıklarından db4 kullanılmıştır. EEG işaretleri alt ve üst frekans bantlarına ayrılmış daha sonra sözümüz alt bantlarda kendilerinin alt ve üst bantlarına ayrılmıştır. Bu ayırma işlemi şekildeki gibi gösterilmiştir.

Burada görülen S işaretti EEG işaretidir ve  $\delta$ ,  $\theta$ ,  $\alpha$  ve  $\beta$  alt frekans bantları sırasıyla 0-4Hz, 4-8Hz 8-12Hz ve 12-16Hz bant genişliklerine sahiptir.



**Şekil 36.** EEG işaretlerinin dalgacıklarına ayrılması

Bu analiz işlemini yapmak üzere matlab komut penceresinde aşağıda gösterilen komutlar kullanılmıştır.

`a=[0:(6/201):6];`

`y=b9+(0.0001*sin(360*32*a))';`

`[c,l]=wavedec(y,4,'db4');`

`d4 = wrcoef('d',c,l,'db5',1);`

`a4 = wrcoef('a',c,l,'db5',1);`

`[c1,l1]=wavedec(d4,3,'db5');`

`d3 = wrcoef('d',c1,l1,'db5',1);`

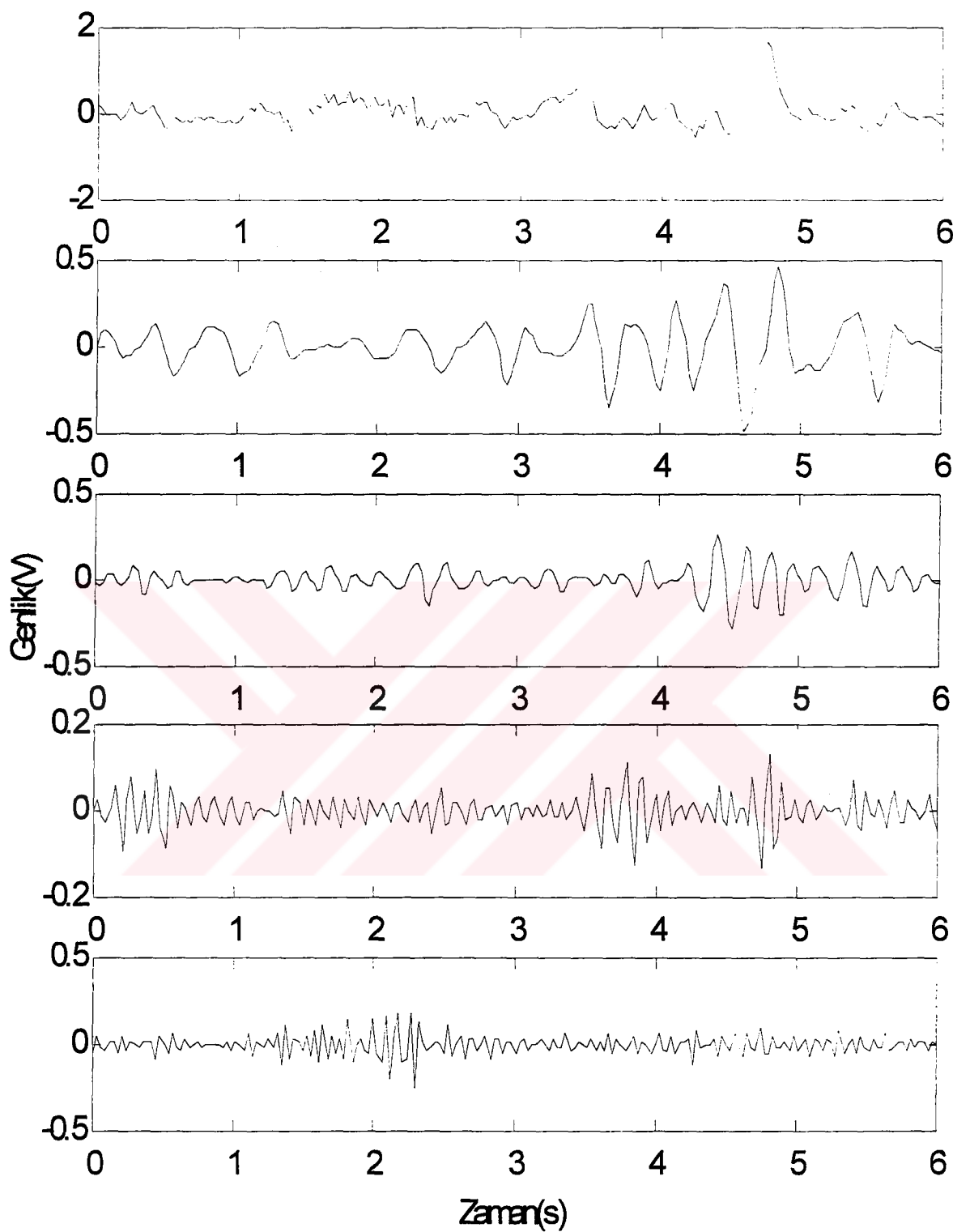
`[c2,l2]=wavedec(a4,3,'db5');`

`d2 = wrcoef('d',c2,l2,'db5',1);`

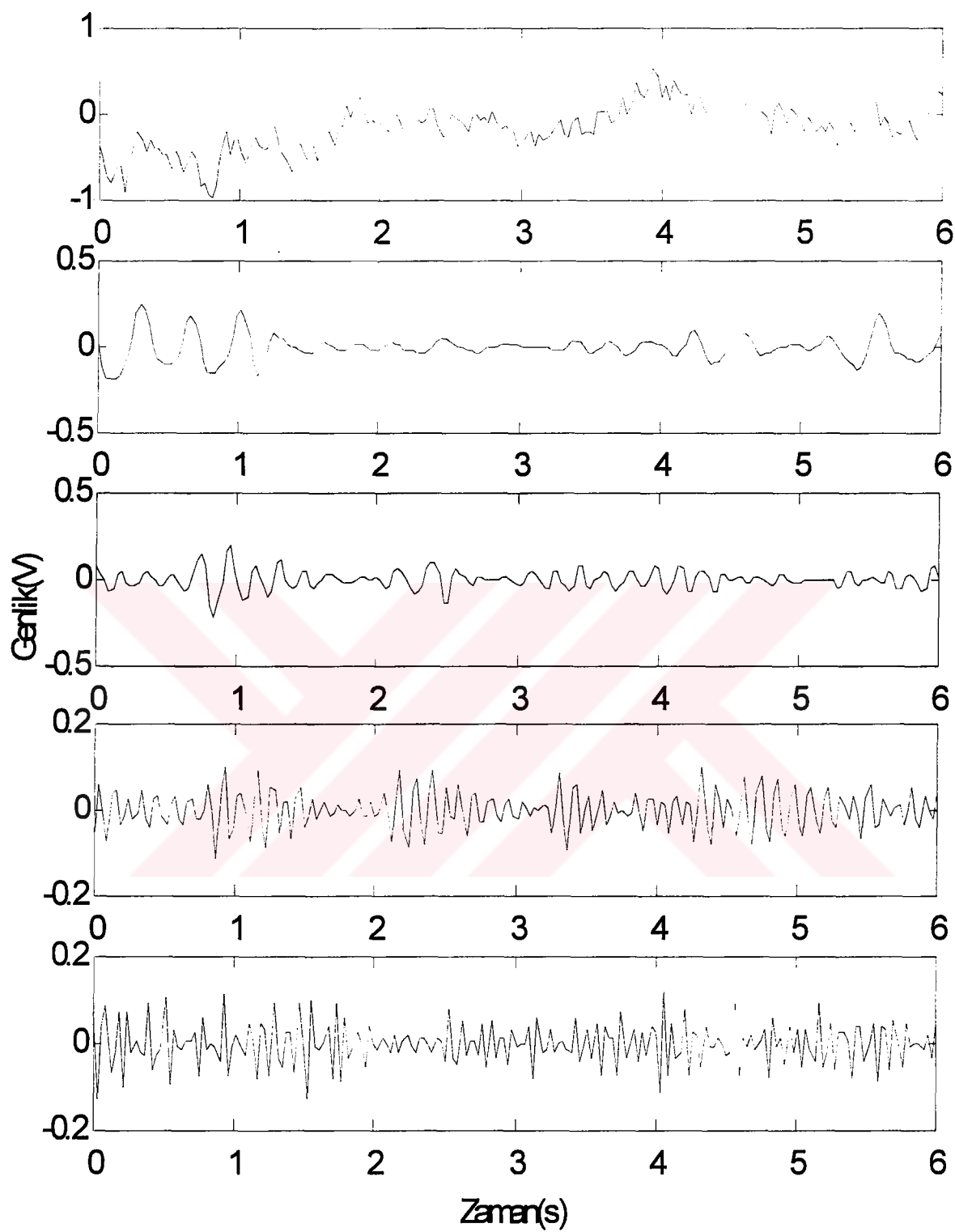
`d1 = wrcoef('a',c2,l2,'db5',1);`

```
[c3,l3]=wavedec(d1,3,'db4');  
  
d1 = wrcoef('d',c3,l3,'db4',2);  
  
d0 = wrcoef('d',c3,l3,'db4',3);  
  
subplot(5,1,1);plot(a,b9);  
  
subplot(5,1,2);plot(a,d0);  
  
subplot(5,1,3);plot(a,d1);ylabel('Genlik(V)');  
  
subplot(5,1,4);plot(a,d2);  
  
subplot(5,1,5);plot(a,d3);xlabel('Zaman(s)');
```

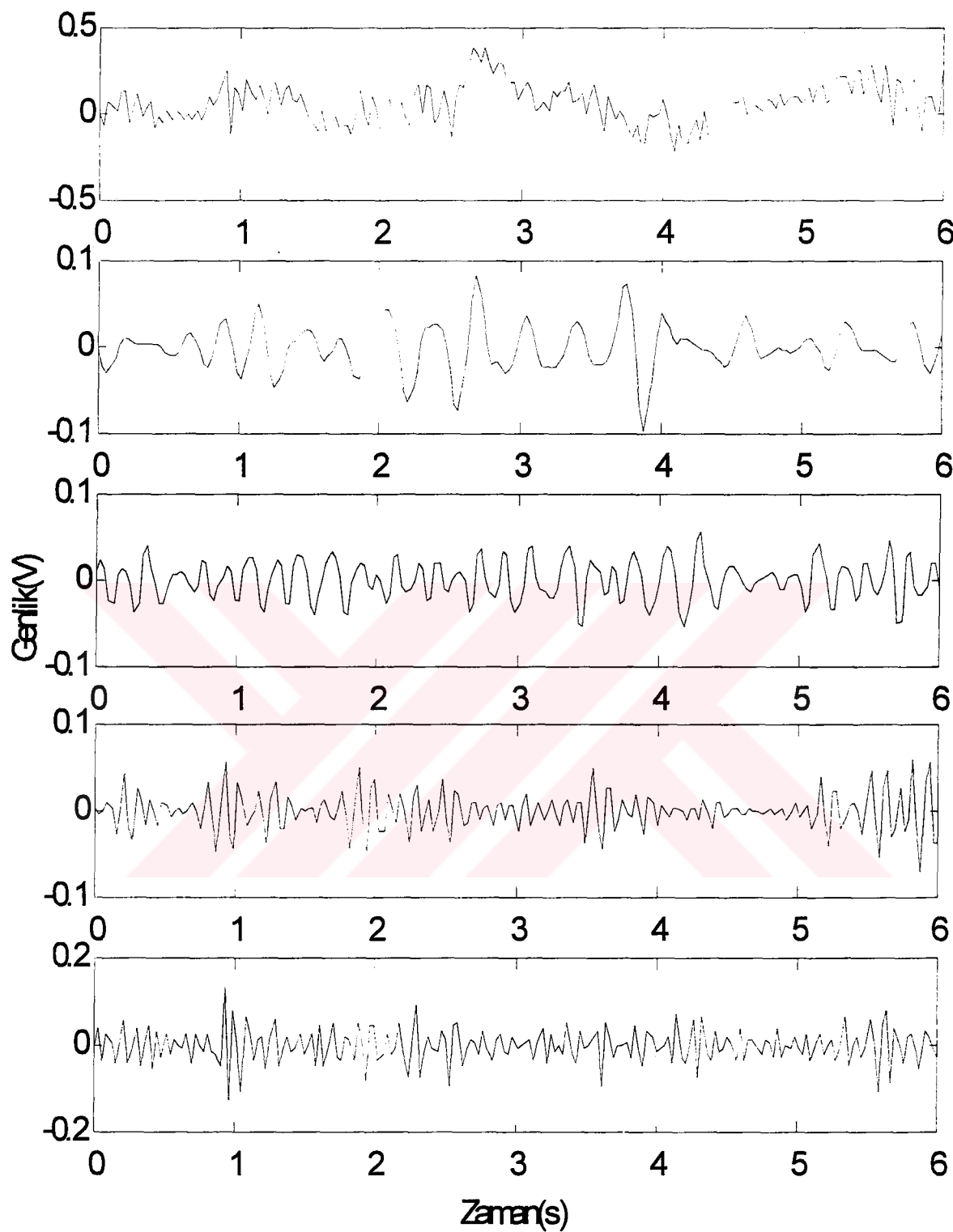
Yukarıda verilen EEG kayıt örnekleri ve bu örneklerin dalgacıklarına aynılmış halleri aşağıda Şekil 37-42'de gösterilmiştir. Bu şekillerde verilen EEG verileri ve frekans alt bantları yukarıdan aşağıya doğru a,b,c,d ve e olarak verilmiştir.



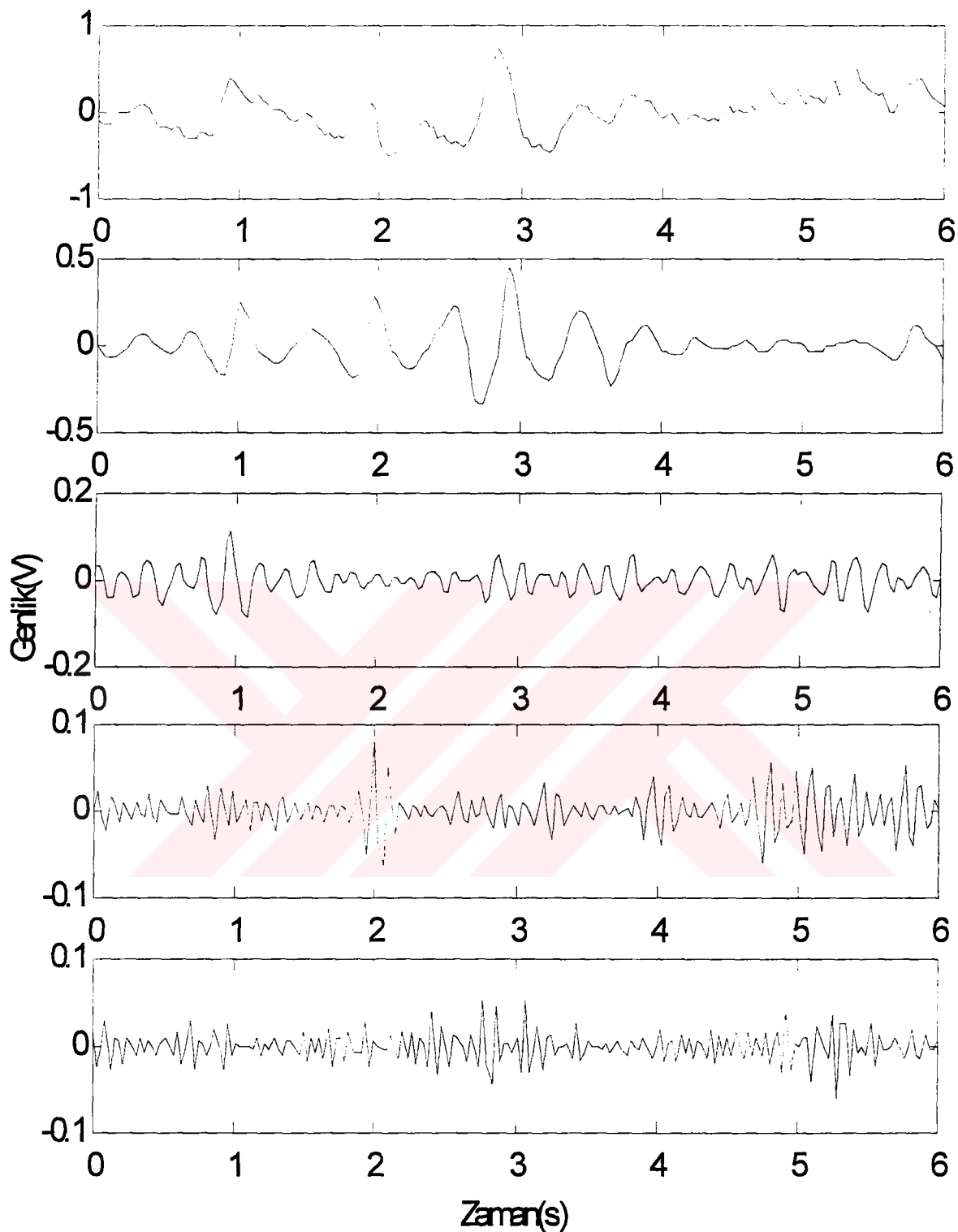
**Şekil 37.** a) Epileptik EEG b)  $\delta$  dalgacığı c)  $\theta$  dalgacığı d)  $\alpha$  dalgacığı e)  $\beta$  dalgacığı



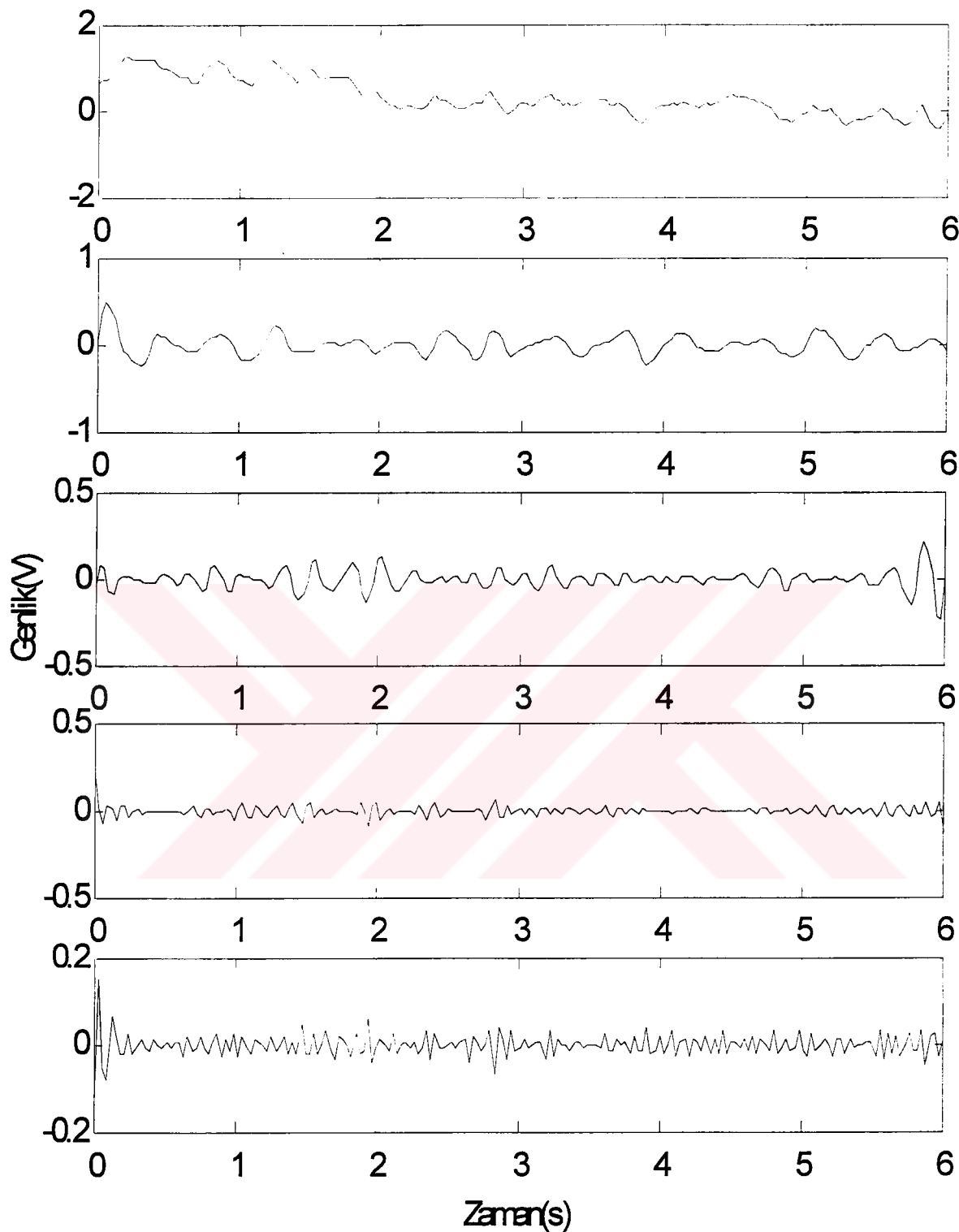
Şekil 38. a) Normal EEG b)  $\delta$  dalgacığı c)  $\theta$  dalgacığı d)  $\alpha$  dalgacığı e)  $\beta$  dalgacığı



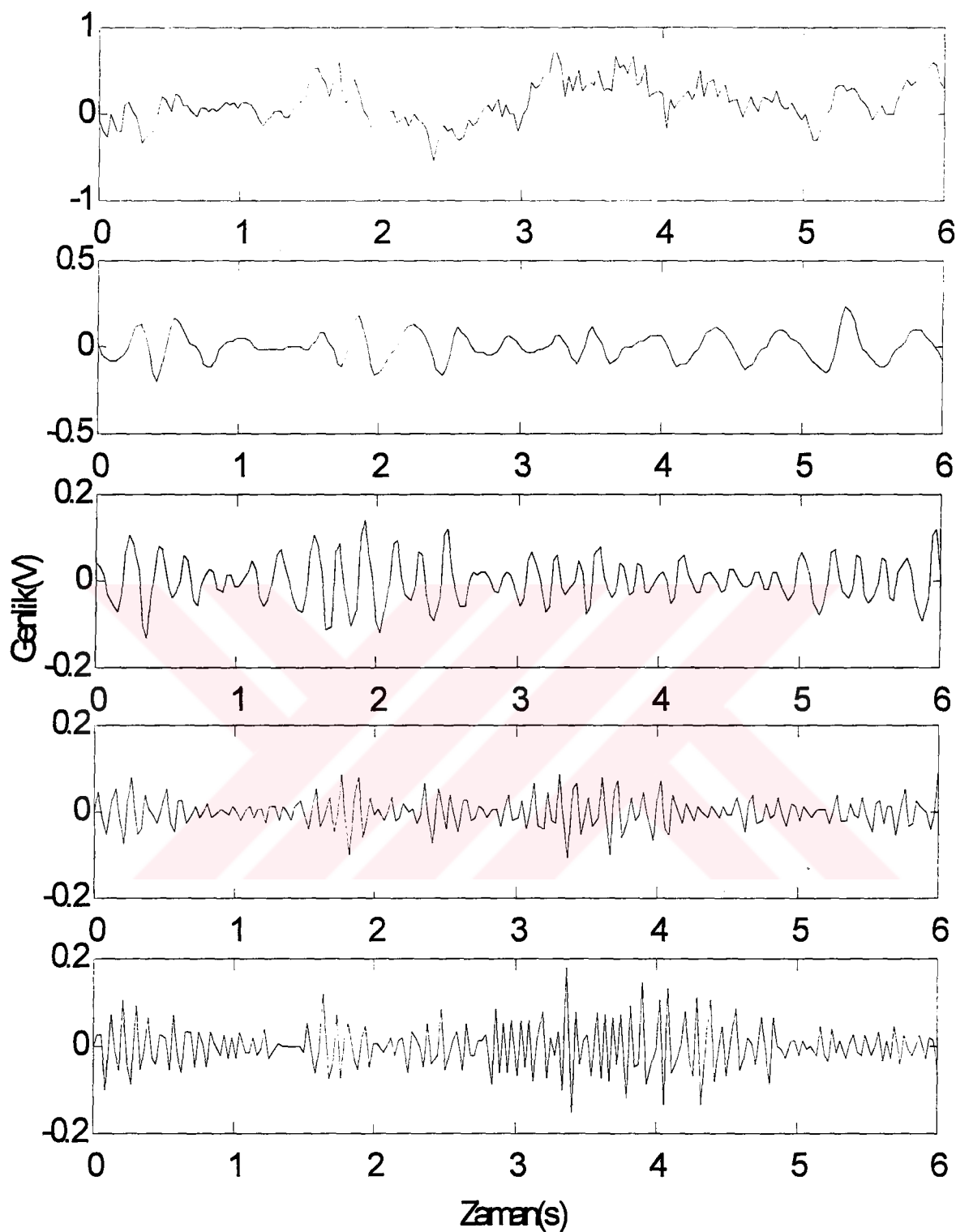
**Şekil 39.** a)Normal EEG b) δ dalgacığı c) θ dalgacığı d) α dalgacığı e) β dalgacığı



**Şekil 40.** a) Epileptik EEG b)  $\delta$  dalgacığı c)  $\theta$  dalgacığı d)  $\alpha$  dalgacığı e)  $\beta$  dalgacığı

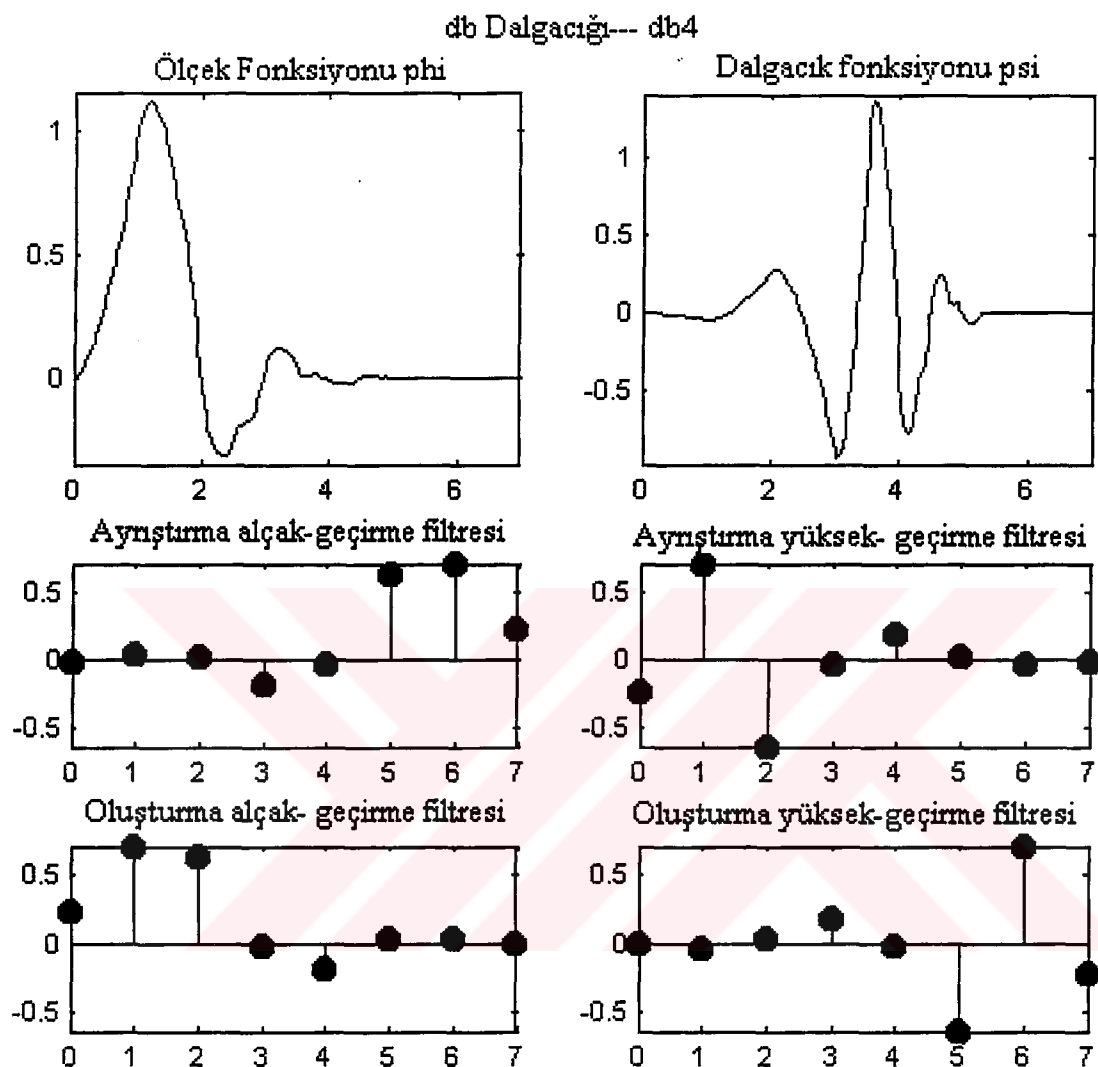


Şekil 41. a) Patolojik EEG b)  $\delta$  dalgacığı c)  $\theta$  dalgacığı d)  $\alpha$  dalgacığı e)  $\beta$  dalgacığı



Şekil 42. a) Patolojik EEG b)  $\delta$  dalgacığı c)  $\theta$  dalgacığı d)  $\alpha$  dalgacığı e)  $\beta$  dalgacığı

Yukarıdaki şeillerde ana işaret S olarak b9, b16, r2, z4, b11 ve b13 EEG kayıtları verilmiştir ve bu işaretlere ait  $\delta$ ,  $\theta$ ,  $\alpha$  ve  $\beta$  frekans bantları gösterilmektedir. Dalgacık dönüşümünde kullanılan dalgacık Daubechies dalgacık prototiplerinden db4'tür (Şekil 43).



Şekil 43. db4 dalgacığı

BATTLE-LEMARIÈ ortonormal ağırlık fonksiyonları,  $m \geq 2$  için  $m$ . Dereceden cardinal B-spline dalgacıklarını ( $N_m(t)$ ) ortonormalize ederek elde etmiştir. Fakat  $E_{N_m}(z)$  paydadaki varlığından dolayı  $[g_0[k]]$  dizisi sonsuz uzunlukta olmaktadır.

Polinomun (Laurent) derecesini sonlu uzunlukta tutup ortonormaliteyi elde etmek için, Daubechies ağırlıklandırma fonksiyonu için iki indisli simbol  $\phi_{D,m}$ ' yi düşünmüştür.

$$G_0(z) = \left( \frac{1+z}{2} \right)^m S(z) \quad (4.1)$$

olar ki burada  $S(z) \in \pi_{m-1}$  dir. Bununla birlikte  $S(z)$  yi bulmamız gerekmektedir. Bunun için  $G_0(1)=1$  olması nedeniyle  $S(1)=1$  olması gereklidir. Buna ilaveten  $S(-1) \neq 0$  olmasını isteriz. çünkü eğer  $S(-1)=0$  olursa,  $z+1$   $S(z)$  nin bir çarpımı olur ve dikkate alınmayabilir. Şimdi yukarıdaki eşitlikte verilen  $G_0(z)$  ortogonalite koşulunu sağlamalıdır. Yani

$$|G_0(z)|^2 + |G_0(-z)|^2 = 1, \quad z = e^{j\omega t} \quad (4.2)$$

$$\cos^{2m} \frac{\omega}{4} |S(z)|^2 + \sin^{2m} \frac{\omega}{4} |S(-z)|^2 = 1 \quad (4.3)$$

Burada

$$x = \sin^2 \frac{\omega}{4} \quad (4.4)$$

ve

$$f(x) = |S(z)|^2 \quad (4.5)$$

olduğu kabul edilirse yukarıdaki eşitlik

$$(1-x)^m f(x) + x^m f(1-x) = 1 \quad (4.6)$$

$$f(x) = (1-x)^m [1 - x^m f(1-x)] = \sum_{k=0}^{m-1} \binom{m+k-1}{k} x^k + R_m(x) \quad (4.7)$$

$$R_m(x) = \sum_{k=0}^{m-1} \binom{m+k-1}{k} x^k + (-x)^m f(1-x) \sum_{k=0}^{\infty} \binom{m+k-1}{k} x^k \quad (4.8)$$

$f(x)$  m. Dereceden bir polinom olduğu için,  $R_m(x) \equiv 0$  dir. Böylece aşağıdaki eşitliği elde etmiş oluruz.

$$|S(z)|^2 = \sum_{k=0}^{m-l} \binom{m+k-l}{k} \sin^{2k} \frac{\omega}{4}, \quad z = e^{-j\omega/2} \quad (4.9)$$

yukarıdaki polinom şu hale dönüştürülebilir

$$|S(z)|^2 = \frac{a_0}{2} + \sum_{k=1}^{m-l} a_k \cos \frac{k\omega}{2} \quad (4.10)$$

ki burada

$$a_k = (-1)^k \sum_{n=0}^{m-k-l} \frac{1}{2^{2(k+n)-l}} \binom{2(k+n)}{n} \binom{m+k+n-l}{k+n} \quad (4.11)$$

Buna ilaveten  $S(z)$  nin  $|S(z)|^2$  den çıkarılması gerekmektedir.

Riesz' in önermesine göre, kosinus serileri ile ilgili  $a_0, \dots, a_N \in \mathcal{R}$  ve  $a_N \neq 0$  olmak kaydıyla aşağıdaki gibi öyle bir polinom vardır ki

$$\hat{f}(\omega) = \frac{a_0}{2} + \sum_{k=1}^N a_k \cos k\omega \quad (4.12)$$

$$g(z) = \sum_{k=0}^N b_k z^k \quad (4.13)$$

Burada  $a_0, \dots, a_N \in \mathcal{R}$  ve;

$$|g(z)|^2 = \hat{f}(\omega) \quad z = e^{-j\omega} \quad (4.14)$$

dir.

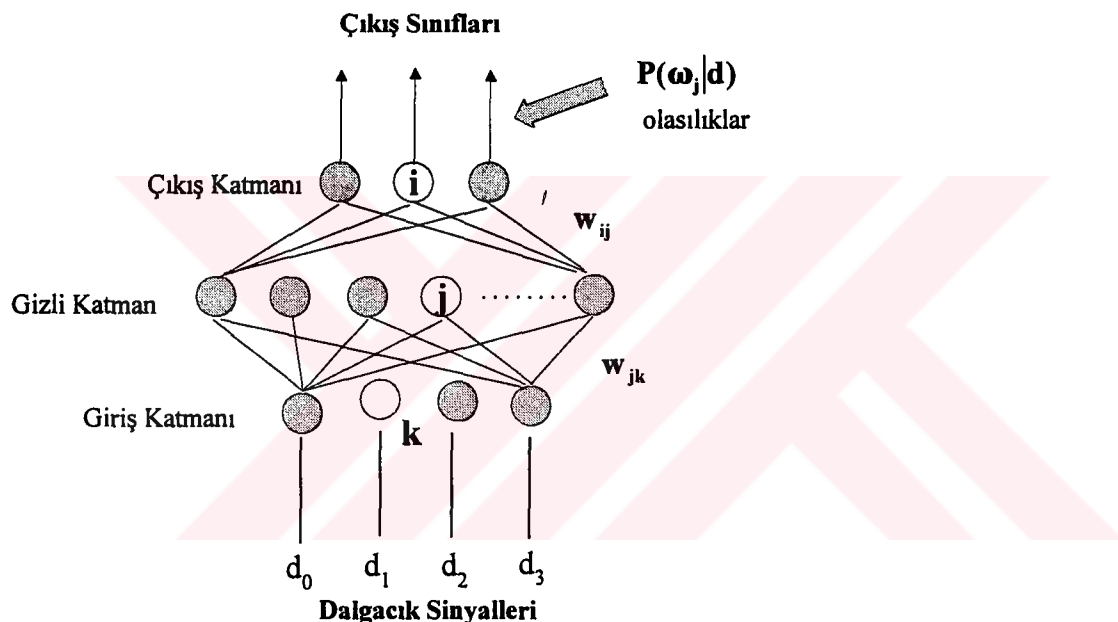
Riesz önerisini uygulayarak,  $S(z)$  için aşağıdaki yazılış formunu elde etmek kolaydır

$$S(z) = C \prod_{k=1}^K (z - r_k) \prod_{l=1}^L (z - z_l)(z - \bar{z}_l) \quad K + 2L = m - l \quad (4.15)$$

Burada  $\{r_k\}$  sıfır olmayan gerçek kökler,  $\{z_i\}$ ,  $z^{m-1}|S(z)|^2$  nin birim çember içinde kalan kompleks kökleri ve  $C, S(1)=1$  durumunu sağlayan bir sabittir[16].

#### 4.3. Dalgacık Dönüşümü Sonrası Elde Edilen Verilerin Yapay Sinir Ağına Uygulanması

Dalgacık Dönüşümü sonrasında elde edilen  $\delta$ ,  $\theta$ ,  $\alpha$  ve  $\beta$  dalgalarına ilişkin sonuçlar yapay sinir ağını eğitmek üzere giriş verileri olarak kullanılmıştır. Şekil 44'te görülen yapay sinir ağı Matlab isimli paket program ile oluşturulmuştur.



**Şekil 44.** Oluşturulacak yapay sinir ağının şeması

##### 4.3.1. Uygulama Sonuçları

Bu çalışmada kullanılan yapay sinir ağıının eğitim karakteristikleri aşağıdaki gibidir.

##### 4.3.2. Yapısı

Katman Sayısı: 3 Bunlar giriş- gizli-çıkış katmanlarıdır.

Katmanlardaki nöron sayıları:  $(4 \times 202) - 15 - 3$  (giriş-gizli-çıkış katmanları için)

## *Eğitim Parametreleri*

Adaptif Öğrenme Katsayısı: 0.0005

Momentum Katsayısı: 0.95

Hata-kareleri-toplami: 0.0005

Hata geri yayılımlı yapay sinir ağının eğitim sürecindeki öğrenme iterasyonlarına göre sistem hatasının değişimi aşağıdaki şekilde gösterilmiştir. Ağın eğitimi süresince herhangi bir kararsızlık veya pürüz olmamıştır. Bu seçilen eğitim parametrelerinin güvenirligini göstermektedir

İkinci aşama olarak eğitilen ağ farklı sınıflardaki EEG dalgacık işaretleri ile eğitilmiştir. Bu testin sonucunda gözlemlenen yapay sinir ağının çıkış vektörlerine göre hastalığı teşhis etmek mümkün olmaktadır.

### **4.3.3. Oluşturulacak Yapay Sinir Ağrı İçin Gerekli Program**

Yapay sinir ağının eğitilmesi için Matlab programında yazılmış olan program aşağıdaki gibidir.

% P: giriş vektörü, T :hedef vektör

```
load b9.mat;P=[d0;d1;d2;d3]; e1=P; %epileptik
```

```
load b16.mat;P=[d0;d1;d2;d3]; e2=P; %epileptik0
```

```
load r1.mat;P=[d0;d1;d2;d3]; s1=P; %sağlam
```

```
load r2.mat;P=[d0;d1;d2;d3]; s2=P; %sağlam
```

```
load r4.mat;P=[d0;d1;d2;d3]; s3=P; %sağlam
```

```
load b13.mat;P=[d0;d1;d2;d3]; p1=P; %patolojik
```

```
load b12.mat;P=[d0;d1;d2;d3]; p2=P; %patolojik
```

```
load b11.mat;P=[d0;d1;d2;d3]; p3=P; %patolojik
```

```
P=[e1 e2 s1 s2 s3 p1 p2 p3];
```

```
T=[1 0 0;1 0 0;0 1 0;0 1 0;0 1 0;0 0 1;0 0 1;0 0 1];
```

```
T=T';
```

#### % BP Ağının Kurulması

```
[R,Q]=size(P); % R : giriş sayısı, Q : giriş örnek sayısı
```

```
S1=15; % S1= 1. ara katmandaki noron sayısı
```

```
S2=10; % S2= 2. ara katmandaki noron sayısı
```

```
[S3,Q]=size(T); % S3=çıkış katmandaki noron sayısı
```

```
[w1,b1]=nwtan(S1,R);
```

```
[w2,b2]=nwtan(S2,S1);
```

```
[w3,b3]=nwtan(S3,S2);
```

#### % Eğitim Parametreleri

```
df=50; % tekrar sayısı
```

```
sse=0.0005; % minimum hata
```

```
mitr=20000; % maksimum iterasyon
```

```
lr=0.0005; % öğrenme oranı (0.01,...,1)
```

```
lr_inc=1.05; % öğrenme oranının artırımı
```

```
lr_dec=0.7; % öğrenme oranının azaltımı
```

```
mr=0.95; % momentum katsayısı (0....1)
```

```
er=1.04; % hata oranı -adaptif lr için gerekli
```

```
tp=[df,mitr,sse,lr,lr_inc,lr_dec,mr.er];
```

%Eğitim Yapılıyor

```
[w1,b1,w2,b2,w3,b3,epochs  
error]=trainbp(x(w1,b1,'tansig',w2,b2,'tansig',w3,b3,'tansig',P,T,tp);
```

```
save data.mat w1 b1 w2 b2 w3 b3
```

% Test etme

```
%load data.mat;
```

```
%Pt=e;out=simuff(Pt,w1,b1,'tansig',w2,b2,'tansig',w3,b3,'tansig');
```

TRAINBPX: 0/20000 epochs, lr = 0.0005, SSE = 18.3668.

TRAINBPX: 50/20000 epochs, lr = 0.0057337, SSE = 13.1743.

TRAINBPX: 100/20000 epochs, lr = 0.0366124, SSE = 3.55521.

TRAINBPX: 150/20000 epochs, lr = 0.0368592, SSE = 0.0562617.

TRAINBPX: 200/20000 epochs, lr = 0.0242849, SSE = 0.0299022.

TRAINBPX: 250/20000 epochs, lr = 0.240566, SSE = 0.0130908.

TRAINBPX: 300/20000 epochs, lr = 0.0202495, SSE = 0.00315068.

TRAINBPX: 350/20000 epochs, lr = 0.0583447, SSE = 0.00288481.

TRAINBPX: 400/20000 epochs, lr = 0.669062, SSE = 0.00226165.

TRAINBPX: 450/20000 epochs, lr = 0.0230496, SSE = 0.00181814.

TRAINBPX: 500/20000 epochs, lr = 0.10983, SSE = 0.00165702.

TRAINBPX: 550/20000 epochs, lr = 1.25946, SSE = 0.00127083.

TRAINBPX: 600/20000 epochs, lr = 0.0249875, SSE = 0.00115551.

TRAINBPX: 650/20000 epochs, lr = 0.213822, SSE = 0.0011136.

TRAINBPX: 700/20000 epochs, lr = 0.0404962, SSE = 0.00093059.

TRAINBPX: 750/20000 epochs, lr = 0.0470372, SSE = 0.000899084.

TRAINBPX: 800/20000 epochs, lr = 0.347698, SSE = 0.000850461.

TRAINBPX: 850/20000 epochs, lr = 0.0152878, SSE = 0.000799354.

TRAINBPX: 900/20000 epochs, lr = 0.0629267, SSE = 0.000731804.

TRAINBPX: 950/20000 epochs, lr = 0.538473, SSE = 0.00068739.

TRAINBPX: 1000/20000 epochs, lr = 0.0204522, SSE = 0.000628829.

TRAINBPX: 1050/20000 epochs, lr = 0.0841839, SSE = 0.000619939.

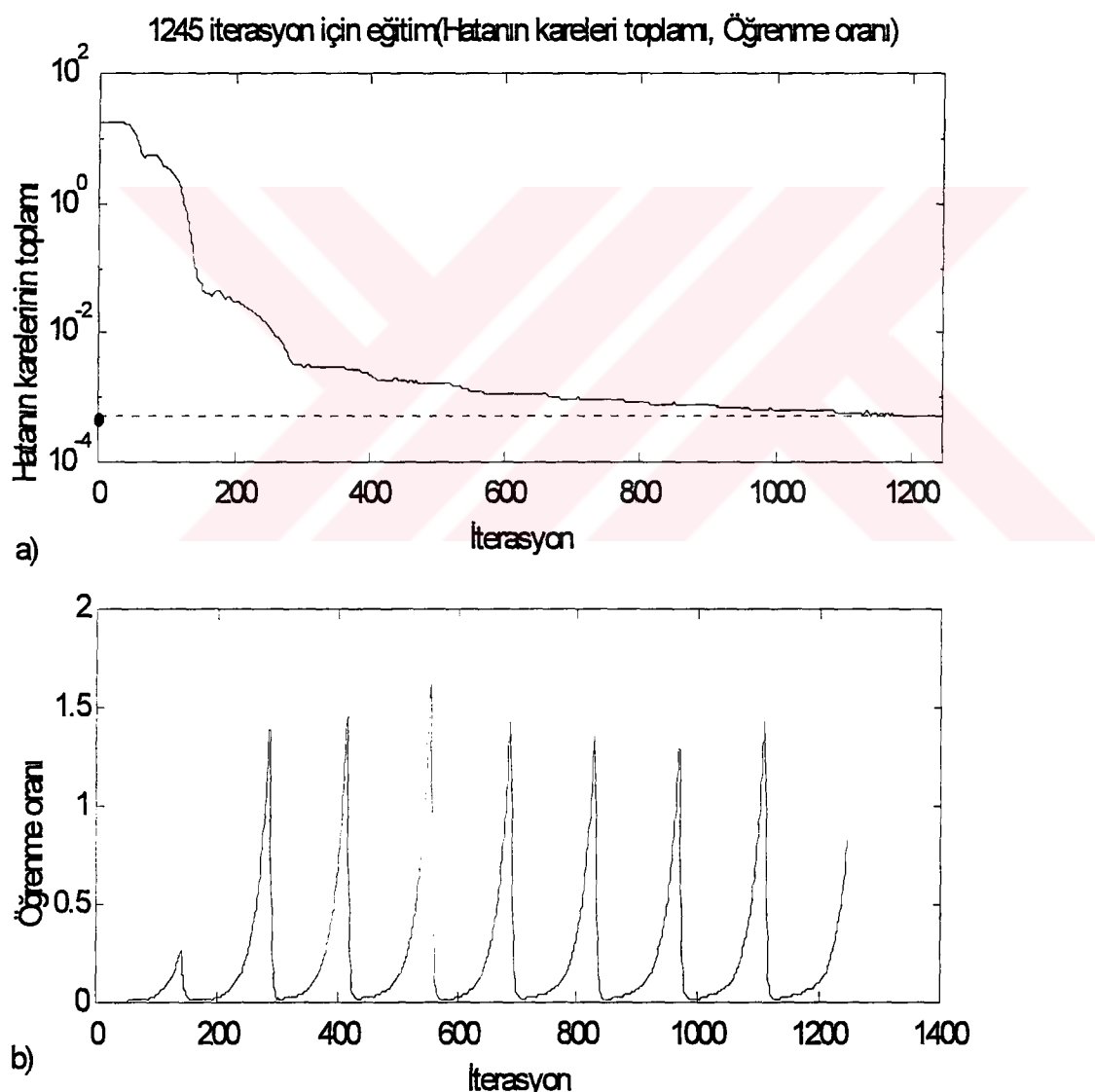
TRAINBPX: 1100/20000 epochs, lr = 0.9194, SSE = 0.000571425.

TRAINBPX: 1150/20000 epochs, lr = 0.0287291, SSE = 0.000540502.

TRAINBPX: 1200/20000 epochs, lr = 0.102151, SSE = 0.000532361.

TRAINBPX: 1245/20000 epochs, lr = 0.832499, SSE = 0.000499074.

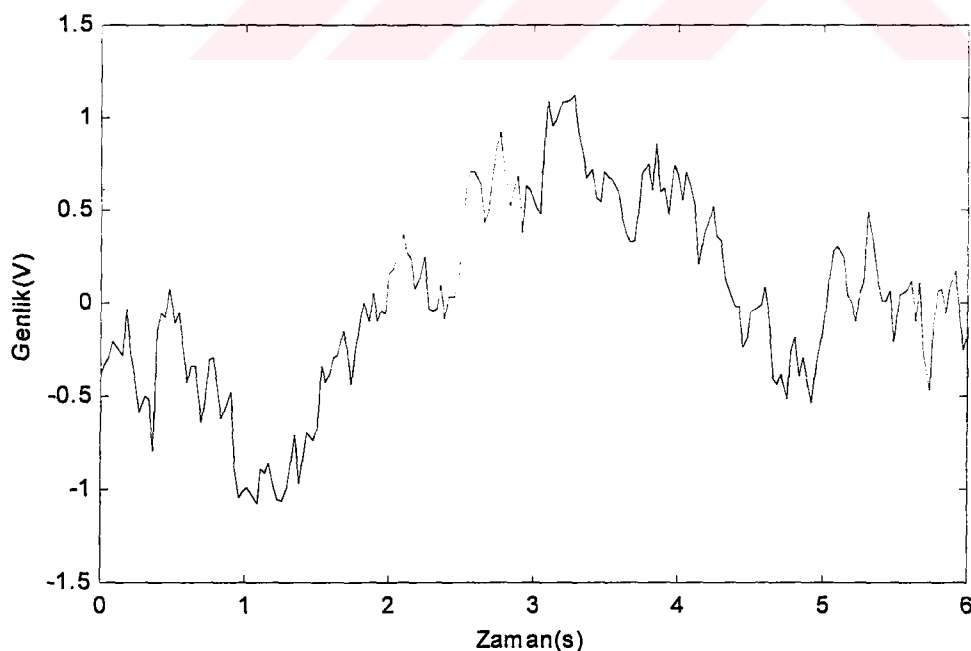
Yapay sinir ağının eğitimi boyunca, hatanın ve öğrenme oranının iterasyon sayısına göre değişimi aşağıda Şekil 45'te verilmiştir.



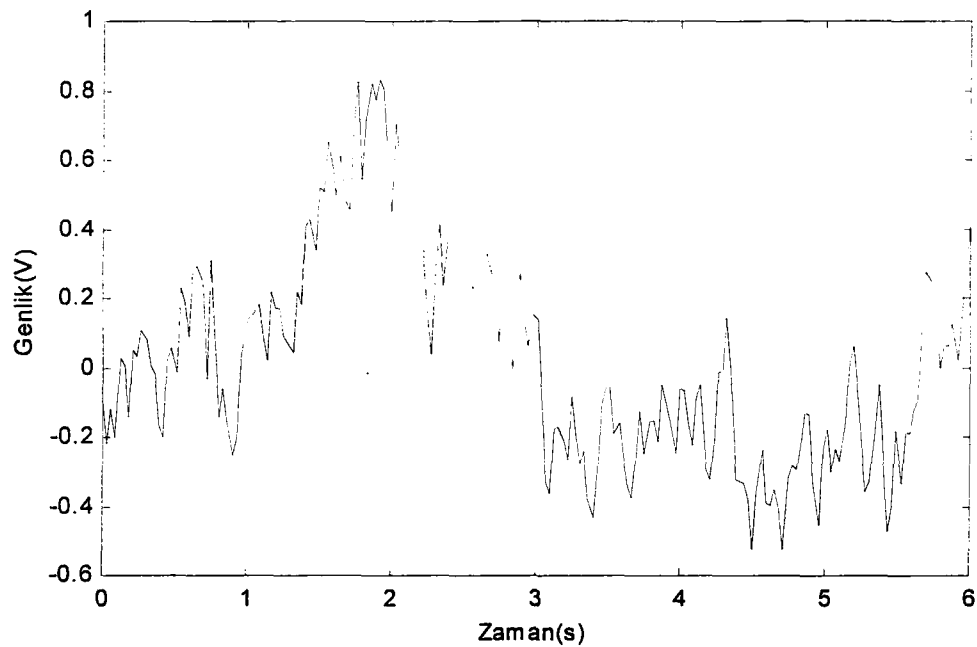
**Şekil 45.** Eğitim boyunca meydana gelen hatanın karelerinin toplamı(a) ve öğrenme oranının(b) iterasyona göre değişimi

Burada eğitilen yapay sinir ağı modeli daha sonra, çeşitli tipte EEG kayıtları alınıp teste tabi tutulmuştur. Aşağıdaki şekillerde test işaretleri gösterilmiştir. Bu test işaretlerinden ilki epilepsi hastasına, daha sonraki dördü sağlıklı insanlara ve sonucusu da patolojik bir hastaya ait EEG işaretleridir (Şekil 46-51). Bu şekiller incelendiği zaman patolojik olan EEG verisinde  $\alpha$  frekans bandının yanı sıra  $\delta$  ve  $\theta$  bandına ait frekans bileşenleri görülmektedir. Normal EEG verilerinde yine hakim frekans  $\alpha$  bandıdır. Epleptik EEG verisi incelendiği zaman keskin bir dalga göze çarpmaktadır ve burada bu keskin dalganın sahip olduğu frekans düşüktür. Ayrıca epileptik EEG verisi için bir saniyedeki pik sayısı sayıldığı zaman 4-5 arasında çıkmaktadır. Yani burada pik saymaya bağlı olarak çıkan hakim frekans 4-5 Hz'dır.

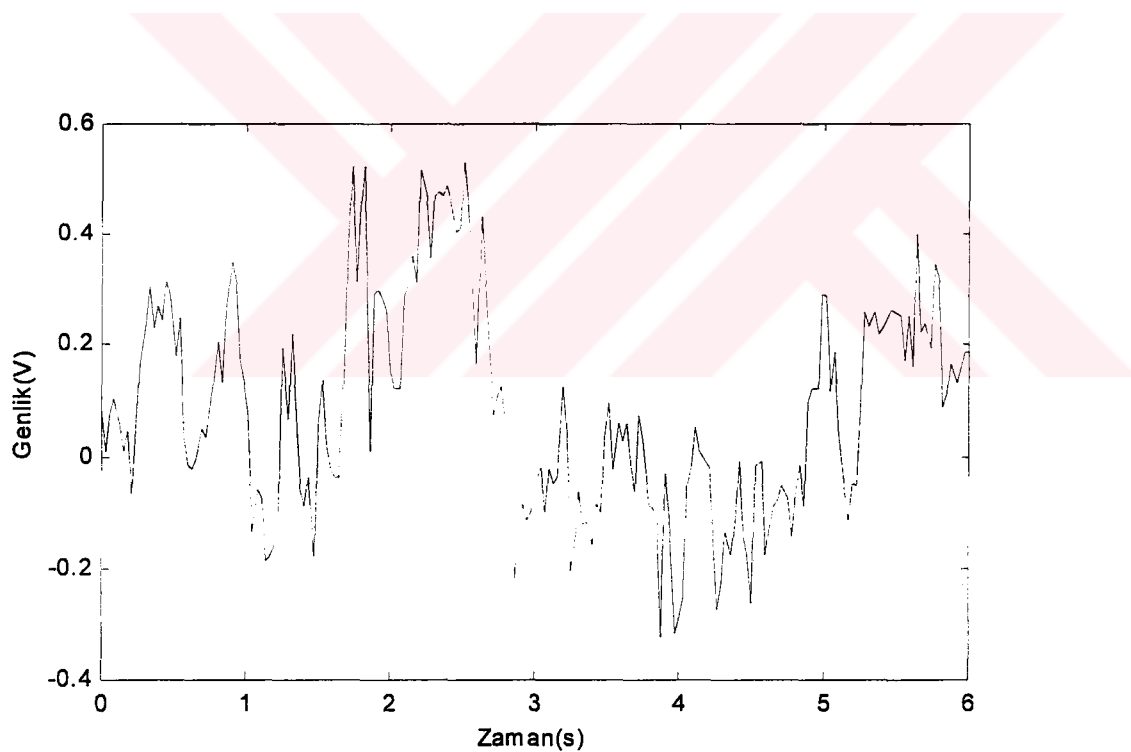
Geliştirilen yapay sinir ağının, bu EEG işaretleri ile test edilmesinden elde edilen sonuçlar tablo 1'de gösterilmiştir. Bu sonuçlardan çıkarılan en önemlisi ağın test işaretlerini çok az bir hata yapma olasılığı ile tanımıştır. Bunu şu şekilde açıklayabiliriz. Eğer test işareti olarak z1.mat.'ı alıversak, ağımız bunu %96'lık bir doğruluk oranı ile tanıယaktır. Bu da ağımız bu şeildeki işaretlere benzer EEG kayıtlarına sahip 100 hastadan 96'sının durumunu doğru olarak ve sağlık durumlarının sağlam olduğunu teşhis edeceği anlamına gelmektedir. Buna ilaveten ağımız bu tabloya göre uygulanan test verilerinden epileptik olanını % 99, patolojik olanını % 94 ve sağlıklı olanları % 94, % 97, %97, % 99 doğruluk oranları ile tanıယaktır.



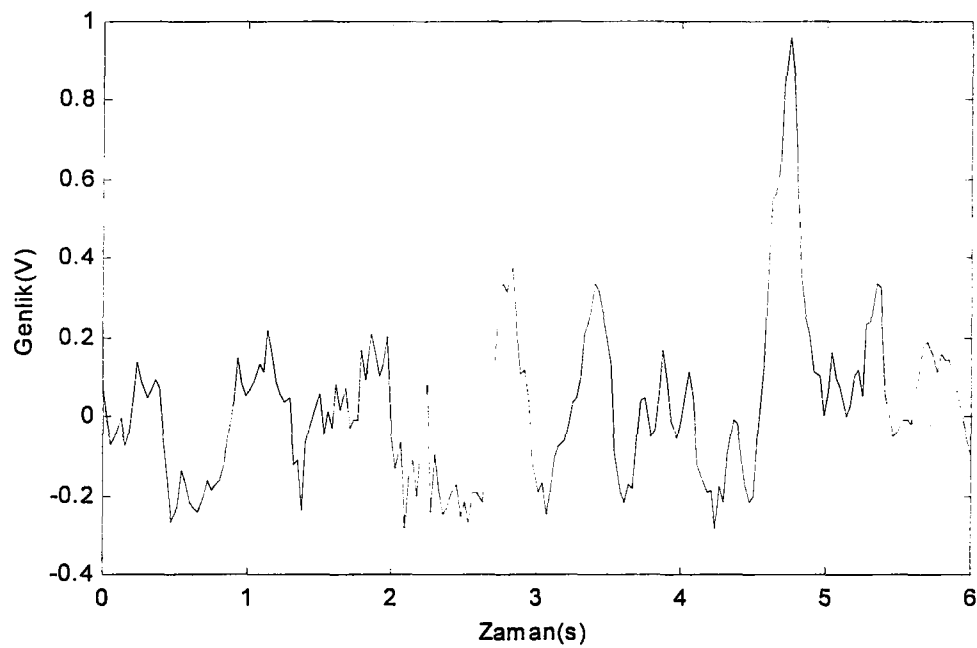
**Şekil 46.** Patolojik EEG test verisi



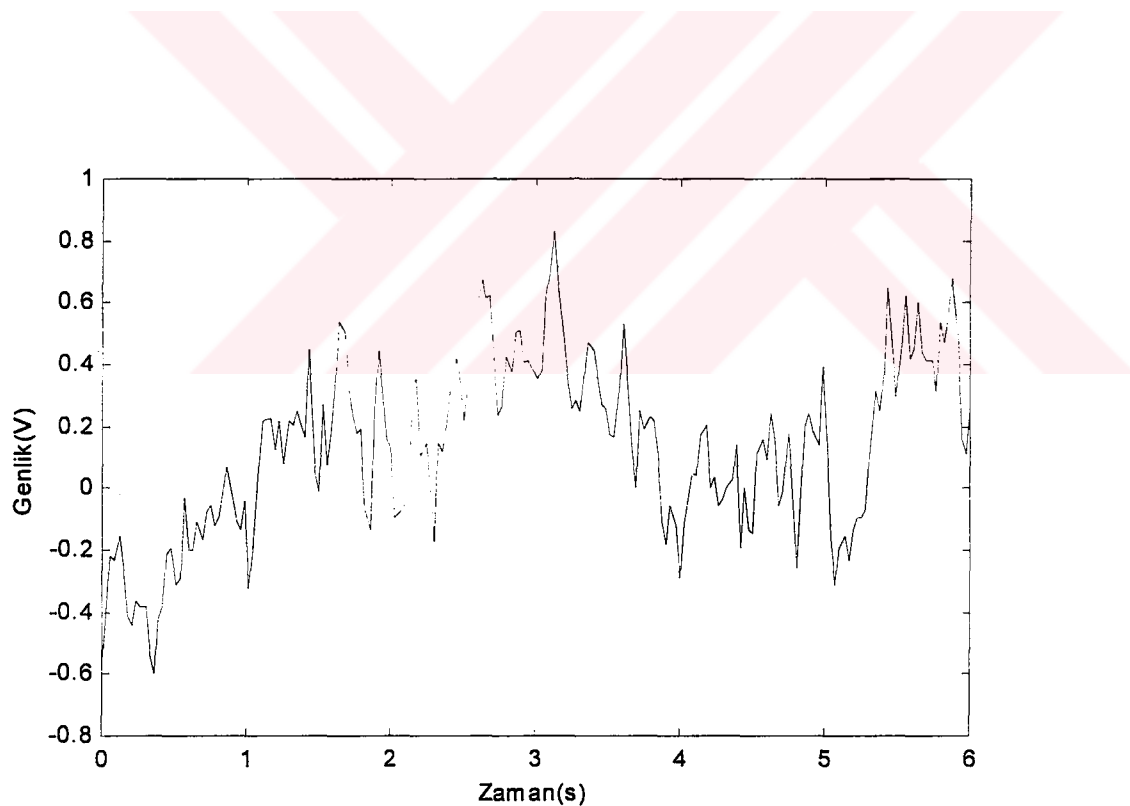
**Şekil 47.** Normal EEG test verisi



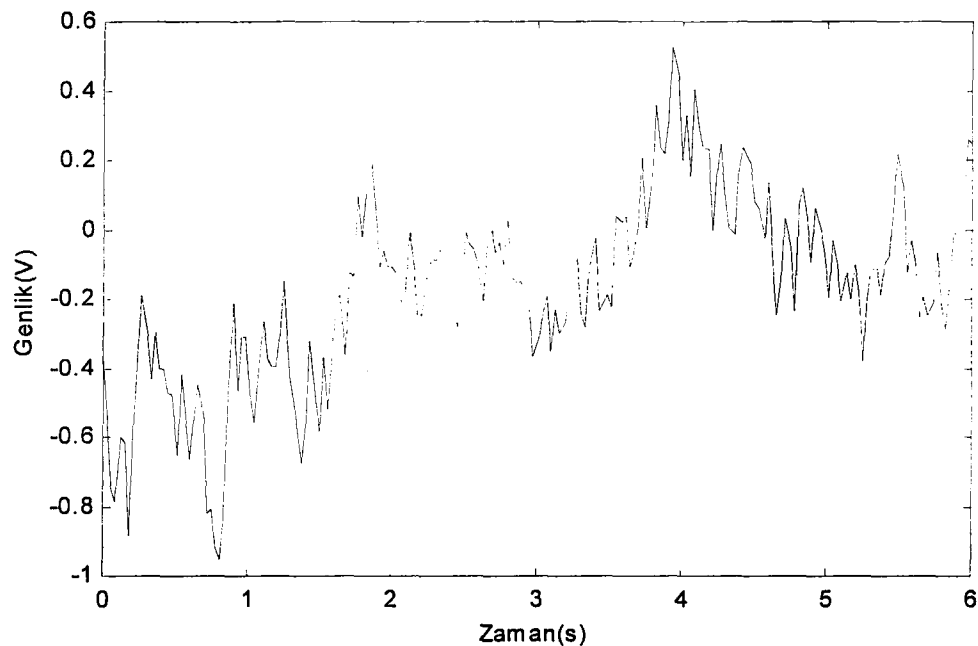
**Şekil 48.** Normal EEG test verisi



**Şekil 49.** Epileptik EEG test verisi



**Şekil 50.** Normal EEG test verisi



**Şekil 51.** Normal EEG test verisi

Sinyaller	Tes̄his	Tanıma Oranı (%)
b1.mat	Epilepsi	99
z1.mat	Sağlıklı	96
z2.mat	Sağlıklı	99
z3.mat	Sağlıklı	97
z4.mat	Sağlıklı	97
z6.mat	Patolojik	94

**Tablo 1.** Eğitilen yapay sinir ağının EEG test kayıtlarını tanıma oranı

## 5. SONUÇLAR VE TARTIŞMA

Bu çalışmada çoğunlukla alfa dalgalarını içeren EEG verileri kullanılmıştır. Bununla birlikte düşük frekans bileşenleri içeren EEG dalgaları da kullanılmıştır.

EEG verilerinin içerdiği farklı frekans bileşenlerinin kestirimi için işaret analiz metodlarından biri olan dalgacık dönüşümü metodu kullanılmıştır. Dalgacık analizi metodunun kullanımıyla birlikte yalnızca işaretin içerdiği spektral bileşenler değil, ayrıca bu spektral bileşenlerin zaman içerisinde aldığı değerlerde gözlenmiştir. Bu da özellikle epilepsi hastalarında meydana gelen epileptik deşarjların daha iyi yorumlanmasını kolaylaştırmıştır.

Spektral analiz metodlarından biri olan Fourier dönüşümü ile işaretler, içerdiği spektral bileşenlerine ayrılmamıştır. Fakat Fourier dönüşümü ile işarette meydana gelen anlık değişimler gözden kaçmaktadır. Fourier dönüşümünün bu eksikliğini gidermek için ya kısa süreli FFT dönüşümü veya bu çalışmada kullanılan dalgacık dönüşümünü kullanmak gerekmektedir.

Dalgacık dönüşümünün kullanımıyla birlikte işaret eksenler zaman frekans ve genlik olmak üzere üç boyutlu bir grafikle gösterilebilmektedirler. Yani bu ifade işaretin hangi anda hangi frekans ve genlik değerinde olduğunu bilinmesi anlamına gelmektedir.

Hastalığı teşhis eden kişilerin doktorlar olduğunu düşünürsek, bunların çoğunluğunun karmaşık olan EEG işaretlerini yorumlamaları zor olduğundan, bu yorumu yapacak uzman bir yapay sinir ağı geliştirilerek hastalık teşhisi için kolaylık sağlamak istenmiştir. Ayrıca doktorların bu tür çalışmalardan faydalaması için görselliğin sağlanması gerekmektedir. Bu görselliğin sağlanması için yapay sinir ağı modeli kullanmak en mantıklı yollardan biridir. Böylece bu gibi çalışmaların olası pratik uygulamalarına muhatap olacak doktorlar, sadece bu sistemin çıkış nöronlarına bağlı herhangi bir çıkış ünitesiyle (monitör, led gösterge, yazıcı vs.) hastanın o anki sağlık koşullarına bağlı olan EEG kaydının sonuçlarını basit bir şekilde görecektir.

Bu sistemde geliştirilen yapay sinir ağı modeli başarı oranı, çalışmanın bulgular bölümünde de görüldüğü gibi yüksek çıkmıştır. Bu ifade, sistemin analizini yaptığı kişinin sağlık durumunu çok küçük bir hata yüzdesi ile tanıyaçağrı anlamına gelmektedir.

Yapay sinir ağlarında daha iyi bir sınıflandırma verilerin fazlalığı ile doğru orantılı olarak artmaktadır. Yani bu çalışmadaki sıkıntılardan biri de sağlık koşullarını gösteren verilerin azlığı idi. Bu problemde yapay sinir ağına ilişkin parametrelerin uygun çözümü ile bir ölçüde aşılmıştır.

Özellikle epilepsi hastalığında , epileptik deşarjların tanımlanması zor olmaktadır. Çünkü bir çok durumda epileptik deşarjlara benzeyen dalga formları meydana gelmektedir. Bu yüzden epilepsi hastalığı təşhisini koyacak doktorların iyi bir gözlemci ve deneyimlerinin fazla olması gereklidir.

Sonuç olarak bu çalışmanın daha fazla veri ile yapılacak iyileştirilmiş halinin pratik uygulaması epilepsi təşhisini koymada doktorlar için faydalı olacaktır. Böylece bu tür sistemler rutin olarak kullanıldığında uzman hekimi olmayan hastanelerde EEG ve benzeri işaretlerin kestirimi için direk olarak kullanılabilir.

## 6. KAYNAKLAR

- [1] AKIN,M. , KIYMIK, M.K ., ARSERİM, M.A. , TÜRKOĞLU, İ., Separation of Brain Signals Using FFT and Neural Networks, Biyomut 2000,Istanbul, Turkey
- [2] BİLİR, E., Beyin Elektriksel Faaliyetinde Meydana Gelen Raharsızlıklar, Beyin dinamiği multidisipliner lisans üstü yaz okulu ders notları, Diyarbakır, Temmuz 1999
- [3] ZURADA, M.J., Introduction to Artificial Neural Systems, New York. West Publishing Company, 1992.
- [4] COOPER, R., OSSELTON,J.W., SHAW, J., EEG Technology, 1969, Butterworth & Co. (Publischers) Ltd.
- [5] AKIN, M., Uyarılmış Beyin Potansiyellerinin Spektral Analiz Yöntemleri İle İncelenmesi, Doktora tezi, E.Ü. 1995
- [6] MİSİTİ, M., MİSİTİ, Y., OPPENHEİM, G., POGGİ, J.M., Wavelet Toolbox Users Guide, COPYRIGHT 1996 - 1997 by The MathWorks, Inc.
- [7] SHIMADA, T., SHIIINA, T., Detection of Characteristic Waves of Sleep EEG by Neural Network Analysis, Biomedical Engineering, IEEE Transactions on , Volume: 47 Issue: 3 , March 2000 Page(s): 369-379
- [8] HAZARIKA, N., Classification of EEG signals using the wavelet transform, May 1997, Signal Processing [H.W. Wilson - AST], Vol. 59, ISS: 1; pg. 61
- [9] MEHTA, S.V., KOSER, R.W., VENZIALE, P.J.,Wavelet analysis as a potential tool for seizure detection, Time-Frequency and Time-Scale Analysis, 1994., Proceedings of the IEEE-SP International Symposium on , 1994 Page(s): 584 -587
- [10] REUTER, M., Analysing epileptic events online by neural nets, special preprocessing methods included , Intelligent Control and Automation, 2000. Proceedings of the 3rd World Congress on, Volume: 2, 2000, Page(s): 919 -924 vol.2

- [11] GEVA, A.B., KEREM, D.H., Forecasting generalized epileptic seizures from the EEG signal by wavelet analysis and dynamic unsupervised fuzzy clustering, Oct. 1998 , Biomedical Engineering, IEEE Transactions on , Volume: 45 Issue: 10 , Page(s): 1205 -1216
- [12] TÜKEL, K., Klinik Elektroansefalografi, İstanbul 1980
- [13] CROMWELL, L., Weibell, F.J., Pfeiffer, E.A., Biomedical Instrumentation and Measurements 1980 by Prentice Hall İnternational, Inc
- [14] AKIN, M., KIYMIK, M.K., Beyin işaretlerinin izgel çözümlenmesi için gerekli donanım ve yazılımın gerçekleştirilmesi, İşaret işleme ve bildiriler kurultayı bildiriler kitabı, 1995
- [15] HALICI, U., Yapay sinir ağları, Beyin dinamiği multidisipliner lisans üstü yaz okulu ders notları, Diyarbakır, Temmuz 1999
- [16] GOSWAMI, J., CHAN, A., Fundamentals of Wavelets, 1999, John Wiley & Sons Inc.,
- [17] BİN ZHU, MİCHELİ-TZANAKU, E., Nonstationary speech analysis using neural prediction, Jan./Feb.2000, IEEE Trans. Eng. in Med. and Biology , pp.102-105,
- [18] DEMUTH, H., BEALE, M., Neural Network Toolbox User's Guide, COPYRIGHT 1992 - 1998 by The MathWorks, Inc.
- [19] FAUSETT, L., Fundamentals of Neural Networks, Prentice Hall İnternational, Inc, 1994
- [20] BISHOP, C. M., Neural Networks for Pattern Recognition, *Clarendon Press*, Oxford, 1996.
- [21] DUDA,R.O., HART, P.E., Pattern Classification and Scene Analysis. Stanford Research Institute, 1989.
- [22] AKIN, M., KIYMIK, M.K., Application of Periodogram and AR Spectral Analysis to EEG Signals, 2000, Journal of Medical Systems, Vol.24 No.4,
- [23] SIMPSON,P., Artificial Neural Systems, Pergamon Press Company, New York, 1990.
- al of Science Institute, 1996, p.147-158.

- [24] DAYHOFF,J.E., Neural Network Architectures, Van Nostrand Reinhold, New York, 1990.
- [25] PEHLİVAN, F., Biyofizik, Ankara 1997, Atlas kitabı

## ŞEKİLLER TABLOSU

Şekil 1. Gerçekleştirilen sistemin donanımı .....	11
Şekil 2. Fourier dönüşümü.....	12
Şekil 3. Kısa Zamanlı Fourier Dönüşümü .....	12
Şekil 4. İşaretin zaman, frekans tabanlı ve çeşitli şekillerde alınan dönüşümlerinin gösterilmesi .....	13
Şekil 5. Bir sinüs dalgası ve bir ana dalgacık prototipi .....	13
Şekil 6. Ana dalgacığın ağırlıklandırılması .....	15
Şekil 7. Ana dalgacığın kaydırılması.....	15
Şekil 8. Belirlenen C değerine göre işaretle dalgacığın karşılaştırılması .....	16
Şekil 9. Dalgacığın işaretin kesitleriyle karşılaştırılması .....	16
Şekil 10. C değerinin değiştirilip, dalgacık ile işaretin tekrar karşılaştırılması .....	16
Şekil 11. Farklı ağırlıklara göre işaretin dalgacık değerlerinin bulunması.....	17
Şekil 12. İşaretin düşük ve yüksek frekanslı bileşenlerine ayrılması .....	18
Şekil 13. Dalgacık ayırtırma ağacı .....	19
Şekil 14. Bir işaretin yaklaşım ve detaylarına ayrılması .....	19
Şekil 15. Dalgacık paket analizlerinde ayırtırma .....	20
Şekil 16. Dalgacık paket ayırtırma ağacı .....	21
Şekil 17. Biyolojik bir nöronun yapısı.....	22
Şekil 18. Nöronlarda iletim.....	23
Şekil 19. Yapay nöron .....	24
Şekil 20. Uyarım fonksiyonları.....	26
Şekil 21. Mantık fonksiyonlarının yapay nöronlarla gösterimi .....	27
Şekil 22. a) çok katmanlı ve ileri beslemeli ağ b) katmansız ve geri beslemeli ağ .....	30
Şekil 23. Perseptron .....	32
Şekil 24. Perseptron tarafından belirlenen hiper-düzlem giriş uzayını iki karar bölgelerine ayırır. İki boyutlu uzayda bu hiper-düzlem bir doğru denklemine iner. ....	32
Şekil 25. Perseptron yakınsaması .....	34
Şekil 26 (a) üst üste dağılım (b) doğrusal ayrılamaz dağılım.....	35
Şekil 27. Tek veya çok katmanlı perseptron tarafından oluşturulabilen karar bölgeleri .....	35
Şekil 28. Geri yayılım algoritması için nöron çıkış fonksiyonu .....	36
Şekil 29. Çok katmanlı ağ.....	37
Şekil 30. Epileptik EEG.....	40
Şekil 31. Normal EEG .....	41
Şekil 32.Normal EEG .....	41

Şekil 33. Epileptik EEG.....	42
Şekil 34. Patolojik EEG.....	42
Şekil 35. Patolojik EEG.....	43
Şekil 36. EEG işaretlerinin dalgacıklarına ayrılması.....	45
Şekil 37. a) Epileptik EEG b) δ dalgacığı c) θ dalgacığı d) α dalgacığı e) β dalgacığı .....	47
Şekil 38. a) Normal EEG b) δ dalgacığı c) θ dalgacığı d) α dalgacığı e) β dalgacığı.....	48
Şekil 39. a)Normal EEG b) δ dalgacığı c) θ dalgacığı d) α dalgacığı e) β dalgacığı.....	49
Şekil 40. a) Epileptik EEG b) δ dalgacığı c) θ dalgacığı d) α dalgacığı e) β dalgacığı .....	50
Şekil 41. a) Patolojik EEG b) δ dalgacığı c) θ dalgacığı d) α dalgacığı e) β dalgacığı .....	51
Şekil 42. a) Patolojik EEG b) δ dalgacığı c) θ dalgacığı d) α dalgacığı e) β dalgacığı .....	52
Şekil 43. db4 dalgacığı .....	53
Şekil 44. Oluşturulacak yapay sinir ağının şekli .....	56
Şekil 45. Eğitim boyunca meydana gelen hatanın karelerinin toplamı(a) ve öğrenme oranının(b) iterasyona göre değişimi .....	61
Şekil 46. Patolojik EEG test verisi .....	62
Şekil 47. Normal EEG test verisi.....	63
Şekil 48. Normal EEG test verisi.....	63
Şekil 49. Epileptik EEG test verisi .....	64
Şekil 50. Normal EEG test verisi.....	64
Şekil 51. Normal EEG test verisi.....	65

## YAZARIN ÖZGEÇMİŞİ

Muhammet Ali ARSERİM 1975 yılında Şanlıurfa'nın Siverek ilçesinde doğdu. 1986 yılında Elazığ Atatürk İlkokulu'ndan mezun oldu. Aynı yıl Elazığ Anadolu Lisesi'ne kayıt oldu ve 1993 yılında bu okuldan mezun oldu. Yazar 1993 yılında Çukurova Üniversitesi Mühendislik-Mimarlık Fakültesi Elektrik-Elektronik Mühendisliği Bölümünü kazandı ve 1997 yılında bu okuldan mezun olarak Elektrik-Elektronik Mühendisi diplomasını aldı.

Muhammet Ali ARSERİM 1998 yılında Dicle Üniversitesi Mühendislik-Mimarlık Fakültesi Elektrik-Elektronik Mühendisliği Bölümü'nde Araştırma Görevlisi olarak görevye başladı. Halen adı geçen kurumda Araştırma Görevlisi olarak çalışmaktadır.